

C_3O_2

b302] Roke K.A. Reversen L.H. 1981

J. Phys. Chem. 35, 3025

Shows absorption CO_2 .

using diacetylbarbituric anhydride

Mr. Eugene Faber.

C_3O_2

Brockway L.D., Pauling &

1933
1934

Proc. Natl Acad Sci Wash, 19, 860-2

1933

Jaegermeyer, near channel

1934

C_3O_2 .

Proc. Natl. Acad. Sci. Wash, 20, 336, 1934

C_3D_2

Murd, Pilgrim

1933

JACS, 55, 757.

Использование C_3D_2

вместо diacetyl tartaric anhydride

(C_3D_2) Boersch H. 1935

Mouatsh. f.c. em. 65 — 311

21-групп. неизвестные (C_3D_2)

C_2O_2

Le-févre e^g. Le-Févre Y.C.

1435

J. Chem. Soc. 1696

Mesferine quinabaldo meserine

C_2O_2 .

C₃O₂

Klemenc A.

1935

Mh. Chem. 66, 337

Method measurement C₃O₂.

C_2D_2

Eugler, Kolrausch

1936

Z. Phys. Chem. B 34, 214

Pallau Clegg C_2D_2 .

$C_3O_2(\omega)$

5423-IV

1936

Thompson and Healey

J. Proc. Roy. Soc. (London) A 157, 331
(1936)

Circ. 500

10

C₂D₂

Lord R.C., Wright W.

11937

J.Chem.Phys., 5, 642.

U.K. u paper cleanup C₂D₂.

C_3O_2 (ω)

V-5424 | 1937

Thompson H. W., Linnett J. W.

J. Chem. Soc. 1937, 1291-5

"The spectrum and molecular
structure Carbon suboxide, and
evidence for hybrid links".

2

W

P.A., 1937, 77545

C30

Сибирька

IV-8323

Hackle II, Sutton L.E. T.F.S. 47, 937, 1951

Межеван 9.11-1951 г. мартен

$$C-O = 1.19 \pm 0.03; C-C = 1.28 \pm 0.03$$

из - измерений 9 раз

Измерено, что мартенит имеет

50% твердкого

C.A. 46
2862 f

C. D.

O'Loane M. K.

1953

M. Ch. Ph., 91, 672

Uccao ⁽⁴⁾ ~~gaaenou~~ u.k. oðlaegu

Сиенгра (3) 02

C₃O₂ (V_i)

8545 - D

1953

O'Loane J.K.

J.Chem.Phys., 1953, 21, N.4,
669-674 (annu)

Some absorption bands in
the far infrared

PX., 1954, N 3,14182

10

1954

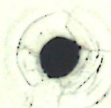
BΦ 5417 - IV

C_3O_2 ()
Raman

Long D.A., Murfin F.S., Williyms R.L.
Proc. Roy. Soc., 1954, A223, 251-66

The Raman...

J



1954

BP 5318-IV

C₃O₂ (str)

Rix H. D.

J. Chem. Phys., 1954, 22, 429-33

The infrared and Raman...

J

C₃O₂

$\Sigma_{C=C} =$

$= 1,279 \text{ N}$

Bardianen O.

1956.

(private communication) compare b
cjape Stoicheff-a (Canad. J. Phys. 35, 18, 1957)

Умерено $= C=C=$ паспортное b

C₃O₂, умерено $\Sigma_{C=C} = 1,279 \text{ N}$

C₃O₂ | Ренеас С.У. | 1958

ДАК, 117, л4, 648

К Вам при о своей бывшем
школьнику учащемуся-исследователю
Сергииенко.

C₃O₂

C. N. R. Rao
Lilington R.I.

1958

Succi

Dissert. Absr., XIX, WS, 968.

Моделья, сгруппе неизученых
металлов групп р. зеленых

C₃O₂. Минерал, синтез. Сгруппе
 $c-c = 1,28 \pm 0,013 \text{ Å}$

● $c-o = 1,16 \pm 0,013 \text{ Å}$.

БиCh- ғағаәзрүү. өмүрүнүү 2_{min}=2,31±0,01 A²

1958

C₃O₂

C₃O₂

Potential constants of carbon suboxide. K. Venkateswarlu and M. G. Krishna Pillai (Annamalai Univ., Annamalainagar, India). *Z. physik. Chem. (Frankfurt)* 18, 391-5(1958)(in English).—Wilson's F-G matrix method has been applied to C₃O₂, by assuming a nonlinear centrosymmetric structure belonging to the point group C_{2h}, and the force consts. have been evaluated. Force consts. given are: f_D, 9.76; f_d, 16.50; f_α, 0.6639; f_β-f_{ββ}, 0.5978; f_{DD}, 0.3000; f_{DD}, 0.650; f_d, 0.8405; f_{dα}, 0.8405, in 10⁵ dynes/cm.

H. H. Jaffé

C.A.1961-55-6-5122i-5123a

C_3O_2

cur.
no. 5

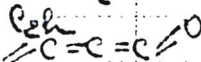
Venkateswarlu K.

Pillai M.G. Krishna

11958

Zs. Phys. Chem. 18, 112, 391-5

Doh



φ-60-1-241

Гомогенасибие. Иоганнебель.
 C_3O_2

Cur. no. 5. C_3O_2 были получены

но методе Винкелса бы
хемически обработаны водой C_2L .

Гербберг дискусирован. З сгруппы. Так первых
278 рапак синдрома гематома Fe^{2+} без активных
З гемоглобина, где 3e° - все 9. Результаты различных
рабочих неизвестны синдрома гемоглобина вон
недавно Long и dr [2] и Kik [3] было исследовано
синдром CO_2 , причем в рапаке [2] присутствует
о гипоксии сгруппы, а Kik борьба предполагает
каким-либо синдрома гемоглобина. Результаты неизвестны.
Рапак синдрома и синдрома ник. Неизвестны никак
нико з сгруппы. Итак сгруппы гематома з гемоглобина
и рапак синдрома [2] наименее 5, [3] - 4 рапак- CO_2 рапак
гематома без обструкции или 1. Неизвестны, гемоглобин
Синдром актив () при 2200 и 828 см $^{-1}$
присущий к синдрому. Изобратил при Σ
один сгруппа рапак при риме Ag при 2200 см $^{-1}$

а выше при 574 см^{-1} - к гидроксиду. Иодо-
гидроксид имеет меньшую иодидную щелочь
изза его разной природы.

Две анионные группы дают дополнительный
и.к. симметрический зонд, где из ког. // иодид
с падающим ~ 11 см⁻¹ между P и R лебедки
и 2 группы - I иодид с P, Q и R лебедки.

Long и др. с кол. Корди-Корди. рассмотря-
ли иодид при 2258, 1570, 550 и 198 см⁻¹. К
их. иодидным, а () симметрическим иодид-
предполагаемые вал. обусловлены и иодидом. Иод-

Однако Rix не имеет Пат' разбросанных между Р. и Р.
Вероятно, хотя он и неизвестный прибор высокой разреше-
мости. Поэтому, он привел к somebody, who immediately
срешил не отбрасывать первое. Более того, когда
им ТБЗ и 1050 см⁻¹ не обнаружены Long-on и
Rix привел к некоторым колебаниям дина-
мики речной группы Сг. Помимо этого к
стремительному Rix обратил внимание между
результатами замеров разбросан. неподвижных,
блескавшихся Macle и Sutton-all [4] и
Сандерсона. Достоверные изображения
были сняты, если бы, а также Киселевова
сравнение с тем С=С=С, то явно показало
помимо изображенных вспомогательных и не ясных Сг.

C_3O_2	Venkateswarlu, Pillai	3
Rix gægs cæg. Æne cæne rægef:		
8185 } 817 } 577 }	1650 } 180 } 559 }	2258 } 1670 } 635 }
flg	flg	Bu
		559
B hægurumur passage Eindeblæs næg. C_3O_2 bærmaðst gæl C_2H nægum na æti. rægef, þ. ekki meðgjeldimur Rix-øn. nægum Wilson-a		
$\begin{array}{c} \text{O} \\ \\ \text{C}_1=\text{C}_2 \\ \\ \text{O} \end{array}$		
f_d, f_D, f_u, f_p	$f_{DD}, f_{dD}, f_{D2}, f_{Dh}, f_p$	

Base Ag F mapping:

$$\begin{bmatrix} fdd + fdd \\ fdd \\ fdd \\ fdd \end{bmatrix} \quad \begin{bmatrix} fdd \\ fdd \\ d^2 fdd - d^2 fdd \\ d^2 fdd \end{bmatrix}$$

Base Bu

$$\begin{bmatrix} fdd - fdd \\ fdd \\ d^2 fdd \\ 0 \end{bmatrix} \quad \begin{bmatrix} fdd \\ d^2 fdd \\ 0 \end{bmatrix}$$

$$\begin{bmatrix} d^2 fdd \\ d^2 fdd \\ d^2 fdd \\ 0 \end{bmatrix} \quad \begin{bmatrix} 0 \\ 0 \\ 0 \\ d^2(f_p + f_{pd}) \end{bmatrix}$$

Y mapping:

$$\begin{aligned} \frac{\partial g}{\partial \theta} & \quad g_1 = \mu_c : \quad g_{12} = \mu_c \cdot \mu_c \\ g_3 &= \frac{\mu_c}{d^2} + \mu_c \left[\frac{1}{d} + \frac{3}{2d^2} - \frac{2 \cos \theta}{2d} \right] \end{aligned}$$

$$\begin{aligned} g_{12} &= \mu_c \cos \theta \\ g_{13} &= - \left[\frac{\sin \theta}{d} + \frac{\mu_c \cos \theta}{d} \right] \quad g_{33} = - \mu_c \sin \theta / d \end{aligned}$$

b_3O_2

Venkateswarlu; Pillai

4

Dire-Bin

$$g_{44} = 3\mu_c; \quad g_{55} = \mu_o + \mu_c$$

$$g_{66} = \frac{\mu_o}{d^2} + \frac{\mu_c}{S_{uu}^2} \left[\left(\frac{1}{D} - \frac{\cos 2}{d} \right)^2 + \left(\frac{1}{D} - \frac{\cos 2}{R} \right)^2 + 2 \cos 2 \left(\frac{1}{D} - \frac{\cos 2}{d} \right) \left(\frac{1}{D} - \frac{\cos 2}{R} \right) \right] + \frac{2\mu_c(1+\cos 2)}{R^2 S_{uu}^2}$$

$$g_{22} = 4\mu_c/D^2; \quad g_{45} = \mu_c \cos 2; \quad g_{46} = -\mu_c \sin 2/d$$

$$g_{47} = 0; \quad g_{56} = -\mu_c \sin 2/D; \quad g_{57} = 0; \quad g_{67} = 0.$$

Makro

Cappone.

$$T_C = C = 1,28; \quad L_C = C = 1,19 \text{ \AA}; \quad L_C = C = 1,58^\circ$$

Wagereis csg. 10⁵ guncm⁻¹

$$f_D = 9,26$$

$$fd = 16,50$$

$$fd_2 = 0,6639$$

$$f_{pp} - f_{pp} = 0,5872$$

$$fDd = 0,3000$$

$$fDd = 0,650$$

$$fD_d = 0,8405$$

$$fD_d = 0,8405$$

	Wagereis	
	Paeer.	Kast
	527	527
	810	817
	2202	2185
	559	559
	635	635
	1580	1580
	2274	2274

602 Juvateswarlu, Pillai 5

Тоду и сп. номинатив — тут. ногах, пасущимися
смлб. ног. вднхДД, непосредственно под ним
и впереди него гнездится Helverson и Williams (6)
под деревьями в пасущимися лугами под.
непосредственно соединяющимися с ним полями под.
оди пасущихся молодняка листьев чистой зелени
вокруг. В пасх. и сработавшего гнезда
они ми. ногами (2) и хвостом держат яйца
заключенные в гнездо, в котором находятся
только смлб. ног. и непосредственно под ними
L. A. Megalomyrmex, или L. Nostra и сп. (2).

Trans. 2

Area.	fd	fd	fd
C ₃ O ₂	16,5	9,76	0,6639
C ₃ O ₂ [2]	15,5	12,15	0,2390 0,86

Interpretation

2. Long R.A., Marfin R.S., Williams R.D., Proc. Roy. Soc. L A 223, 251, 1954
3. Rix H.P., J. Chem. Phys. 23, 429, 1954
4. Macale N., Sutton H.E., Trans. Far. Soc., 47, 932, 1951.
5. Wilson E.B., J. Ch. Ph., 7, 1046, 1939; 9, 76, 1944
6. Halversen F., Williams R.Z., J. Ch. Ph., 15, 552, 1947

BF_3 | Cyvin S.y. (Cobalt) 1959.

C_3O_2 | (ICP -5415-IV)

"Sv." Tidsskr. Kemi, Bergvesen og
Metallurgi, 1959, 19, 14, 85-85 (норв, рус анг)

X. Копренированый медный сплав. Синтезирован.
и получены коррозионные данные.

Радиоакт. копренированый медный
сплав. радиоакт. и спектральные

окислительных методов, определен.
Ноур Сибирь. " Зн. зрад. Нижегород. Приводятся
методы кристаллизации и мон-а CF_3Cl
титана, алюминия. Кратко рассмотрены более
перспективные в масштабах независимой
промышленности методы извлечения. Приводят-
ся, примеры обзор Зн. зрад. Задачи по
определению Сибирь извлечения
кристаллы BF_3 .

C_3O_2 (τ_{c-c}, τ_{c-o}) BP-IV-5416 1959

Livingston R.H., Rao C.N.R., Ramachandran
~~Ramachandran~~

J. Amer. Chem. Soc., 1959, 81, 52, 285-287 (anu)

Синтез и свойства негидратных гидроксидов

Муф, 1959, № 15, 52358



WV @ 2

2

C_3O_2 Miller F.A., Carlson G.L, 1959
White W.B.

Spectrochim. Acta, 1959, 15, 209

Notes oxygenation c measured
of 70.90 cm^{-1} .

1959

C₃

C₃O₂

Pitzer, Clementy

JACS, 1959, 81, 4977

Och. coct. C₃ 'Et

аналог касири

C_3O_2 Stoichiometry B.P.,

1959

Advan. Spectry, 1959, 1, 124.

C_3O_2 : Miller F.A., 1962.

Paper A311, Preprints of Interna-
tional Symposium on Molecular
Structure and Spectroscopy,
Tokyo, September, 1962.

1962

C₃O₂Plyler E.K.группа

"Internat. Sympos. Medec. Street.
and Street med. Tokyo", 1962,
S.l., s.a., C 307/1 - C 307/4.

Определение максимумов
поглощения и спектров
с высокими разрешениями.

x-1983-22

1962

C₃O₂

Mass-spectrum

Mass spectrum of carbon suboxide. Thomas J. Hirt
and James P. Wightman (Pennsylvania State Univ.,
University Park). *J. Phys. Chem.* 66, 1756(1962). The
mass spectrum of C₃O₂ (24 peaks, *m/e* 12 to 70) is reported.

Raymond C. Ferguson

C.A. 1962.5*13

15960e

1962

C₃O₂

24 Б65. Mass-спектр недокиси углерода. Hirt H o-
mas J., Wightman James P. Mass spectrum of
carbon suboxide. «J. Phys. Chem.», 1962, 66, № 9, 1756
(англ.)

Получен масс-спектр недокиси углерода при попи-
зирующим напряжении 50 в, токе эмиссии электропов
50 μ а и ускоряющем напряжении 1750 в. Основные
пики в масс-спектре при надлежат ионам $C_3O_2^+$, C_2O^+ ,
 CO^+ , C_2^+ , C^+ с относительными интенсивностями 94,5,
100, 27, 13,3, 26.

Ю. Ходесев

Х. 1963. 24

1962

6309

6 Б108. Силовое поле Юри — Бредли. Молекула
 C_3O_2 . Venkateswarlu K., Thanalakshmi R.
 Urey — Bradley force field: C_3O_2 molecule. «Current
 Sci», 1962, 31, № 5, 186 (англ.)

Для молекулы C_3O_2 принута зигзагообразная модель с центром симметрии, принадлежащая к группе C_{2h} . Для нее составлена потенциальная функция типа Юри — Бредли с шестью силовыми постоянными, вычисленными по эксперим. значениям семи частот плоских колебаний. Дано отнесение всех девяти частот колебаний к типам симметрии.

М. Ковнер

X · 1963 · 6

1962

C₃O₂Син. № 42
загор.

1Д57. Силовое поле Юри-Брэдли: молекула C₃O₂. Venkateswarlu K., Thanalakshmi R. Urey-Bradley force field: C₃O₂ molecule. «Current Sci.», 1962, 31, № 5, 186 (англ.)

Для молекулы C₃O₂ принята зигзагообразная модель с центром симметрии, принадлежащая к группе C_{2h}. Для нее составлена потенц. ф-ция типа Юри—Брэдли, содержащая шесть силовых постоянных. Они вычислены по опытным значениям семи частот плоских колебаний. Дано отнесение всех девяти частот колебаний к типам симметрии.

М. Ковнер

ф. 1965. 18

1962

C₃O₂Urey-Bradleyke graham

Urey-Bradley force field: the C₃O₂ molecule. K. Venkateswarlu and R. Thanalakshmi (Annamalai Univ., Annamalainagar). *Current Sci. (India)* 31, No. 5, 186(1962). The mol. parameters and observed frequencies of C₃O₂ are given and force consts. are evaluated on the basis of a Urey-Bradley force field.

W. B. Guenther

CA. 1962-57-9

10540c

1963

C₃O₂
(B₂O₃)
CH₂ (CH₂)₂

10 Д193. ИК-спектры поглощения недокази углерода и малононитрила в твердом аргоновом растворе.
 Ames L. L., White David, Mann D. E. Infrared absorption spectra of carbon suboxide and malononitrile in solid argon matrices. «J. Chem. Phys.», 1963, 38, № 4, 910—917 (англ.)

Получены ИК-спектры в области 440—4400 см⁻¹ недокази углерода и малононитрила в среде твердого аргона при т-ре 2 и 20° К. Спектры сравниваются с ИК-спектрами B₂O₃ и спектрами малононитрила и C₃O₂ в газовой фазе. Показано, что молекула C₃O₂ принадлежит к группе симметрии D_{∞h}. Указано, что исследования ИК-спектров твердых растворов в-в при низкой т-ре могут быть более полезны при колебательном анализе сложных молекул, чем ИК-спектры паров этих соединений. Библ. 17 назв.

Д. Глебовский

1963. 10

1963

C₃O₂(B₂O₃)

Infrared absorption spectra of carbon suboxide and malononitrile in solid argon matrixes. L. L. Ames, David White (Ohio State Univ., Columbus), and D. E. Mann. *J. Chem. Phys.* 38, 910-17(1963). The infrared spectra of C₃O₂ and malononitrile isolated in solid Ar matrixes at low temps. were measured, 440-4400 cm.⁻¹ The matrix spectra of C₃O₂ support the linear sym. model. A comparison of the matrix spectra and vibrational assignments of the 3 isoelectronic mols. C₃O₂, CH₂(CN)₂, and B₂O₃ favors a large apex angle in B₂O₃. CA

Half-cylinder 10 deg. 116.5

C.A. 1963-58-7

6346.e

$\nu_1 (\text{C}_2^+)$ 2200 δ

$\nu_2 (\text{C}_2^+)$ 832 δ

$\nu_3 (\text{C}_2^+)$ 2282

$\nu_4 (\text{C}_4^+)$ 1594.

$\nu_5 (\text{Flu})$ 548 δ

$\nu_6 (\text{Flu})$ 536

$\nu_7 (\text{Flu})$ 192 c)

δ) различия синт. и изотоп.

D спектральные

2200

832

2258

1575

578

539

198

c) 4.к. спектр
6 разн. (D₂)

1963

C₃O₉B₂O₃C₃H₂N₂И.К.
Случевъ

24 Б184. Инфракрасные спектры поглощения недоокиси углерода и шитрила малоновой кислоты в матрицах твердого аргона. Ames L. L., White David, Mann D. E. Infrared absorption spectra of carbon suboxide and malononitrile in solid argon matrices. «J. Chem. Phys.», 1963, 38, № 4, 910—917 (англ.)

В области 400—4000 см⁻¹ измерены ИК-спектры поглощения недоокиси углерода (I) и динитрила малоновой к-ты (II), изолированных при низких т-рах (4 и 20° K) в матрицах твердого аргона. Показано, что матричный спектр I согласуется с линейной симметричной моделью (точечная группа $D_{\infty h}$). Сравнение матричных спектров и частот нормальных колебаний трех изоэлектронных молекул I, II и B₂O₃ свидетельствует в пользу большого угла B—O—B в B₂O₃.

Резюме авторов

x. 1963.24

C_2O_3 , C_3O_2

(ΔH_f°)
(D_s)

B9P-7364-IV

1963

Carbon suboxide. R. Botter (Centre Etudes Nucl., Saclay, France). *Advan. Mass Spectrometry, Proc. Conf., 2nd, Oxford, 1961* 2, 540-54 (Pub. 1963). A mass spectrometric study of this mol. gives the mass spectrum, the ionization potential of the mol., and appearance potentials of both pos. and neg. fragment ions. These quantities permit an estimate of the bond dissoen. energies and of the heat of formation.

V. H. Dibeler

C.A. 1963-59-9

9444g

*DEC 5
1963*

15 Б145. Новые данные по колебательным спектрам некоторых неорганических молекул. Miller F. A. Recent results on the vibrational spectra of some inorganic compounds. «Pure and Appl. Chem.», 1963, 7, № 1, 125—129 (англ.)

*И.К.
Радик
Шевор
БР-11
БР-11*

Изучены ИК-спектры (ИКС) и спектры комб. расс. (СКР) PCl_5 симметрии D_{3h} . Найдены две новые активные ИК-частоты 299 и 273 см^{-1} и дана новая интерпретация частот (см^{-1}): 393, a_1' (СКР (п.)); 446, 299, a_2' (ИКС) 580, 273, 100 e^1 (СКР, ИКС); 280, e'' (СКР). Получены ИК-спектры и спектры комб. расс. ионного кристалла $\text{PCl}_4^+ \cdot \text{PCl}_6^-$. Спектры ионов разделены, проведена интерпретация частот: PCl_4^+ : 459, a_1 (СКР (п.)); 171, lg , (СКР); 658, 252; f_2 (СКР, ИКС). PCl_6^- : 360, a_{1g} (СКР (п.)); 281, lg ; (СКР); 449, <62, f_{1u} (ИКС); 150, f_{2g} (СКР). Для C_3O_2 снят спектр комб. расс. в области 70—300 см^{-1} . Отсутствие полос в этой области, а также измеренный ИК-спектр и неправильный контур линий подтвердили вывод, что молекула C_3O_2 имеет не линейную, а изогнутую транс-конфигурацию. В $\text{C}(\text{CN})_3$ более

BP-11-81.G W-CHG

Х-1964.15

высокая электроотрицательность азота по сравнению с C, а также данные ИК-спектров и спектров комб. расс. KC(CN)₃ и ClC(CN)₃ дают основание считать, что ион C(CN)₃⁻ имеет плоскую структуру. Спектроскопически исследованы молекулы Si(NCO)₄, Si(NCS)₄, P(NCO)₃; PO(NCO)₃. Установлено, что системы Si—N⁺=C=O и Si—N⁺=C=S имеют линейную структуру за счет значительной двоесвязанности атомов Si и N, что обусловлено взаимодействием неподеленной пары электронов N с 3d-орбитой Si. P(NCO₃) и PO(NCO)₃ образуют тригон. пирамиду симметрии C_{3v}.

Л. К.

E. F.
«J.

C₃O₂

ДТ-Б74/9-IV

б99

196
У24 Б74. Доказательство линейного строения недокиси углерода.— Carbon suboxide structure proven linear. «Nat. Bur. Standards Techn. New Bull.», 1964, 48, № 3, 48—49 (англ.)

Получены спектры поглощения высокого разрешения в области 3200 см^{-1} и идентифицирована полоса, соответствующая $\Sigma_u - \Sigma_g$ -переходу в линейной молекуле. Вычисленный из спектральных данных момент инерции хорошо совпал с величиной, определенной из электронографич. измерений.

Ю. Мошковский

x.1964.24

1964

C₃O₂
Chemag

Vibrational spectra of carbon suboxide (C₃O₂) for different aggregation states. A. P. Aleksandrov, V. I. Tyulin, and V. M. Tateyskii. *Optika i Spektroskopiya* 17(1), 38-44(1964). An investigation was made of the infrared absorption spectra (400-4600 cm.⁻¹) of gaseous (1-100 mm. pressure in cell) and solid C₃O₂ (at -140°) and of the Raman spectra of liquid and solid C₃O₂. The results in the main agree with the observations made by Lafferty, et. al. (CA 60, 2455d). A. P. Kotloby

111-9336

c.A.1064.61.11
12796 8

C₃O₂

*колебаний
спектр*

III - 3336

12 Д181. Колебательные спектры недокиси углерода (C₃O₂) в различных агрегатных состояниях. Александров А. П., Тюлин В. И., Татевский В. М. «Оптика и спектроскопия», 1964, 17, № 1, 38—44

1964

Исследованы ИК-спектры газообразной и твердой недокиси углерода и спектры комб. рас. ее в жидкой и твердой фазе. Исчезновение ряда полос (635, 780, 1665 см^{-1}) в ИК-спектре при переходе в-ва из газообразного в твердое противоречит отнесению этих полос к основным колебаниям молекулы. Изменения в спектрах при изменении агрегатного состояния в-ва хорошо согласуются с предложенным отнесением для линейной модели молекулы ($D_{\infty h}$) и противоречат отнесению к зигзагообразной модели молекулы (группа симметрии C_{2h}). Полосы, отсутствующие в ИК-спектре твердого в-ва, отнесены к т. наз. «теплым полосам» и разностным частотам, интенсивность которых сильно зависит от т-ры. Отмечена трудность отнесения к линейной модели полос 2450 и 3200 см^{-1} в ИК-спектре газа.

ф. 1964. 120

1964

C₃O₂
спектр

2 Б105. Колебательные спектры недокиси углерода (C₃O₂) в различных агрегатных состояниях. Александров А. П., Тюлин В. И., Татевский В. М. «Оптика и спектроскопия», 1964, 17, № 1, 38—44

Изучены ИК-спектры газообразной и твердой и спектры комб. расс. жидкой и твердой недокиси углерода. Исчезновение ряда полос (635, 780, 1665 см⁻¹) в ИК-спектре при переходе в-ва из газообразного в твердое противоречит отнесению этих полос к основным колебаниям молекулы. Это, в свою очередь, противоречит предполагаемому отнесению наблюдавших спектров к зигзагообразной модели молекулы (группа симметрии C_{2h}). Наоборот, изменения в спектрах при изменении агрегатного состояния в-ва хорошо согласуются с предложенным отнесением для линейной модели молекулы ($D_{\infty h}$). Полосы, отсутствующие в ИК-спектре твердого в-ва, отнесены к так называемым «теплым полосам» и разностным частотам, интенсивность которых сильно зависит от температуры. Сдвиг частот, происходящий в спектре при переходе в-ва в твердое состояние, согласуется с принятым отнесением для линейной модели.

III-РЗЗ6

x · 1965 · 2

Трудностью при отнесении наблюдаемых спектральной модели остается, как и ранее, отнесение 2450 и 3200 см^{-1} в ИК-спектре газа. Однако ошибочность вывода о том, что анализ тонкости этих полос приводит для зигзагообразной молекулы к углу между связями C=C=O, равном

Реферат ав

АСТС
СИЛ

C_3O_2

1964

Creupp

Infrared spectrum of gaseous carbon suboxide. Alpha O.
Diallo and Pierre Barchewitz (Chim. Phys., Orsay, France).
J. Chim. Phys. 61(9), 1296-306(1964)(Fr). The spectrum of
 C_3O_2 prepd. by 2 different methods was studied, 250-5000 cm.⁻¹
Most of the frequencies could be interpreted on the basis of
 $D_{\infty h}$ symmetry.

John W. Ward

C.A. 1965-62-5
4785 gh

C_3O_2

мекейр

IV- 9594

1964

V16 Б161. Инфракрасный спектр недокиси углерода в газообразном состоянии. Diatto Alpha O., Varghe-witz Piere. Spectre infrarouge du sous-oxyde de carbone à l'état gazeux. «J. chim. phys. et phys.-chim. biol.», 1964, 61, № 9, 1296—1306 (франц.)

В области $5000-250 \text{ см}^{-1}$ изучен ИК-спектр поглощения газообразной C_3O_2 (I), полученной двумя различными способами. При помощи теоретич. анализа нормальных колебаний по методу Вильсона дано отнесение большей части наблюденных колебательных частот для симметрии $D_{\infty h}$. Обсуждена проблема положения и структуры полос, затрудняющих интерпретацию спектра I в газовой фазе. Особое внимание уделено двойной полосе, частоты компонент которой расположены по обе стороны от значения 832 см^{-1} , соответствующего колебания ν_2 в спектре комб. расс. Тонкая структура указанной полосы обусловлена Q-ветвями колебательных переходов $\Sigma_g^+ - \pi_g$, взаимодействующих с возбужденными гармонич. уровнями колебания ν_7 . Резюме авторов

X. 1965.16

BOP-9720-17

1964

C₂O₂

Linearity of carbon suboxide confirmed. W. J. Lafferty and A. G. Maki (Natl. Bur. of Stds., Washington, D.C.). *Chemistry* 37(7), 19-23(1964). The National Bureau of Standards used a specially built, high resolution spectrometer and concluded that C suboxide is linear, as predicted by valence theories.

RCTT

(copy rights)

C.A. 1964 G.N6 6412 e

C_3O_2

структура

1964

J 11 Д199. Определение структуры недокиси углерода из ИК-спектра высокого разрешения. Lafferty Walter J., Maki Arthur G., Plyler Earle K. High-resolution infrared determination of the structure of carbon suboxide. «J. Chem. Phys.», 1964, 40, № 1, 224—229 (англ.)

В области $3142—3195 \text{ см}^{-1}$ получены при высоком разрешении спектры поглощения молекулы C_3O_2 , обусловленные переходами типа $\Sigma_u - \Sigma_g$ и $\Pi_g - \Pi_u$. Выполненный анализ тонкой структуры полос показывает, что молекула C_3O_2 обладает симметрией D_{3h} . Постоянная молекулы $B_0 = 0,073206 \pm 0,000002 \text{ см}^{-1}$. Центр полосы $\Sigma - \Sigma$ лежит при $v_0 = 3169,883 \text{ см}^{-1}$. Большое ~~слово~~ «горячих полос», слабая зависимость интенсивности полос от температуры и большое значение постоянной l -удвоения ($q'' = 0,00017 \div 0,00043 \text{ см}^{-1}$) указывают, что частота деформаций v_7 должна лежать в области $25—70 \text{ см}^{-1}$.

К. Василевский

Ф. 1964. 112

BP-8215-IV

1964

C_3O_2

checkup note.
Coronoro
paperwork

$\Sigma_u - \Sigma_g$,
 $\Pi_g - \Pi_u$

3142-3195 cm⁻¹

VI C.A.1964-603
2455 dc

High-resolution infrared determination of the structure of carbon suboxide. Walter J. Lafferty, Arthur G. Maki, and Earle K. Plyler (Natl. Bur. of Stds., Washington, D.C.). *J. Chem. Phys.* 40(1), 224-9(1964). High-resolution spectra were obtained and the vibration-rotation absorption spectrum was analyzed for a $\Sigma_u - \Sigma_g$ and a $\Pi_g - \Pi_u$ transition in C_3O_2 between 3142 and 3195 cm⁻¹. The absorption region studied contains a parallel combination band and a series of assocd. hot bands. The successive hot bands are displaced toward high frequencies in such a manner that the $\Sigma-\Sigma$ and $\Pi-\Pi$ bands are relatively free of overlapping lines. The mol. must have $D_{\infty h}$ symmetry with $B_0 = 0.073206$ cm⁻¹. The large no. of hot bands, the variation of intensity with temp., and the large value of the *l*-doubling const. *q* all indicate that the lowest frequency bending mode must be of very low energy.

RCJQ

C₃O₂

1964
J 24 Б132. Определение структуры недокиси углерода из инфракрасного спектра высокого разрешения. Laferty Walter J., Maki Arthur G., Plyler Earle K. High-resolution infrared determination of the structure of carbon suboxide. «J. Chem. Phys.», 1964, 40, № 1, 224—229 (англ.)

В области 3142—3195 см⁻¹ получены при высоком разрешении спектры поглощения молекулы C₃O₂, обусловленные переходами типа $\Sigma_u - \Sigma_g$ и $\Pi_g - \Pi_u$. Выполненный анализ тонкой структуры полос показывает, что молекула C₃O₂ обладает симметрией D_{∞h}. Постоянная молекула $B_0 = 0,073206 \pm 0,000002 \text{ см}^{-1}$. Центр полосы $\Sigma - \Sigma$ лежит при $v_0 = 3169,883 \text{ см}^{-1}$. Большое число «горячих полос», слабая зависимость интенсивности полос от температуры и большое значение постоянной e-удвоения ($q'' = 0,00017 - 0,00043 \text{ см}^{-1}$) указывают, что частота деформационной полосы v_7 должна лежать в области 25—70 см⁻¹.

К. Василевский

Х. 1964.24

1964

C_3O_2
 $S_{230^{\circ}K}$

Mc Dougall L. H.
Diss. Tests, 1964, 25, N^o 3, 1603
(Rice University, 1964) Houston
Энергии и связанные термодин.
св-ва н-валериян. кис-го и негоки
умерода; определение нижней ben-
ding частоты негоки умерода

Калориметрическ: $S_{230^{\circ}K} = 62,12 \pm 0,15$, e

Оценка: $\overline{61,6 \pm 2,6 \text{ см}^{-1}}$

Бакалавр Г. В.

Изображение № 4

Приложение к работе № 4
Изображение № 4
При изучении сб-части н-valeric acid и
 CO_2 определено экспериментально, что при
изменении температуры в пределах
от 0 до 200°К давление при $160.962 \pm 0.002^\circ\text{K}$
и выше неизменно при 230°K (измерения
экспериментального) неизменное для опреде-
ленного атсонара CO_2 в водяном
исследованном газе при 230°K
и давлении 1 атм равной $62,12 \pm 0,15$ кг/кв.
по засечке изображение было исследовано
и определено засечка

C_3O_2

McDougall L.A. 1964

$D = 61,6 \pm 2,6 \text{ cm}^{-1}$

гаубы деформационного Колебания нуля
сравнений. Эти приборы имеют избыточное
воздействие с избыточной рабочей частотой
избыточного изгибающего момента и на
基础上 определенными сплошными
специальными затяжками для верх гаубы
Кроме гаубы деформационного Колеба-
ния Разница между измеритель-
ными зажимами S и рабочими
зажимами "can be removed" в случае, если ис-
пользованы гибкие гаубы, деформационные
Колебания приведены зажиме $61,6 \pm 2,6$ см

1964

M 9/3-IV

C₃O₂

D:

monog. sample
V₂ membrane
70 cm.⁻¹

C.A. 1964. 60-8
8785 f

The infrared spectrum of carbon suboxide. Foil A. Miller and W. G. Fateley (Mellon Inst., Pittsburgh, Pa.). *Spectrochim. Acta* 20(3), 253-66(1964)(in English). The infrared spectrum of gaseous and solid C₃O₂ was examd. from 70 to 4000 cm.⁻¹. Because impurity bands were a problem in the past, strenuous efforts were made to obtain an authentic spectrum. Samples were prep'd. by 3 different methods: (1) by dehydration of malonic acid with P₂O₅, (2) by dehydration of malonic acid-d₄ with P₂O₅, and (3) by pyrolysis of diacetyl tartaric anhydride. All three gave samples with quant. identical infrared spectra. In addn., only traces of impurities were found by gas chromatography. The spectrum reported here is, therefore, surely that of pure C₃O₂. The range 70-400 cm.⁻¹ was examd. with very thick gas and solid samples in an effort to locate the lowest fundamental. It was not observed, and is surely outside this region. The spectrum of the gas from 400 to 4000 cm.⁻¹ was examd. with a resolution of 0.5-1 cm.⁻¹. Six of the seven fundamentals for the linear form are known with certainty, and the seventh is believed to be below 70 cm.⁻¹. Nonetheless, there are many features of the spectrum which are still unexplained, and the analysis is far from satisfactory.

RCSQ

	Dash	Angles:	Long	Lat	Miller Index
1. C = 0 cm.	{ 6 ⁺	R(?) -	22008	219,0	2200
2. C = C cm.	{ 6 ⁺	R(?) -	832	828	830
3. C = 0 angstr.	{ 6 ⁺	- JR(II)	2258	2258	2258
4. C = C angstr.	{ 6 ⁺	-	1575	1570	1573
bend	3 5g	R(dp), -	578	578	577
bend	1 5h	-	549	635*	550
bend	1 5h	- JR(I)	(198)	551	?

→) не относится к симметрии C_{30_2}



C_3O_2
спектр ИК.

M913-IV

1964

13 Б186. Инфракрасный спектр поглощения недокиси углерода. Miller Foil A., Fateley W. G. The infrared spectrum of carbon suboxide. «Spectrochim. acta», 1964, 20, № 3, 253—266 (англ.)

Исследован ИК-спектр C_3O_2 в газ. и кристаллич. состоянии в области 70 — 400 см^{-1} с разрешением $0,5$ — 1 см^{-1} . Спектр кристаллич. C_3O_2 исследовался при осаждении на охлажд. подложку при 100°K , а также в аргоновой матрице ($500 : 1$) при 4°K . Образцы C_3O_2 приготавливались тремя методами: а) дегидратацией малоновой к-ты с P_2O_5 ; б) гидратацией тетрадейтеромалоновой к-ты с P_2O_5 ; в) пиролизом ангидрида диацетилвинной к-ты. Спектры всех образцов количественно идентичны. Только следы примесей обнаружены методом ГХ. Частота

X. 1966.

13

636 см^{-1} , относимая ранее к основному колебанию, не проявляется в спектре при низких т-рах и отнесена к разностному тону. В результате анализа спектра однозначно определено 6 основных колебаний C_3O_2 . Предполагается, что седьмое колебание имеет частоту ниже 70 см^{-1} . В ИК-спектре газ. C_3O_2 имеется 5 полос с тонкой структурой; эти полосы не обнаруживаются в тв. состоянии. Обсуждается возможность отнесения этих полос к основным колебаниям линейной C_3O_2 , находящейся в равновесии с более стабильной транс- C_3O_2 . Я. Кимельфельд

5 Д287. ИК-спектр субоксида углерода. Miller
Foil A., Fateley W. G. The infrared spectrum of car-
bon suboxide. «Spectrochim. acta», 1964, 20, № 3, 253—
266 (англ.)

1964

Исследован ИК-спектр газообразного и твердого C_3O_2 (I) в области $70—4000\text{ см}^{-1}$. Образцы приготавлялись тремя различными методами и во всех случаях спектры оказывались почти идентичными, что свидетельствует об отсутствии влияния каких-либо примесей на вид спектров. В области $400—4000\text{ см}^{-1}$ спектры измерены с разрешением $0,5—1\text{ см}^{-1}$ и обнаружены 6 из 7 основных частот; одна низшая частота не найдена в интервале $70—400\text{ см}^{-1}$ и, вероятно, находится ниже 70 см^{-1} (возможные значения: 25 или 63 см^{-1}). Найденные значения других основных частот и комбинаций, а также интерпретация полученных результатов на основе модели $O=C=C=O$ с симметрией $D_{\infty h}$ носят предварительный характер и содержат ряд противоречий, которым еще не найдено удовлетворительного объяснения.

В. Никитин

М-913-IV

9. 1966. 5%

C₃O₂

Синг.,
однобіль
ногоджиме,

8. опутишев

BP - 97.91 - IV

1964

Mean amplitudes of vibration and thermodynamic functions of carbon suboxide. G. Nagarajan (Oklahoma State Univ., Stillwater). *Indian J. Pure Appl. Phys.* 2(6), 179-84(1964). A comprehensive crit. study of the results of earlier investigations on the vibrational spectra as well as mol. structure of C₃O₂, possessing a linear sym. structure with the point group D_{∞h}, was made by employing the vibrational and mol. structural data for the mol. newly reported. The force consts. were also calcd. from the secular equations constructed following Wilson's method. The computed values of the mean amplitudes of vibration have been compared with those obtained from the electron diffraction studies and those available in the literature. The mol. thermodynamic functions at a no. of temps. in the range 100-2000°K. have also been calcd. on the basis of a rigid rotator, harmonic oscillator approxn.

G. F. Goethel

245

C.A. 1964.61.11

12.784

18

C_3O_2

6 Д100. Средние квадратичные амплитуды колебаний и термодинамические функции закиси углерода:
Nagaraian G. Mean amplitudes of vibration & thermodynamic functions of carbon suboxide. «Indian J. Pure and Appl. Phys.», 1964, 2, № 6, 179—184 (англ.)

1964

(n. ф.)

ВФР-М-ЧС-Н

Решена задача о норм. колебаниях молекулы C_3O_2 . Молекула считалась линейной с симметрией $D_{\infty h}$. Построена матрица силовых постоянных в координатах симметрии и определены 10 силовых постоянных в естественных колебательных координатах. Дано отнесение частот по типам симметрии. Вычислены элементы матрицы средних квадратичных амплитуд колебаний в координатах симметрии и определены величины средних квадратичных амплитуд колебаний в естественных координатах для двух т-р 0 и $298^{\circ}K$. Средние квадратичные амплитуды колебаний связей C=C и C=O при $T=298^{\circ}K$ сопоставлены с эксперим. данными по дифракции электронов. Согласие удовлетворительное. В приближении гармонич. осциллятора и жесткого ротора проведен расчет термодинамич. ф-ций при 23 значениях т-ры в интервале 100—2000 K. В. Березин

Л-16-46-469

д. 1965. 68

IV-98d5-

1964

 CsO_2

Pitzer K. S., Strickler S. J. 2.

 Cs

J. Chem. Phys., 1964, 41, 730 (V. 2)

waveprop-
ertiesAvocadom to tevedayevorax ceso-
bix sayoeyvam

vibr.

harmonique $V_f = 50 \text{ cm}^{-1}$ see CsO₂vibrations 70 cm^{-1} see Cs seg.

vibration

1964

C₃O₂



CH₁₀O₆.H₂O.C₂H₅NO₂

= C = Gucoy.

Vj

Abnormalities in vibrational potential constants. Kenneth S. Pitzer and S. J. Strickler (Rice Univ., Houston, Texas). J. Chem. Phys. 41(3), 730-2(1964). A summary is presented of potential consts. for $\equiv\text{C}\equiv$ valence-angle bending in a no. of linear or quasilinear mols. These consts. can vary over a wide range, with certain mols. having abnormally low values. One such low value in C₃O₂ helps to explain the infrared spectrum of that mol. A very low value in C₃, obtained from spectroscopic measurements, conflicts with thermodynamic data. RCJQ

C.A. 1964 C1 N6 64124

	$\log_{10} 10^{12}$	
C_3	0,035	$C=C=C$
CO_2	7,7	$O=C=O$
NO_2	6,6	$O=N=N$
C_3O_2	6,6	$C=C=C$
H_2CO	5,1	$H_2=C=O$
H_2CCO	0,86	$H_2=C=C$
H_2CNN	5,7	$C=C=O$
H_2CCH_2	0,27	$H_2=C=N$
H_2CCCCH_2	5,3	$C=N=N$
	2,3	$H_2=C=C$

Diese
 Moleküle
 bestehen aus
 einem zentralen
 Kohlenstoff-
 atom mit
 vier
 unterschiedlichen
 Gruppen
 an den
 vier
 Bindungsstellen.
 Die
 Gruppen
 sind
 hier
 wie
 folgt
 angeordnet:
 $H_2C=C=O$
 $H_2C-N=N'$
 $H_2C-C=C$
 $H_2=C=C$

1965

Entropy and related thermodynamic properties of carbon sub-oxide. Lee A. McDougall and John E. Kilpatrick (Rice Univ., Houston, Tex.). *J. Chem. Phys.* 42(7), 2311-21(1965)(Eng).

C₃O₂

The heat capacity, the temp. of fusion ($160.962^\circ \pm 0.002^\circ\text{K}.$), the heat of fusion ($1290.9 \pm 0.4 \text{ cal./mole}$), the vapor pressure, the heat of vaporization, and the entropy of the ideal gas at 1 atm., 230°K . ($62.12 \pm 0.15 \text{ cal./degree mole}$) were detd. for C suboxide. The known structure and the 6 known fundamental vibrations lead to a calcd. entropy of $54.33 \text{ cal./degree mole}$, exclusive of the unknown 7th fundamental. The unobserved, doubly degenerate bending mode must have a frequency of $\sim 61.6 \pm 2.6 \text{ cm.}^{-1}$.

RCJQ

C.A. 1965.62.11
12515e-15516a

C_3O_2

$\nu = 63 \pm 2$

$\text{C}_2(\text{CN})_2$

107

$\text{C}_2(\text{CH}_3)_2$

$\nu = 194$

C.A. 1965. 63.12

15730 ph

LL - 869 - IV

1965

Observation of the lowest bending frequencies of carbon suboxide, dicyanoacetylene, diacetylene, and dimethylacetylene. Foil A. Miller, Donald H. Lemmon, and R. E. Witkowsky (Mellon Inst., Pittsburgh, Pa.). *Spectrochim. Acta* 21(10), 1709-16(1965)(Eng). Frequencies of the lowest bending modes of 3 long linear mols. were observed in the far-ir spectrum for the 1st time. For C suboxide that band is at $63 \pm 2 \text{ cm}^{-1}$, and is very weak. A rationalization for its amazing lowness and weakness is offered. For dicyanoacetylene the band is at 107 and strong, for diacetylene at 221.5 cm^{-1} and strong. For dimethylacetylene (194 cm^{-1} , strong) some of the features recently reported by Kopelman (CA 61, 10191d) could not be duplicated.

RCSQ

+ dues



C_3O_2

IV - II - 1666 - BP

1966

6 Д233. Спектр недокиси углерода в вакуумной УФ-области. Bell S., Vagadarajam T. S., Walsh A. D., Warsop P. A., Lee J., Sutcliffe L. Spectrum of carbon suboxide in the ultraviolet. «J. Molec. Spectrosc.», 1966, 21, № 1; 42—47 (англ.)

Изучен спектр поглощения недокиси углерода C_3O_2 в области 1200—3400 Å. Проанализирована система полос при 1780 Å, состоящая из девяти широких полос с интервалами $\sim 385 \text{ cm}^{-1}$. Из рассмотрения электронной структуры молекулы C_3O_2 , а также данных по ее ИК-спектру поглощения сделан вывод, что молекула недокиси углерода в основном состоянии линейна. Библ. 15.

С. Бурейко

09.1987. 68

C_3O_2

IV-11-1666-BP 1966

Spectrum of carbon suboxide in the ultraviolet. S. Bell,
T. S. Varadarajan, A. D. Walsh, P. A. Warsop (Queen's Coll.,
Dundee, Scot.), J. Lee, and L. Sutcliffe. *J. Mol. Spectry.*
21(1), 42-7(1966)(Eng). Studies have been made of the absorption
spectrum of C_3O_2 in the near and far uv regions. The interpretation

of a band system around 1780 Å. is discussed particularly, in the light of comments on the ir spectrum and the electronic structure of the C_3O_2 mol. RCKP

(newsp)

C.A. 1966. 65. 12

17913 h - 17914a

C_3O_2

1966

и. ф.

і Д526. Импульсный фотолиз недоокиси углерода.
De villers Claude. Photolyse-éclair du sous-oxyde de
carbone. «C. r. Acad. sci.», 1966, C262, № 21, 1485—1488
(франц.)

При импульсном фотолизе C_3O_2 обнаружены полосы переходного поглощения C_3 и двух неидентифицированных соединений, одно из которых, по-видимому, является первичным, а другое — вторичным продуктом фотолиза, причем оно не образуется из первого. Показано, что кинетич. поведение первичного продукта идентично поведению соединения, образующегося в ходе фотолиза C_3O_2 при 3000 Å.

оф. 1967. 120

1966

 C_3O_2

2 Б722. Импульсный фотолиз недоокиси углерода.
 Devillers Claude. Photolyse-éclair du sous-oxyde
 de carbone. «C. r. Acad. sci.», 1966, C262, № 21, 1485—
 1488 (франц.)

При импульсивном фотолизе C_3O_2 обнаружены полосы
 поглощения C_3 и 2 неидентифицированных соединений,
 одно из к-рых, по-видимому, является первичным, а дру-
 гое — вторичным продуктом фотолиза, причем оно не
 образуется из первого. Показано, что кинетич. поведе-
 ние первичного продукта идентично поведению соеди-
 нения, образующегося в ходе фотолиза C_3O_2 при 3000 А.

По резюме автора

Х. 1967.2

C₃O₂ (J)

BGP - M1069 - IV

1966

measured
however.
B. L. P.

Vacuum-ultraviolet absorption spectrum of carbon suboxide.
Hong Suk H. Kim and John L. Roebber (Northeastern Univ., Boston, Mass.). *J. Chem. Phys.* 44(4), 1709-10(1966)(Eng). The absorption coeffs. of C₃O₂ were measured in the spectral range 1100-2000 Å. A broad absorption band with a max. at 1580 Å. is the most prominent feature; it is ascribed to an allowable $V \leftarrow N$ transition. The weaker 1780-Å. band has vibrational structure. The assignments of the bands are discussed. An ionization potential of 10.60 ± 0.03 ev was deduced. The results are discussed in relation to the photochem. decompn. of C₃O₂.

Graham S. Pearson

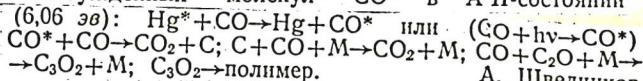
C.A. 1966 · 64·11
15191 f

1966

C₃O₂

2 Б723. Фотохимическое получение C₃O₂ из CO.
 Liuti G., Dondes S., Harteck P. Photochemical production of C₃O₂ from CO. «J. Chem. Phys.», 1966, 44, № 10, 4051—4052 (англ.)

При фотосенсибилизированном ртутью Hg6(¹P₁) разложении (λ 1849А) или прямом фотолизе (йодная лампа, $\lambda=2062\text{A}$) CO образуются CO₂ и C₃O₂ (газ: или в форме полимера). Высказано предположение, что указанные продукты получаются с участием колебательно-возбужденных молекул CO* в A³P-состоянии



A. Шведчиков

X 1967. 2

C₃O₂

Б9 - 9444 - IV

1966

10 Д135. Электронная конфигурация, молекулярная поляризуемость и абсолютные интенсивности в спектре

комбинационного рассеяния C₃O₂ (колебания типа Σ_g^+).
N a g a r a j a n G. Electronic configuration, molecular polarizability and absolute Raman intensities of Σ_g^+ modes of carbon suboxide. «Indian J. Pure and Appl. Phys.», 1966, 4, № 3, 97—102 (англ.)

Для молекулы C₃O₂ принята линейная модель. Для каждой связи вводится потенц. ф-ция вида

$$V = - \left[A_1 g \delta \left(x - \frac{a}{2} \right) + A_2 g \delta \left(x + \frac{a}{2} \right) \right],$$

в которой δ — дельта-ф-ция, x — координата движения вдоль линии связи, A_1 , A_2 , g — мощности источников для двух атомов 1 и 2 и для атома водорода, a — длина связи. С этой потенц. ф-цией решено ур-ние Шрёдингера и найдены воли. ф-ции для связей

97 · 1966 · 108

СС и СО. Из решения следует ф-ла для продольной поляризуемости связи $\alpha_{\parallel} = 4nA_{12}(\langle x^2 \rangle)^2/a_0$, n — порядок связи, A_{12} — средняя квадратичная мощность источников, a_0 — боровский радиус и $\langle x^2 \rangle$ — среднее квадратичное положение электрона связи. Продольная, поперечная и средняя поляризуемости молекулы равны 72,034; 75,934 и $51,954 \cdot 10^{-25} \text{ см}^3$. Получена также ф-ла для производной поляризуемости по длине связи. Для связей СС и СО они равны 1,999 и $1,712 \text{ \AA}^2$. Эти значения близки к соответствующим значениям, найденным из интенсивностей в спектре CO_2 . Сделан вывод о переносимости значений поляризуемостей и их производных в рядах соединений с одинаковыми связями.

М. Ковнер

B9-947 N-IV

1966

C₃O₂
B.A. Kowalewski
Copy by J.R.
✓ Electronic configuration, molecular polarizability, and absolute Raman intensities of Σ_g^+ modes of carbon suboxide. G. Nagarajan (Univ. of Maryland, College Park). *Indian J. Pure Appl. Phys.* 4(3), 97-102(1966)(Eng). The electronic configuration for the ground state of C₃O₂ possessing a linear sym. structure is given on the basis of the Lewis Langmuir octet rule as modified by Linnett (*CA* 55, 24218b). Bond polarizabilities, mol. polarizability, and polarizability derivs. corresponding to abs. Raman intensities of totally sym. C:O and C:C stretching vibrations in the ground electronic state were calcd. by the Lippincott-Stutman method by employing the δ -function model of chem. binding. The parallel component of the C:O bond can be transferred readily from C₃O₂ to similar systems having carbonyl groups with 2 pairs of electrons, $2p_y^2$ and $2p_z^2$, on the O atom. Polarizability derivs. can be transferred from 1 mol. system to another having similar chem. bonds with nearly equal internuclear distances. The electrophilic addn. reactions of acetylenic systems are compared to those of the ethylene system.

Margarete Lindsley

C. A. 1966. 65.3
3201 f8

C₃O₂

1966

Infrared and Raman spectra of carbon suboxide in condensed phases. Wm. Hayden Smith and George E. Leroi (Princeton Univ., Princeton, N.J.). *J. Chem. Phys.* 45(5), 1767-77(1966) (Eng). Ir and Raman spectra of liquid, cryst., and matrix-isolated C₃O₂ have been obtained in the region 20-4000 cm⁻¹. A previously unreported solid-solid transition has been observed at 115 ± 5°K., and possible structures for both cryst. phases have been inferred from the spectroscopic results. The π , central-C bending mode ν_1 has been identified in the liquid phase at 72 ± 2 cm⁻¹. The problem of disappearing sum bands is discussed, and a revised vibrational assignment and force-const. analysis for C₃O₂ is presented.

RCJQ

C.A. 1966. 65.9
13038 de

C₃O₂

✓ 2 Д222. Спектры комбинационного рассеяния и ИК-спектры C₃O₂ в конденсированной фазе. Smith Wm. Hayden, Leger George E. Infrared and Raman spectra of carbon suboxide in condensed phases. «J. Chem. Phys.», 1966, 45, № 5, 1767—1777 (англ.)

1961

Исследованы спектры комб. рас. и ИК-спектры (4000—20 см⁻¹) жидкого и кристаллич. C₃O₂ в интервале т-р 10—250° К, а также в матрице Ag. В области 115±5° К описаны не наблюдавшиеся ранее фазовые переходы, и на основе ИК-спектров предложены структуры для обеих твердых фаз. Приведены таблицы частот и дано отнесение полос к внутренним и внешним колебаниям в кристаллах. Обсуждается строение элементарных ячеек низко- и высокотемпературных кристаллич. модификаций. К возможному колебанию ν_T центрального С-атома отнесена полоса 72 см⁻¹. Пересмотрен анализ колебательного спектра C₃O₂ и получена система силовых постоянных. Библ. 25 назв.

Э Броун

9 · 1967 · 20

$C_3 O_2$
cneuyl
(unpub)

W.H. Smith,
G. Z. Leroi, (1966, 43 p.)
(PR 72; AD-631999); cestri:
HC § 2, no 1 MF § 0,5°

1966.

Infrared and raman
spectre of carbon
suboxide in condensed
phases.

1966-29672

C_3O_2

Smith Wm. H.,
Leroy I. S.

1966

смешано
J. Chem. Phys., 45, N 5, 1778.

Смешано концентрированного
касситера и UK- смешано
 C_3S_2 .

(см. C_3S_2)

1966

C₃O₂Geometric

5823e. Mean amplitudes of vibration, shrinkage effects, and Coriolis coupling coefficients of carbon suboxide. Venkateswarlu, K.; Mariam, S.; Sarma, Y. Anantarama (Kerala Univ., Alwaye, India). *Acta Phys. Pol.* 1966, 30(6), 913-19 (Eng). A review of previous ir, Raman, and diffraction measurements indicates that the C₃O₂ mol. has a linear structure belonging to the point group $D_{\infty h}$. The parallel and perpendicular mean-sq. amplitudes of vibration about the equil. values of the interat. distances were calcd. The perpendicular amplitudes were used to calc. the "shrinkage effects" for various atom pairs in the C₃O₂ mol.; shrinkages of 0.0073-0.0299 Å. were calcd. Coriolis coupling coeffs. were calcd. by using the C-matrix method.

M. A. Aia

C.A. 1968. 69.2

C_3O_2

8 Д143. Средние амплитуды колебания, эффекты сокращения и постоянные кориолисовой связи в C_3O_2 .
Venkateswarlu K., Mariam S., Sargita Y.

1966

Anantarama. Mean amplitudes of vibration, shrinkage effects and Coriolis coupling coefficients of C_3O_2 . «Acta phys. polon.», 1966, 30, № 6, 913—919 (англ.)

Теория матриц среднеквадратичных амплитуд колебаний (Morino Y., Kuchitsu K., Shimanouchi T. «J. Chem. Phys.», 1952, 20, 726) применена к молекуле C_3O_2 . Расчитаны среднее квадратичные значения параллельных и перпендикулярных амплитуд для межатомных расстояний. Значения параллельных амплитуд сравниваются со значениями, полученными методами электронной дифракции. Перпендикулярные амплитуды использовались для вычисления эффектов сокращения. С использованием метода C -матрицы вычислены коэф. кориолисовой связи. Результаты приведены в таблицах. Приводится также таблица параметров молекул C_3O_2 (взятых из работ различных авторов), которые использовались в расчетах.

В. А. Морозов

09. 1987. 89

C₃O₂

3 Б706. Фотолиз C₃O₂ при 3000А в присутствии олефинов. Willis Clive, Bayes Kyle D. The photolysis of carbon suboxide at 3000 Å in the presence of olefins. «J. Amer. Chem. Soc.», 1966, 88, № 14, 3203—3208 (англ.)

1966

Исследован фотолиз (Фл) C₃O₂ в газовой фазе монохроматич. светом с λ 3000Å в присутствии различных олефинов (Ол): C₂H₄, C₃H₆, изо-C₄H₈, цис-2-C₄H₈ и транс-2-C₄H₈. Предполагается, что при Фл C₃O₂ первичным промежуточным продуктом являются молекулы C₂O, к-рые присоединяются к Ол, давая циклопропилидин или циклопропилидникетен: C₂O + Ол → I* (1), I* + M → продукты не аллильного типа (2), I* → аллен + изомеры (3), где I* — промежуточный продукт присоединения C₂O к Ол. В присутствии O₂ идет р-ция: C₂O + O₂ → CO + CO₂ (4). С увеличением давл. Ол или инертного газа выход аллена падает. Отношение k₄/k₁ изменяется с 2,2 до 95 в ряду изо-C₄H₈ < транс-2-C₄H₈ < цис-2-C₄H₈ < C₃H₆ < C₂H₄. Обсуждают возможную природу промежуточных продуктов Фл.

А. Шведчиков

X. 1967. 3

1967

C₃O₂V_i

65632t Infrared spectrum of carbon suboxide. Region 1-2.5 microns. Region 2-15 microns. Classification of carbon suboxide vibrational bands. Kuiper, G. P.; Sill, G. T.; Cruikshank, D. P.; Fink, Uwe (Univ. of Arizona, Tucson, Ariz.). *NASA Contract. Rep.* 1967, NASA-CR-97962, 201-7 (Eng). Avail. CFSTI. From *Sci. Tech. Aerosp. Rep.* 1969, 7(3), 566. Lab. tests of the spectrum of C₃O₂ in the region of 1-15 μ are presented in order to establish the most suitable tests for the presence of this gas on Venus and Mars. An uv test for C₃O₂ in the Venus atm. and the classification of C₃O₂ vibrational bands are also mentioned.

TCSL

C.A. 1969.71.14

C3O2

Энергетич. ш.

Углерод;

ИК -спектр

ЗД-М-11-д СОБ 1967

8 Б51. Потенциал деформационных колебаний C—C—C и инфракрасный спектр недокиси углерода. Redington R. L. The C—C—C bending potential and the infrared spectrum of carbon suboxide. «Spectrochim. acta», 1967, A 23, № 6, 1863—1873 (англ.)

На основе теории квазилинейных молекул рассчитаны низколежащие энергетические уровни молекулы C3O2. Показано, что двучленная потенциальная функция $V(\alpha) = V_2\alpha^2 + V_4\alpha^4$ хорошо передает наблюдаемое поглощение, обусловленное деформационными колебаниями C—C—C, а также позволяет предсказать тонкую структуру полос. Дано отнесение линий в ИК-спектрах и спектрах КР молекулы C3O2 и указаны пути дальнейшего уточнения результатов.

Е. М. Шусторович

Х. 1968. 8

4 Д130. Деформационный потенциал С—С—С и ИК-спектр C_3O_2 . Redington R. L. The C—C—C bending potential and the infrared spectrum of carbon suboxide. «Spectrochim. acta», 1967, A 23, № 6, 1863—1873 (англ.)

Для расчета низколежащих энергетич. уровней недокиси углерода C_3O_2 использована теория квазилинейной молекулы. Энергии уровней вычислены по методу ВКБ. Показано, что потенц. ф-ция для деформационного колебания С—С—С, промежуточная между гармонич. и четырехстепенной, объясняет особенности ИК-спектра C_3O_2 . Вид потенц. ф-ции $V(a) = V_3\alpha^2 + V_4\alpha^4$ подобран в соответствии с наблюдавшейся частотой деформац. колебания ($v_7 = 63 \text{ см}^{-1}$ и обертою 214 см^{-1}). Объяснена обнаруженная тонкая структура полосы, исчезающая при понижении темп. Подтверждено, что молекула C_3O_2 линейна в основном и деформирована в возбужденных состояниях. Библ. 17.

С. Ф. Б.

09.1968.4

C₃O₂

B.P.-IV - M-2606

1967

Yi
we discuss

69031m The C—C—C bending potential and the infrared spectrum of carbon suboxide R. L. Redington (Utah State Univ., Logan). *Spectrochim. Acta, Part A* 23(6), 1863-73(1967) (Eng). The theory of the quasi-linear mol. derived by Thorson and Nakagawa (*CA* 55: 7950i) is used to calc. the low lying energy levels of C suboxide. A potential function intermediate between harmonic and quartic for the C—C—C bending vibration leads to an explanation of the peculiar ir spectrum. The two-term potential function ($V(\alpha) = V_2\alpha^2 + V_4\alpha^4$) is fitted to the observed absorptions for the C—C—C bending mode and is found to predict "fine structure" bands with the observed spacings. The nature of the ir spectrum is discussed, and an assignment for the fine structure bands is proposed. 16 references.

RCSQ

C.A. 1967-64-14

1967

C_3O_2

4 Д243. Спектр поглощения недокиси углерода в вакуумной УФ-области. Roebber John L., Laggarbee J. C., Huffman R. E. Vacuum-ultraviolet absorption spectrum of carbon suboxide. «J. Chem. Phys.», 1967, 46, № 12, 4594—4600 (англ.)

(9)

Исследован спектр поглощения (600—2000 Å) недокиси углерода C_3O_2 в смеси с Не при парциальном давлении C_3O_2 0,4 ми рт. ст. Изучены ридберговские серии $ns \leftarrow \pi$ в области 1050—1650 Å, сходящиеся к первому ионизационному потенциальному при 10,60 эв. Определены величины квантовых дефектов для различных серий. Диффузная структура трех ридберговских полос предположитель-

09.1968.4

но отнесена к колебательным прогрессиям симметричных вал. частот C=C и C=O (равно как и система 14 полос при 1780 Å), хотя не исключена их принадлежность двум другим ридберговским сериям. Ниже 1000 Å обнаружены 2 сильные диффузные полосы (600 и 870 Å), отождествление которых не произведено. В предположении линейности молекулы C_3O_2 рассчитаны диаграмма энергетич. уровней и схема термов. Библ. З1. С. Ф. Б.

1967

302

11 Б102. Спектр поглощения недоокиси углерода в вакуумной ультрафиолетовой области. Roebeek John L., Laggabee J. C., Huffman R. E. Vacuum-ultraviolet absorption spectrum of carbon suboxide. «J. Chem. Phys.», 1967, 46, № 12, 4594—4600 (англ.)

Спектр C_3O_2 исследован в области 2300—600 Å с применением источника непрерывного фона. Приведен обстоятельный обзор ранее выполненных исследований и подробное описание методики и техники эксперимента. Для области 2000—1050 Å измерены коэф. поглощения. В области 1650—1050 Å обнаружена $ns \leftarrow \pi$ -серия Ридберга $v = 85\ 500 - R/(n-a)^2$; $a=1,00$; $n=3-10$. Она сходится к первому потенциальному ионизации 10,60 эв. Полосы 1370, 1272 и 1234 Å имеют диффузную, вероят-

стекло

71

x·1968·11

но колебательную, структуру с коротковолновой стороны, которую можно объяснить частотами вал. кол. v_1' ($C=O$), и v_2' ($C=C$) $\sim 2120-2200$ и 700 см^{-1} верхнего состояния, хотя не исключено, что проявляются еще две серии Ридберга с $a=0,76; 0,96$ и $n=3,7; 4-5$. В области ниже 1000 \AA , которая исследована впервые, найдены две широкие, диффузные, очень сильные полосы при 870 и 660 \AA . Они пока не отнесены. Детально исследована и обсуждена структура полосы 1780 \AA , в которой обнаружено 14 колебательных максимумов. Вполне определенного отнесения сделать пока невозможно. Предполагается, что характер поглощения может быть объяснен как прогрессия за счет деф. кол. с частотой 400 см^{-1} .

Э. Морозов

1967

C₃O₂

37910f Vacuum-ultraviolet absorption spectrum of carbon suboxide. John L. Roebber, J. C. Larrabee, and R. E. Huffman (Northeastern Univ., Boston, Mass.). *J. Chem. Phys.* 46(12) 4594-600(1967)(Eng). Absorption coeffs. of C suboxide were measured from 2000 to 1050 Å. photoelec. and the absorption spectrum was photographed from 1000 to 600 Å. The background light sources were the H₂, He, and Ar continua. The region 1650-1050 Å. is dominated by a $ns \leftarrow \pi$ Rydberg series converging to the 1st ionization potential at 10.60 ev. Diffuse structure on the short-wavelength side of 3 of the Rydberg bands is probably caused by vibrational progressions in the C:C and C:O symmetric stretching frequencies but may be due to 2 other

J. M.

C.A. 1967. V7.8

fragmentary Rydberg series. Several very strong diffuse bands are present below 1000 Å. which have not yet been assigned. A system of 14 bands around 1780 Å. may be a vibrational progression in a 400 cm.^{-1} bending mode or a vibrational sequence. Neither the exptl. evidence nor theoretical considerations allow a definite assignment to be made. However, the gradual emergence of the vibrational structure from the underlying continuum strongly supports the progression explanation. RCJQ

ЗР - 11 - 102 - 15

1968

C₃O₂

7Д148. Влияние изменения температуры на амплитуды колебаний и эффекты сокращения в субоксиде углерода. Изучение методом дифракции электронов в газе.

Almenningen A., Agnesen S. P., Bastiansen O., Seip H. M., Seip R. The effect of temperature variation on the amplitudes of vibration and shrinkage effects in carbon suboxide studied by gas electron diffraction. «Chem. Phys. Letters», 1968, 1, № 112, 569—574
(англ.)

Исследована дифракция электронов в газообразном C₃O₂ при т-рах 237 и 508°К. По кривым радиального распределения интенсивности определены равновесные значения длин связей, расстояний между несвязанными атомами и средние квадратичные амплитуды колебаний этих величин. Они обнаруживают сильную зависимость

Электро-
графия

09. 1968. 72

от т-ры. При указанных т-рах и при 290°К вычислены эффекты сокращения расстояний между всеми парами несвязанных атомов. Для теоретич. расчета кривой распределения интенсивности составлена потенц. ф-ция вида $V(\alpha) = V_2\alpha^2 + V_4\alpha^4$, в которой $2\alpha = \pi - \langle C=C=C \rangle$. Значения V_2 , V_4 определялись по методу наименьших квадратов, причем различным значениям V_2 , V_4 соответствуют различные значения угла α , при котором потенц. энергия минимальна. Значения равновесного угла α находятся в пределах 0—16°. Обсуждается возможность определения колебательной т-ры для деформационного колебания.

М. А. Ковнер

1968

C₃O₂

и. и.

17 Б208. Расчет влияния изменений температуры на средние амплитуды колебаний и эффекта сокращения в недокиси углерода из спектроскопических значений. Grunvoll J., Cyvin S. J., Elvebredd I., Hagen G. Effect of temperature variation on mean amplitudes of vibration and shrinkage effects in carbon suboxide calculated from spectroscopic data. «Chem. Phys. Letters», 1968, 1, № 12, 566 (англ.)

В сравнении со значениями, полученными методом электронной дифракции, из спектроскопич. данных рассчитано влияние изменения т-ры (0—1000° К) на колебания и геометрию молекулы недокиси углерода C₃O₂. По известным ИК-спектрам поглощения и силовым константам состояний Σ_g^+ и Σ_u^+ вычислены средние амплитуды колебаний связей C=O, C=C, C...O, C...C и O...O. По величинам частот и силовых постоянных в состояниях Π_g и Π_u оценено влияние эффекта сокращения при симметричном колебании.

С. Ф. Б.

д. 1968

17

C₃O₂

891-XIV-613

1968

Properties

Atmospheric
Volatilization

108094b Effect of temperature variation on mean amplitudes of vibration and shrinkage effects in carbon suboxide calculated from spectroscopic data. J. Brunvoll, S. J. Cyvin, I. Elvebredd, and G. Hagen (Tech. Univ. Norway, Trondheim, Norway). *Chem. Phys. Lett.* 1(12), 566(1968)(Eng). Mean amplitudes of vibration and shrinkage effects were calcd. for 10 vibrations in C₃O₂ at 12 temps., 0-1000°. Results are tabulated. FBJN

C.A. 1968. 68. 24

C_3O_2

Однако в 3 Branchе Simmons [1969]

изучалась
ромашка

Braun W. Bass et al.
Davis D.D.; Simmons J.D.

Proc. Roy. Soc. A., 1969

312, 417-34.

1969

C₃O₂

1 Б19. Электронная структура недоокиси углерода.
Olsen John F., Vignelle Louis. The electronic
structure of carbon suboxide. «J. Phys. Chem.», 1969, 73,
№ 7, 2298—2304 (англ.) (Ч. 304)

Расширенным методом Хюккеля и методом полного пренебрежения дифференц. перекрыванием (ППДП) вычислены полная и орбитальные E_i энергии, атомн. заряды и порядки связей молекулы C₃O₂. Расчет выполнен для линейной конфигурации и для ряда изогнутых конфигураций вплоть до значения угла CCC=90°. Показано, что метод ППДП дает сравнительно правильное распределение электронного заряда в C₃O₂. Согласно этому ме-

кв. лек.
расчет;
электрон.
конфигура-

X. 1970. 1

тоду центральный атом углерода обладает большим отрицательным зарядом, а порядки связей C=C значительно ниже порядка этиленовой C=C—связи. Эти результаты подтверждаются малой величиной частоты ν деф. кол. угла CCC (63 см^{-1}). Анализ зависимости E_i низколежащих орбиталей по Хюккелю от угла CCC также приводит к низкой величине ν . Результаты расчета по обоим методам согласуются с эксперим. данными по масс-спектру, УФ-спектру поглощения и по фотолизу C_3O_2 .

М. Р. Алиев

C₃O₂

Ab. exp.
pierretu

53744t Electronic structure of carbon suboxide. Olsen,
John F.; Burnelle, Louis (New York Univ., New York, N.Y.).
J. Phys. Chem. 1969, 73(7), 2298-304 (Eng). The CNDO/2
(CNDO/2 is complete neglect of differential overlap, new version)
and the extended Hueckel M.O. (XHMO) methods have been
applied to linear and bent configurations of C₃O₂. The CNDO/2
method was found to give a satisfactory description of the elec-
tronic charge distribution in the mol. It indicates the presence
of a large neg. charge on the central C atom, with a corresponding
redn. in the CC π -bond population. These features provide an
explanation for the low frequency of the bending vibration about
the central C atom. The expressions obtained for the highest
occupied and lowest unoccupied mol. orbitals are found to ex-
plain the dissociations which C₃O₂ undergoes in the mass spectrum
and in photochem. reactions. The variation of the XHMO
orbital energies with the apex angle also provides some insight
into the low resistance to bending in this mol., and the resulting
orbital energy diagram can be utilized to make predictions con-
cerning the structure of the ions and of some low-lying excited
states of the mol. The CNDO/2 orbital energies appear not to
lend themselves to such a discussion.

RCKG

C.A. 1969. 41-12

C₃O₂

1969

Pickett H.N.,
Straess H.Z.

J. Chem. Phys., 1969,
51, n 3, 952.

laureog.

coed. e

spayuccae

(Ces. C₃O₂) I

ВСР-560-XIV

1969

C₃O₂

3 Б54. Молекулярные постоянные C_3X_2 ($X=0,5$) и C_4H_4 . Ramaswamy K., Srinivasan K. Molecular constants of C_3X_2 ($X=0, S$) and C_4H_4 molecules. «J. Molec. Struct.», 1969, 3, № 6, 473—481 (англ.)

Произведен расчет силовых коэф. линейных ($D_{\infty h}$), молекул C_3O_2 (I) и C_3S_2 (II) и молекулы бутатриена (III) (точечная группа симметрии D_{2h}) в приближении общего валентно-силового поля на основании литературных данных по геометрии и частотам колебаний. Вычисленные силовые коэф. растяжения связей и их взаимодействия для I и II значительно выше определенных ранее (РЖХим, 1967, 7Б125 и 7Б126). Этот факт авторы связывают с большой π -делокализацией для I и II. Вычислены величины двух среднеквадратич. амплитуд колебаний

✓ 1970. 3



+2

17

μ (C-X) и μ C-C I и II при 298, 16° К. Для I μ (C-X) и μ (C-C) удовлетворительно согласуются с данными предшествующего расчета (РЖХим, 1968, 17Б208). Для III предсказана не наблюдавшаяся экспериментально частота кол. $v_B = 382 \text{ см}^{-1}$ и рассчитаны значения трех среднеквадратич. амплитуд колебаний μ (C-H), μ (C₁-C₂), μ (C₂-C₃), согласующиеся с электрониографич. данными (РЖХим, 1963, 4Б44). Вычислены постоянные центробежного растяжения III: $D_h = 1,64$ (или 1,02) $D_j = 1,65$, $D_{jh} = -3,30$, $R_5 = 0,43$, $R_6 = -0,04$ и $\delta_j = 0,87 \text{ Мгц}$. Определены также значения 12 постоянных корриолисова взаимодействия S^z_{ij} для III. А. Александров

C₃O₂

BGP-560-XIV

1969

53746v Molecular constants of C₂X₂(X = O, S) and C₄H₄ molecules. Ramaswamy, Krishnamachari; Srinivasan, K. (Annamalai Univ., Annamalainagar, India). *J. Mol. Struct.* 1969, 3(6), 473-81 (Eng). The potential energy consts. and mean amplitudes of vibration for C₃O₂ and C₃S₂ and the mol. consts. of C₄H₄ have been evaluated by using the method of "characteristic set of valence coordinates." The conventional set of symmetry coordinates lead to abnormally large values for the consts. Hence a different set of symmetry coordinates was chosen which gives a reliable set of force consts. The 2nd set of symmetry coordinates provides better agreement with the exptl. data for both mean amplitudes and rotational distortion consts. of butatriene. The various large values for the C₂X₂ mols. were attributed to the high degree of delocalization in these systems.

RCBF

C.A.

1969

71.12

C₃O₂

12 Д150. Молекулярные постоянные молекул C_3X_2 ($X=O, S$) и C_4H_4 . Ramaswamy K., Srinivasan K. Molecular constants of C_3X_2 ($X=O, S$) and C_4H_4 molecules. «J. Molec. Struct.», 1969, 3, № 6, 473—481 (англ.)

1969
IV /

Приближенным методом характеристич. набора валентных координат вычислены силовые коэф., формы колебаний, распределение потенц. энергии колебаний по внутренним координатам и среднеквадратичные амплитуды колебаний (l) молекул C_3O_2 , C_3S_2 , C_4H_4 и постоянные центробежного искажения и кориолисового взаимодействия молекулы C_4H_4 . Расчет выполнен с различными координатами симметрии. Для некоторых недиагональных силовых коэф. получены аномально высокие значения. Результаты расчета l для C_4H_4 за исключением $l(C_2=C_3)$ согласуются с электронографич. данными, а для $l(C_2=C_3)$ получено значение 0,0615 Å, тогда как эксперим. значение равно $0,039 \pm 0,005$ Å. М. Р. Алиев

Bp-560-XIV

90, 1989, 129



+2

☒

C_3O_2

Вр - 2202 - XIV

1969

✓ 11 Д166. Средние амплитуды колебаний несвязанных пар ($O \cdots O$) и ($S \cdots S$) в молекулах C_3O_2 и C_3S_2 . Smith W m. Hayden. Mean vibrational amplitudes of the ($O \cdots O$) and ($S \cdots S$) distances for carbon suboxide and carbon subsulfide. «Chem. Phys. Letters», 1969, 3, № 6, 430—432 (англ.)

Вычислены средние амплитуды колебаний молекулы C_3O_2 в гармонич. приближении с учетом всех внутренних координат при т-рах 240° , 300° , и 500° К. Отмечено значительное отличие между вычисленными и эксперим. значениями амплитуды $l(O \cdots O)$ несвязанной пары ато-



д. 1969. 112

модель $O \cdots O$, которое объясняется неприменимостью гармонического приближения. Предложена модель для вычисления $I(O \cdots O)$, учитывающая дополнительно центробежные смещения вдоль перпендикулярных координат. Вычисленные по этой модели значения $I(O \cdots O) = 0,0765, 0,0890$ и $0,1117 \text{ \AA}$ согласуются с эксперим. значениями $I(O \cdots O) = 0,0779, 0,0909$ и $0,1286 \text{ \AA}$ для т-р $240^\circ, 300^\circ$ и 500° K соответственно. Аналогичный расчет выполнен также для молекулы C_3S_2 и показано, что центробежные эффекты и в данном случае дают существенный вклад в значение $I(S \cdots S)$.

М. Р. Алиев

ВР-2202-ХIV 1969

C₃O₂

1 Б49. Среднеквадратичные амплитуды колебаний для расстояний (O...O) и (S...S) для недокси углерода и субсульфида углерода. Smith Wm. Hayden. Mean vibrational amplitudes of the (O...O) and (S...S) distances for carbon suboxide and carbon subsulfide. «Chem. Phys. Letters», 1969, 3, № 6, 430—432 (англ.)

среднеквадр.
автимейт.
Колебания

Вычислены среднеквадратич. амплитуды кол. молекулы C₃O₂ (I) при т-рах 240—500° К в гармонич. приближении. Наблюдается большое расхождение (~ в 2 раза) между теоретич. и эксперим. величинами среднеквадратич. амплитуды кол. и для расстояния в (O...O) в I. Обсуждены причины этого расхождения. Аналогичное рассмотрение проведено для C₂S₂. +1 А. Александров

+1

X. 1970. 1

17

1969

B9P-2202-XIVC₃O₂

64314d) Mean vibrational amplitudes of the (O...O) and (S...S) distances for carbon suboxide and carbon subsulfide. Smith, William Hayden (Princeton Univ. Observ., Princeton, N.J.). *Chem. Phys. Lett.* 1969, 3(6), 430-2 (Eng). The observed mean amplitude of vibration for the nonbonded distances of C₂O₂ is not in agreement with the usual harmonic oscillator approxn. calcn. The discrepancy can be understood and approx. calcd. by using a simple model that takes into account the central C bending motion. A similar result is predicted for C₂S₂.

BGJN

cp. no. as noted
usereable

C.A. 1969.71.14

1969

 C_3O_2 (nay)

з Д353. Спектр комбинационного рассеяния газообразного C_3O_2 . Smith William Hayden, Vaggett Joseph J. Gas-phase Raman spectra of carbon suboxide. «J. Chem. Phys.», 1969, 51, № 4, 1475—1479 (англ.)

Исследован колебательно-вращательный спектр комб. рас. газообразного C_3O_2 . Измерены относит. интенсивности и степени деполяризации полос и дано отнесение полос в спектре по типам колебаний. Наиболее интенсивная полоса около 127 см^{-1} идентифицирована как колебание $2\nu_7$. На основании анализа этой полосы и других полос с участием колебания ν_7 сделан ряд выводов относительно геометрии молекулы C_3O_2 . Показано, что в предположении о квазилинейном строении молекулы с незначительным барьером по отношению к линейной конфигурации колебательный спектр C_3O_2 как в газообразном, так и в конденсированном состоянии получает удовлетворительное объяснение. Библ. 14.

Э. В. Б.

и.и.студенческ

09. 1970. 38

ВФ - 1255-XIV. 1970

C₃O₂

5 Б88. Потенциальная функция деформационных колебаний CCC в молекуле C₃O₂. Clark Allam, Seip Hans M. The potential function for the CCC bending in carbon suboxide. «Chem. Phys. Lett.», 1970, 6, № 5, 452—456 (англ.)

В предположении отделимости деформац. колебаний рассчитана потенциальная функция деформац. колебания С—С—С в молекуле C₃O₂. Энергетич. уровни вычислялись при различных наборах параметров в выражении для потенциала. Предлагается потенциал в виде $V(r) = 2400 r^2 + 14\ 000/(2,2+r^2)$, к-рый имеет небольшой максимум $\sim 50 \text{ см}^{-1}$ для $\alpha=0$ ($2\alpha=180^\circ < \text{C}-\text{C}-\text{C}$) и минимум для значения $\alpha=11^\circ$, что хорошо соответствует эксперим. данным.

С. Долин

расчет

и.и.

б/п

Х. 1971.5

СО
3.2

ВСР-1255-XIV 1970

2Д190. Потенциальная функция деформации угла CCC в C_3O_2 . Clark Allan Seip Hans M. The potential function for the CCC bending in carbon suboxide. «Chem. Phys. Lett.», 1970, 6, № 5, 452—456 (англ.)

Проанализировано решение ур-ния Шрёдингера с потенциалом $V(R) = \frac{kR^2}{2} + \frac{K_B}{c^2 + R^2}$ для деформационного колебания угла CCC в молекуле C_3O_2 без учета взаимодействия этого колебания с остальными. Получены численные значения энергии и волн. ф-ций для ряда низколежащих уровней при различных значениях параметров k , c и K_B . Вычислены частоты и интенсивности полос v_7 и $2v_7$ в ИК-спектрах и спектрах комб. расс. и радиальное распределение интенсивности в спектре

Л CCC
иотенсу. ф-ци

09. 1274

29

рассеяния электронов. Путем сопоставления результатов расчета с эксперим. данными показано, что все эксперим. данные удовлетворительно описываются потенциалом $V(R) = 2400 \frac{14000}{R^2 + 2,2 + R^2} \text{ см}^{-1}$, который имеет максимум с величиной барьера 50 см^{-1} при $\angle \text{CCC} = 180^\circ$ и минимум при $180^\circ < \angle \text{CCC} = 22^\circ$. М. Р. Алиев

C₃O₂

BP-1255-XIV

1970

654zc

Potential function for the CCC bending in carbon suboxide. Clark, Allan; Seip, Hans M. (Dep. Chem., Univ. Manchester Inst. Sci. Technol., Manchester, Engl.). *Chem. Phys. Lett.* 1970, 6(5), 452-6 (Eng). The CCC bending in C₃O₂ has been studied by using results from recent spectroscopic and electron diffraction investigations of the compd. The potential $V(\gamma) = 2400 \gamma^2 + 14,000/(2/2 + \gamma^2)$ (cm⁻¹), which has a small max. of about 50 cm⁻¹ for $\alpha = 0^\circ$ ($2\alpha = 180^\circ - \angle$ CCC) and min. for α of about 11° , seems consistent with most of the available exptl. data. A potential with no barrier for $\alpha = 0^\circ$ is still possible.

Peter Coad

CCC

geopaper

C.S. 1971.74

2

C_3O_2

[On 40716]

1970

Mitsutoshi Tanimoto,
Kozo Kiihatsu et al.,

(ii.) Bull. Chem. Soc. Jap.,
1970, 43, 2776-2785.

Molecular structure and the

Effect of Large - Amplitude
Vibration of Carbon Tetrachloride
as Studied by Gas Electron
Diffraction.

C₃O₂

discr

Chemisp

60505q High-pressure mass spectra and ion chemistry of carbon suboxide. Schilderout, Steven M.; Franklin, J. L. (Dep. of Chem., Rice Univ., Houston, Tex.). *J. Amer. Chem. Soc.* 1970, 92(2), 251-3 (Eng). Subjecting C suboxide, C₃O₂, to electron bombardment in the ion source of a mass spectrometer results in formation of a great variety of pos. ions from ion-neutral reactions at sample pressures up to 0.3 torr. Secondary and higher-order ions identified include C_xO⁺ ($x = 3, 4, 5, 6$), C_yO₂⁺ ($y = 3, 4, 5, 6, 7, 8, 9$), and C_zO₃⁺ ($z = 5, 7$). From consideration of the pressure dependence of ionic abundances, possible reactions are suggested. Insertion of C atoms from C₃O₂ into reactant ions seems to be an important process. Ion-neutral reactions may provide a path for formation of elemental C, but there is no evidence here that they lead to polymerization of C₃O₂. The rate const. for reaction of C₂O⁺ with C₃O₂ is $(2.1 \pm 0.2) \times 10^{-9}$ cm³/mol.-sec.

RCJC

C.A.

1970. 72. 12

1970

C₃O₂

B9-545-XIV

1970

У9 Б104. Исследование методом газовой электронографии молекулярной структуры и эффекта колебаний большой амплитуды недокиси углерода. Tanimoto Mitsuoshi, Kuchitsu Kozo, Mogino Yonezo. Molecular structure and the effect of large-amplitude vibration of carbon suboxide as studied by gas electron diffraction. «Bull. Chem. Soc. Jap.», 1970, 43, № 9, 2776—2785 (англ.)

Изм. структ.
Dr.

Методом газовой электронографии исследована структура молекулы C_3O_2 (I). Определены длины связей: $r(C=O)=1,163_2 \pm 0,001_3$ и $r(C=C)=1,289_4 \pm 0,002_2$ Å. Почти во всех случаях несвязанных пар атомов наблюдавшиеся значения средне-квадратичных амплитуд колебаний оказались больше теоретич., что вызвано низким значением частоты деф. кол. v_7 , значит. вклад в к-рое вносит деф. движение центрального атома С.

А. П. Александров

X. 1971. 9

C₃O₂

BGP-545-XIV

1970

(113164g) Molecular structure and the effect of large-amplitude vibration of carbon suboxide as studied by gas electron diffraction. Tanimoto, Mitsutoshi; Kuchitsu, Kozo; Morino, Yonezo (Fac. Sci., Univ. Tokyo, Tokyo, Japan). *Bull. Chem. Soc. Jap.* 1970, 43(9), 2776-85 (Eng). The mol. structure of carbon suboxide, C₃O₂, has been studied by the sector-microphotometer method of gas electron diffraction. The C=O and C=C distances (r_0) have been detd. as 1.163 and 1.289 Å, resp. The obsd. mean amplitudes for 3 nonbonded atom pairs and their shrinkages are much larger than those expected for ordinary mols. with linear framework. A usual harmonic approxn. up to the quadratic terms of displacements cannot account for the obsd. values in this mol. This indicates that the π_u bending vibration v_7 has a very low frequency (an effective frequency being

ctijewes
noiparee.

C.A. 1970. 73:22

about 68 cm^{-1}) and that this vibration is essential a bending motion of the valence angle of the central C atom, in agreement with recent spectroscopic studies. The effect of the large-amplitude vibration on mean amplitudes and shrinkages has been studied in detail by using a model, which assumes that at. motions take curvilinear paths in the v_7 vibration with the valley in the potential surface running along the loci of fixed bond lengths. The potential function for this bending motion has been estd. by a least-squares anal. on the obsd. structural parameters. The potential function is given by $V(Q_7) = 23 Q_7^4 - 100 Q_7^2 (\text{cm}^{-1})$, where the uncertainties representing random std. errors take the upper and lower signs in the same order and $Q_7 = \sin \alpha / 0.145 (\text{amu}^{1/2} \text{\AA})$. The potential rises steeply with increasing angle of bending, $\alpha = 1/2[180^\circ - \angle(\text{C}=\text{C}=\text{C})]$, and appears to have a small hump at $\alpha = 0$. This "quasi-linear" potential function is consistent with the recent exptl. ests. by Seip, *et al.* within exptl. errors, but the double-min. nature of the potential is subject to a further crit. examn. by other exptl. methods.

RCQC

1970

C₃O₂

Workman G. L.

Univ. Rochester, Rochester,
N.Y., 1970, 69. Abst. Univ.

Microfilms, Ann Arbor, Mich.
Order No. 40-17.917.

From Diss. Abstr. Sect.,
B, 1970, 31, 4, 1890.

(G.C. COF) W

N

C₃O₂

7 №152. Электронное строение молекулы C₃O₂ на основе рентгеноэлектронного спектра и неэмпирического расчета. Bauser H., Pernisz U. Field effect in anthracene crystal. «Chem. Phys. Lett.», 1971, 11, № 2, 213—215 (англ.)

1971

Изучен рентгеноэлектронный спектр молекулы C₃O₂ для газа и тв. тела. Проведен расчет МО этой молекулы методом ССП в гауссовом базисе. На основе расчета и эксперим. относит. интенсивностей получен след. порядок следования валентных уровней: 4σ_g, 3σ_u, 5σ_g, 4σ_u, 6σ_g, 5σ_u, π_u, 1π_g, 2π_u. Спектр твердого образца полностью аналогичен спектру газа, однако расстояние между уровнями 4σ_g, 3σ_u и 6σ_g, 5σ_u в тв. теле на 0,5 эв меньше, чем в газе. Для внутренних линий обнаружен большой эффект «стягивания» электронов. На основе сдвигов внутренних уровней рассчитаны эффективные заряды атомов в молекуле. Для среднего атома углерода получено отрицат. значение заряда.

В. И. Нефедов

X. 1972. 8

C₃O₂

9 Б20. Электронное строение недокси углерода по данным рентгеноэлектронной спектроскопии и неэмпирических расчетов. Gelius U., Allan C. J., Allison D. A., Siegbahn H., Siegbahn K. The electronic structure of carbon suboxide from ESCA and ab initio calculations. «Chem. Phys. Lett.», 1971, 11, № 2, 224—228 (англ.)

Исследованы рентгеноэлектронные спектры (РЭС) газ. и тв. C₃O₂. Приведены энергии связей (ЭС) остевых и валентных электронов. Орбитальные энергии, рассчитанные неэмпирич. методом ССП МО ЛКАО в базисе объединенных гауссовских функций, сопоставлены с опытными ЭС, на основании чего произведено отнесение орбиталей по типам симметрии. Оцененные по РЭС и вычисленные неэмпирически суммарные заряды на атомах близки друг к другу. Отмечена необычно большая величина отрицат. заряда на центральном атоме С. Подчеркнуто, что положение спектральных полос, относящихся к валентным оболочкам, различно для газовой и тв. фазы.

В. Л.

РМХ, 1972, № 9

C₃O₂

1941

4 Б1177. Изучение реакций атомарного углерода C(2^3P_J) методом кинетической спектроскопии поглощения в области вакуумного ультрафиолета. Husain D., Kirsch L. J. Reactions of atomic carbon C(2^3P_J) by kinetic absorption spectroscopy in the vacuum ultra-violet. «Trans. Faraday Soc.», 1971, 67, № 7, 2025—2035 (англ.)

Член.
романов.

Изучали кинетику исчезновения атомов C(2^3P_J) (I), образованных при импульсном фотолизе C₃O₂ под действием света $\lambda \sim 160$ нм, в присутствии различных газов. За конц-ней I следили по интенсивности поглощения све-

X, 1942, 4

та λ 166 нм, создаваемого при переходе $C(3^3P_J^0 \rightarrow 2^3P_J)$ в зоне СВЧ-разряда в потоке He, содержащего 1% C_2H_2 . Определены константы скоростей р-ций при $330^\circ K$ (10^{-11} см 3 /молекула·сек или 10^{-32} см 6 /молекула·сек).
 $I + NO \rightarrow CN + O$ $7,3 \pm 2,2$; $I + O_2 \rightarrow CO + O$ $3,3 \pm 1,5$; $I + NO_2 \rightarrow CO + N_2$ (или $CN + NO$) $2,5 \pm 1,6$; $I + H_2O \rightarrow CO + H_2$ (или CH_2O) $< 3,6 \cdot 10^{-2}$; $I + CO_2 \rightarrow 2CO < 10^{-3}$; $I + CH_4 \rightarrow C_2H_4 < 2 \cdot 10^{-4}$; $I + N_2 + M \rightarrow CN_2 + M$ $0,31 \pm 0,15$ ($M = Ar$); $I + H_2 + M \rightarrow CH_2 + M$ $7,1 \pm 2,5$ ($M = He$); $I + CO + M \rightarrow C_2O + M$ $6,3 \pm 2,7$ ($M = He$).
По резюме

C_3O_2

De kock R.L.;
et al.

1971

(2) "J. Amer. Chem. Soc"

1971, 93, N25, 7106-07.

● $(Cu\cdot C_2O; \text{III})$

C₃O₂

1981

55874s Use of the Green function for the vibrational analysis of carbon suboxide. Ramaswamy, K.; Rangarajan, S. (Dep. Phys., Annamalai Univ., Annamalainagar, India). *Spectrosc. Mol.* 1971, 20(225), 1-6 (Interlingua). The method of anal. of mol. vibrations by use of Green's function was used in the detn. of potential energy consts., and root-mean-square amplitudes of vibration, for C suboxide. By using rules detd. in this study, values of the fundamental vibrational frequencies were calcd. for several isotopic substitutions. The valence force consts. are detd. The root-mean-square amplitude of vibration at 298.16°K for the C:O bond was 0.03514 Å and that for the C:C bond was 0.03843 Å.

Forrest F. Cleveland

C.A. 1981. 48 8

C_3O_2

XIV-389

1971

11 Д360. Спектр поглощения C_3O_2 в вакуумной УФ-области. II. Влияние низкой температуры и высокого давления инертного газа на полосу 1780 Å. Roebbe
John L. Vacuum-ultraviolet absorption spectrum of car-
bon suboxide. II. The effect of low temperature and the ef-
fect of high pressure of an inert gas on the 1780-Å band.
«J. Chem. Phys.», 1971, 54, № 9, 4001—4013 (англ.)

Изучены спектры поглощения молекулы C_3O_2 в вакуумной УФ-области с разрешением 1 Å при т-рах 298 и 195° К. Вариация т-ры позволила однозначно отнести

№. 12; 81

Х. 1971. 110

14 полос перехода 1780 Å к прогрессии деф. кол.
400 см^{-1} возбужденного состояния, в то время как ра-
нее эти полосы приписывались секвенции деф. кол.
63 см^{-1} основного состояния. Найдено, что в присутст-
вии аргона (100 atm) происходит уширение колебатель-
ной структуры и смещение полосы 1780 Å в коротко-
волн. сторону, что свидетельствует о ридберговском ти-
пе перехода. Классифицированы верхние состояния пере-
ходов полос 2650, 1780 и 1587 Å. Библ. 49. Ч. I см.
РЖФиз, 1968, 4Д243.

В. Александров

C₃O₂

XIV-389

1981

(132663f) Vacuum-ultraviolet absorption spectrum of carbon suboxide. II. Effect of low temperature and the effect of high pressure of an inert gas on the 1780 Ang. band. Roeber, John L. (Dep. Chem., Northwestern Univ., Boston, Mass.). *J. Chem. Phys.* 1971, 54(9), 4001-13 (Eng). The gas-phase absorption spectrum of the 1780-Å band of C suboxide was measured photoelec. at both room and dry-ice temps., and in the presence of a high pressure of Ar by using a 1-m vacuum monochromator having a 1.0-Å bandwidth. The addn. of 1500 psi of Ar greatly broadens the vibrational structure and shifts the whole band to higher energies. On cooling from 298 to 195°K, the size of the 14 vibrational bands on the 1780-Å transition remain unchanged relative to each other, but the intensity of the transition is decreased. The constancy in relative size of the vibrational!

nom.

Opp. pa

C.A. 1981. 44.24

bands at different temps. rules out the possibility that they are a vibrational sequence in the 63-cm^{-1} ground-state π_u bending mode and confirms their assignment as a progression in a 400-cm^{-1} excited-state bending vibration. The decrease in oscillator strength as the temp. is lowered and the regularity of the progression as it passes over the peak of the band imply that the linear-linear vertical transition is forbidden. The effect of the high pressure of Ar on the $1780\text{-}\text{\AA}$ band indicates that it is borrowing its intensity from a Rydberg band. The presence of a long progression in a bending mode is strong evidence that the equil. configuration in the excited state is nonlinear. The Herzberg-Teller theory of vibrationally induced electronic transitions and an intermediate neglect of differential overlap-MC calen. were used to assign the upper states of the 2650 -, 1780 -, and $1587\text{-}\text{\AA}$ bands.

RCJQ

XIV - 3898

1972

C₃O₂
C₃S₂

19 Б114. Отклонение молекулярных пучков недокиси углерода и тионедокиси в электрическом поле. Сүке T. R., Клемперег W., Ginsberg A. P., Ганснер W. E. Electric deflection of molecular beams of carbon suboxide and carbon subsulfide. «J. Chem. Phys.», 1972, 56, № 8, 3993—3995 (англ.)

По величине отклонения молек. пучков (МП) C₃O₂ (I) и C₃S₂ (II) в неоднородных электрич. полях показано линейное строение этих молекул при т-рах 200 и 300° К (I) и 300° К (II). Калибровка аппаратуры осуществлялась по отклонению МП NO₂ (300° К, величина дипольного момента $\mu = 0,3D$), потенциалы на 2 квадропольных линзах менялись от 0 до 25 кв в разных сочетаниях. Максим. отклонение МП I и II показывает, что значения μ I и II не превышают 0,15D, что соответствует отклонению от линейного расположения атомов в I и II не более, чем на 10°.

М. Туркина

X · 1972 · 19

(+) 0

C₃O₂

1972

9987v High-resolution electron spectrum of carbon suboxide. Rabalais, J. Wayne; Bergmark, Torsten; Werme, L. O.; Karlsson, L.; Hussain, M.; Seigbahn, Kai (Inst. Phys., Univ. Uppsala, Uppsala, Swed.). *Electron Spectrosc., Proc. Int. Conf.* 1971 (Pub. 1972), 425-39 (Eng). Edited by Shirley, David A. North-Holland: Amsterdam, Neth. The high resoln. He I photoelectron (PE) spectrum of C₃O₂ was recorded and vibrational anal. was made. Five PE bands with max. at 10.605, 14.8, 15.8, 16.978, and 17.258 eV with relative intensities of 2, 2.1, 1.3, 0.9, and 2.2, resp., were obsd. The symmetries of the MO's and their adiabatic ionization potentials were 2π_u (10.605), 1π_g (14.502), 2σ_u (15.751), 2σ_g (16.978), and 1π_u (17.258 eV). In the region 14.5 to 18 eV where there were two π- and two σ-orbitals, the ordering of the π-orbitals relative to the σ-orbitals obtained from the computations differed from the exptl. findings. The ion was linear in its ground state; however, the higher ionic states had various configurations depending on the symmetry of the ionized electron. The transition to the ground ionic state was dominated by a progression of 2105 cm⁻¹ in the totally symmetric stretching frequency ν₁. Each of these bands was accompanied by Δν_u = 0 sequences in the ν_{1'} ≈ 400 cm⁻¹. This large increase in ν_{1'} was attributed to the redn. of the high neg. charge on the central C atom on ionization with a resulting increase in the bending force const. J. C. Joshi

photo
comp

C.A 1972 78
N2

1972

C₃O₂

14 Б7. Неэмпирический расчет электронного строения недокиси углерода. Sabin John R., Kim Hyunyoung. Ab Initio calculation of the electronic structure of carbon suboxide. «J. Chem. Phys.», 1972, 56, № 5, 2195—2198 (англ.)

Неэмпирическим методом ССП МО ЛКАО в базисе сгруппированных гауссовых функций исследовано электронное строение недокиси углерода, C₃O₂. Варьировались длины связей (принятые попарно равными) и угол ССС (ϕ); группировки C—C—O полагались линейными. Показано, что миним. энергией обладает линейная структура ($\phi = 180^\circ$) с длинами связей СС и СО 1,332 и 1,243 Å соотв. (опыт 1,28 и 1,16, $180 \pm 5 - 10^\circ$). Приведены орбитальные и полные энергии, заселенности по Малликену. Результаты расчета согласуются с полу-

научныйспец. п.V₂авт. СПX. 1972.14

ченными другими авторами и с опытными данными. Центральный атом С и атомы О обладают значительными отрицат. эффективными зарядами ($-0,318$ и $-0,260$), что приводит к большей поляризации связей С—С, чем С—О. Рассчитанные силовые постоянные кол. удовлетворительно согласуются с опытными значениями. Подробно обсуждена причина аномально малого (теор. и эксперим.) значения силовой постоянной деф. кол. группы С=С=С.

В. Л. Лебедев

60
32

1972

92199s Ab initio calculation of the electronic structure of carbon suboxide. Sabin, John R.; Kim, Hyunyong (Quantum Theory Proj., Univ. Florida, Gainesville, Fla.); *J. Chem. Phys.* 1972, 56(5), 2195-8 (Eng). An ab initio LCCGO (linear combination of Gaussian orbitals) MO SCF calcn. with geometry search was carried out on C_3O_2 . The structure is linear with C-C and C-O bond distances of 1.332 and 1.243 Å, resp. The electronic configuration was detd. and one-electron properties were calcd. Potential functions are reported and discussed with particular emphasis on the low-frequency bending mode about the central C atom.

C-C-O

C.A. 1972. 46. 16

1972

C₃O₂

Weber A.,

Develop. Appl. Spectroscopy.
Vol. IO, New-York-London, 1972
137-160.

Span.
noem.

(aer. C₂H₂Cl₂; ''')

C_3O_2

1973

Aarons L.J. et.al.

"J.Chem.Soc. Faraday Trans"
1973, Part 2, 69, N4, 563-568.

(all CH_4 ; III)

C_3O_2

XIV-4888

1973

(vi) 120037v Far infrared and Raman spectra of gaseous carbon suboxide and the potential function for the low frequency bending mode. Carreira, L. A.; Carter, R. O.; Durig, J. R.; Lord, R. C.; Milionis, C. C. (Dep. Chem., Univ. South Carolina, Columbia, S.C.). *J. Chem. Phys.* 1973, 59(3), 1028-37 (Eng). The far-ir spectrum of gaseous C_3O_2 under high resoln. (0.3 cm^{-1}) was investigated ($20-80\text{ cm}^{-1}$). Two series of absorption max. were obsd. resulting from the anharmonicity of the low-frequency bending vibration, ν_7 . In 1 series the max., found to be relatively sharp, were assigned to *P*-branch bandheads, and in the other the more diffuse peaks were assigned to *Q* branches for excited state

of lin
cribed
sis

C.A. 1973.79 n20

transitions of ν_7 . The Raman spectra of gaseous and solid C_3O_2 were obtained under moderately high resoln. (1.0 cm^{-1}). Several lines had striking fine structure. More than 10 Q branches were obsd. in the Raman spectrum of the gas in the region of $2\nu_7$. The obsd. Q branches in the ir and Raman spectra were assigned with the help of a potential function of the form $V(\text{cm}^{-1}) = (0.728 \pm 0.010) q^4 - (640 \pm 0.36) q^2$, where q is 1 of the reduced polar coordinates q and ϕ . This function leads to a barrier to the linear configuration of $14 \pm 2\text{ cm}^{-1}$ with the lowest energy level at 19.7 cm^{-1} . Thus, C_3O_2 is linear in the ground vibrational state. The $0 \rightarrow 1$ transition was at 22.2 cm^{-1} . The potential function, transformed to the dimensioned form by using the reduced mass, gives an angle of 10.2° at the shallow potential min. Many of the other Raman bands showed extensive fine structure due to hot band transitions assocd. with ν_7 and it was only possible to locate the ground state transition reliably by observing the corresponding frequency in the solid. The gas-phase entropy of C_3O_2 calcd. with the help of the new assignment for ν_7 agrees reasonably well with the exptl. 3rd-law entropy but there is indication that a small amount of addnl. entropy may be required from a solid-state transition at 120°K with $\Delta H \simeq 50\text{ cal/mole}$.

C₃O₂
2 Б205. Длинноволновые инфракрасные спектры и
спектры комбинационного рассеяния газообразной не-
доокиси углерода и потенциальная функция для низ-
кочастотного деформационного колебания. Саггей-
га L. A., Carter R. O., Durig J. R., Lord R. C.,
Milionis C. C. Far infrared and Raman spectra of
gaseous carbon suboxide and the potential function for
the low frequency bending mode. «J. Chem. Phys.», 1973,
59, № 3, 1028—1037 (англ.)

1973

Длинноволновый ИК-спектр ($20\text{--}80\text{ см}^{-1}$) газ. не-
доокиси углерода C_3O_2 исследован с высоким разреше-
нием ($0,3\text{ см}^{-1}$). Наблюдалось две серии максимумов
поглощения, связанных с ангармоничностью низкочас-
тотного деф. кол. ν_7 . В одной серии максимумы явля-
ются узкими и отнесены к P -ветвям, а более диффуз-
ные пики приписаны Q -ветвям для возбужденного
состояния переходов ν_7 . С разрешением 1 см^{-1} полу-
чен спектр КР газа и тв. C_3O_2 . Для нек-рых линий

Сергей Михайлович
Турбинский

2. 1974

N2

обнаружена тонкая структура. В спектре КР в области полосы $2\nu_7$ для газа обнаружено более 10 Q-ветвей. Найденные в ИК- и КР-спектрах Q-ветви отнесены с помощью потенциальной функции вида $V(\text{см}^{-1}) = (0,728 + 0,010)q^4 - (6,40 + 0,36)q^2$, где q — обобщенная полярная координата q или Φ . С этой функцией получена величина барьера для линейной конфигурации $14+2 \text{ см}^{-1}$ с низшим энергетич. уровнем $19,7 \text{ см}^{-1}$. Т. о., молекула в низшем колебательном состоянии линейна. Переход 0—1 лежит при $22,2 \text{ см}^{-1}$. Многие др. полосы КР имеют тонкую структуру из-за «горячих переходов», связанных с ν_7 . Установить частоту основного перехода представляется возможным только при со-поставлении со спектром в тв. состоянии. Рассчитана энтропия C_2O_3 в газе с новым значением частоты ν_7 , к-рая хорошо совпадает с эксперим. термодинамич. величиной.

По резюме

1973

*C₃O₂**спектр*
*и.и.**45; 79.9*

Д 375. Длинноволновые ИК-спектры и спектры комбинационного рассеяния газообразной закиси углерода и потенциальная функция низкочастотного деформационного колебания. Sargeiga L. A., Carter R. O., During J. R., Lord R. C., Millionis C. C. Far infrared and Raman spectra of gaseous carbon suboxide and the potential function for the low frequency bending mode. «J. Chem. Phys.», 1973, 59, № 3, 1028—1037 (англ.)

Получены ИК-спектры поглощения газообразной C_3O_2 в области $20-80 \text{ см}^{-1}$ с разрешением $0,3 \text{ см}^{-1}$ и спектры комб. рас. газообразной и кристаллич. C_3O_2 . Приведены спектры и таблицы частот полос. Наблюденная в поглощении серия узких линий связана с кантами P -ветвей, а серия широких — с Q -ветвями переходов v_7 с различных возбужденных уровней. Аналогичные серии наблюдены в спектре комб. рас. Одна из них связана с переходами $2v_7$. По наблюденным частотам построена потенц. кривая для деформации молекулы вида $V(x) = -Ax^4 - Bx^2$ с барьером, высота которого ниже энергии основного колебательного состояния, что указывает на линейное строение молекулы. Вычисленная энтропия C_3O_2 для газовой фазы согласуется с термодинамич. данными. Библ. 32.

M. B. Тонков

1973

C_3O_2

7 Б1211. Кинетическое исследование атомов $C(2^1S_0)$ при фотолизе C_3O_2 методом атомной абсорбционной спектроскопии. Husain D., Kirsch L. J. A kinetic study of $C(2^1S_0)$ in the photolysis of C_3O_2 by atomic absorption spectroscopy. «J. Photochem.», 1973, 2, № 3—4, 297—308 (англ.)

фотолиз

Методом абсорбц. атомной спектроскопии с времененным разрешением исследована кинетика расходования электронно-возбужденных атомов $C(2^1S_0)$ [по уменьшению поглощения резонансной линии $\lambda 247,8$ нм, переход $C(3^1P_1) \rightarrow C(2^1S_0)$], получаемых при импульсном фотолизе ($\lambda \sim 200$ — 300 нм) C_3O_2 в присутствии инертных газов Q (H_2 , CO , N_2 , CH_4 , He). Рассмотрен механизм фотолиза, согласно которому атомы $C(2^1S_0)$ образуются во втор. р-циях. В перв. акте образуются радикалы C_2O в синглетном (${}^1\Delta$ или ${}^1\Sigma$) состоянии: $C_3O_2 + h\nu \rightarrow C_2O + CO$ или атомы $C[{}^3P(\sim 80\%)$ или ${}^1D(20\%)$]: $h\nu + C_3O_2 \rightarrow 2CO + C$. Атомы $C(2^1S_0)$ не образуются в перв. акте (пороговая λ равна 139,4 нм). Атомы $C(2^1D_2)$ или $C(2^3P_j)$ более р-ционноспособны, чем $C(2^1S_0)$, и вступают в р-ции: $C(2^3P_j) + C_3O_2 \rightarrow 2C_2O$; $C(2^1D_2) +$

2. 1974

№ 7

$+C_3O_2 \rightarrow 2C_2O$; $C(2^3P_j) + CO + Q \rightarrow C_2O + Q$. Эффективная фотодиссоциация синглетных C_2O приводит к образованию $C(2^1S_0)$: $hv + C_2O(^1\Delta) \rightarrow CO(^1\Sigma) + C(2^1S_0)$ (λ порог. 278,2—207,7 нм), $hv + C_2O(^1\Sigma) \rightarrow CO(^1\Sigma) + C(2^1S_0)$ (λ порог. 295,5—217,1 нм). Показано, что добавки небольших кол-в H_2 , CO , CH_4 , N_2 , достаточных для дезактивации $C(2^1D_2)$, почти не меняют выход $C(2^1S_0)$. Из штерн-фольмеровских зависимостей $1/[C(2^1S_0)]$ от $[Q]$ оценены константы скорости р-ции k ($cm^3/\text{молекула}\cdot\text{сек}$) при $300^\circ K$, равные для $Q = C_3O_2$, He , H_2 , CO , N_2 , CH_4 соотв. $1 \cdot 10^{-10}$; $< 2 \cdot 10^{-15}$; $< 4 \cdot 10^{-14}$; $< 6 \cdot 10^{-14}$; $< 3 \cdot 10^{-15}$; $< 10^{-11}$. Т. к. механизм образования $C(2^1S_0)$ достаточно сложен, полученные значения k являются лишь оценочными.

А. Шведчиков

ана.
чсац.

1973

C_3O_2 (Kpuer.)

85090h Raman spectra of crystalline carbon suboxide.
Smith, William Hayden; Bates, John B. (Princeton Univ. Obs., Princeton, N.J.). *J. Raman Spectrosc.* 1973, 1(1), 83-5 (Eng).
Raman spectra of the 2 cryst. phases (phases I and II at 231 and <130°K, resp.) of C_3O_2 were recorded to identify overtones of ν_2 and ν_7 . Bands at 1579 and 1577 cm^{-1} in the spectra of phases I and II were assigned to the $2\nu_2$ combination vibration. The $2\nu_7$ were not identified. The results are discussed with regard to the ν_2 and ν_7 potentials in condensed phases. A recently proposed structure (D_{2h} with 2 nonequiv. sites) of the I form of C_3O_2 is considered in view of the obsd. spectra.

Raman -
checkp.

C.A. 1973. 79 n14

C_3O_2

Zahradník R
Carsky P.

1973
4-1671

аналог
спектр.

"Collect. Czech. Chem. Commun.
1971, 38, N^o 2, 1876-85

C_3O_2

SEARCHER 2128

1974

Science
Physics

125113x Even-tempered atomic orbitals. VII. Theoretical equilibrium geometries and reaction energies for carbon suboxide and other molecules containing carbon, oxygen, and hydrogen. Bardo, Richard D.; Ruedenberg, Klaus (Ames Lab., Iowa State Univ., Ames, Iowa). *J. Chem. Phys.* 1974, 60(3), 932-6 (Eng). The quality of molecule-optimized even-tempered Gaussian bases (B. and R., 1974) was ascertained from calcns. of the theoretical equilibrium conformations of the mols. H_2 , CH_4 , C_2H_2 , C_2H_4 , C_2He , $MeC:CH$, H_2O , CO , CO_2 , and $HCHO$, and of the energies for the reactions of these mols. at 0°K with H_2 and CH_4 . The equilibrium geometry of C_3O_2 was determined and compared to known results.

C.A. 1974. 80 n 22

1974

C₃O₂

№2 Д243. Возбуждения, сопровождающиеся ионизацией в C₃O₂. Cederbaum L. S. Excitations accompanying ionization in C₃O₂. «Vacuum Ultraviolet Radiation. Phys. Proc. IV Int. Conf., Hamburg, 1974». [Oxford] — Braunschweig, 1974, 155—156 (англ.)

При помощи ур-ния Дайсона и многочастичной ф-ции Грина получено выражение, описывающее многочастичные возбуждения, сопровождающиеся ионизацией. В качестве примера рассчитываются энергии и интенсивности сателлитных линий фотоэлектронного спектра молекулы C₃O₂. Проводится сравнение с эксперим. данными. Отмечаются преимущества описания многочастичных возбуждений на языке ф-ций Грина: нужны только хартри-фоковские расчеты самой системы (данных по иону не надо), автоматически учитываются корреляции в начальном и конечном состояниях, учитываются все возможные конечные состояния иона.

Е. П. Смирнов

Июнь
1974

Ф 1976 №2

1974

C₃O₂

5 Б173. Возбуждения, сопровождающие ионизацию в C₃O₂. Cederbaum L. S. Excitations accompanying ionization in C₃O₂. «Vacuum Ultraviolet Radiat. Phys. Proc. IV Int. Conf., Hamburg, 1974». [Oxford]—Braunschweig, 1974, 155—156 (англ.)

Методом ф-ции Грина определены энергии возбуждения и соотв-щие интенсивности возбуждения или ионизации 2-го электрона в атоме или молекуле при фотонионизац. процессах. Вычисление ф-ции Грина выполнено с помощью матричного ур-ния Дайсона через энергии хартри-фоковских орбиталей. Полученные ф-лы использованы для расчета рентгеноэлектронного спектра молекулы C₃O₂ в области Cls и O1s-линий. Вычисленные энергии и интенсивности для наиболее интенсивных сателлитных линий спектра хорошо согласуются с эксперим. данными.

С. Н. Мурзин

20 1976 N5

1974

C_3O_2

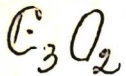
помисы
Крикун

VI Д136. Исследование потенциальной функции для изгиба CCC в недокиси углерода неэмпирическими методами. Jensen Harald H., Nilssen Egvin Wisseloff, Seip Hans M. The potential function for the CCC bending in carbon suboxide studied by ab initio calculations. «Chem. Phys. Lett.», 1974, 27, № 3, 338—341 (англ.)

Методом ССП МО ЛКАО в базисе гауссовских ф-ций ($9s5p1d$) для всех атомов исследована потенц. кривая изгиба CCC в недокиси углерода (C_3O_2) (I). Для линейной формы I проведена оптимизация длин связей и экспонент d -ф-ций. Во всех последующих расчетах проводилась оптимизация геометрии I только по углам CCC и CCO. Показано, что потенц. кривая имеет только один минимум, соответствующий углам CCC и CCO в 180° , но сильно ангармонична. Проведены также расчеты потенц. кривой без учета d -АО. В обоих случаях удовлетворительного согласия с эксперим. данными не достигнуто, однако при учете d -АО форма потенц. кривой ближе к экспериментальной. В. А. Корсунов

ф. 1975
N1

1974



мн; Че
номер,
Крик.

1 Б17. Неэмпирический расчет потенциальной функции деформационного колебания CCC в недокиси углерода. Jensen Harald H., Nilssen Edvin Wissff, Seip Hans M. The potential function for the CCC bending in carbon suboxide studied by ab initio calculations. «Chem. Phys. Lett.», 1974, 27, № 3, 338—341 (англ.)

Неэмпирическим методом ССП МО ЛКАО в базисе гауссовых функций $9s5p1d$, сгруппированном в базис

х. 1975. № 1

$4s3p1d$, а также без учета d -АО и с учетом d -АО только центрального атома С, исследовано электронное строение недокиси углерода C_3O_2 . Приведены энергетич. характеристики, распределения электронной плотности, потенциальные кривые для деф. кол. Равновесные длины связей С—О и С—С найдены равными 1,131 и 1,266 Å (опыт 1,163 и 1,289). Обнаружено, что потенциал деф. кол. С—С—С обладает значит. ангармоничностью, что согласуется с опытными данными; установлено, что учет d -АО существенен для получения такого согласия.

В. Л. Лебедев

1974

C₃O₂

141069p Potential function for the carbon-carbon-carbon bending in carbon suboxide studied by ab initio calculations. Jensen, Harald H.; Nilssen, Edvin W.; Seip, Hans M. (Dep. Chem., Univ. Oslo, Oslo, Norway). *Chem. Phys. Lett.* 1974, 213, 338-41 (Eng). Ab initio calcns. using a (9s5p1d) basis give a high degree of anharmonicity in the C-C-C bending potential for C₃O₂ in agreement with exptl. evidence. The barrier corresponding to the linear form is, however, not reproduced in the present work.

nomedus
op-948

C.A. 1974, 81 n 22

1974

C₃O₂* 4 - 4080

114397s Auger electron spectrum of carbon suboxide (C_2O_2).
Karlsson, L.; Werne, L. O.; Bergmark, T.; Siegbahn, K.
(Inst. Phys., Univ. Uppsala, Uppsala, Swed.). *J. Electron Spectrosc. Relat. Phenomena* 1974, 3(3), 181-9 (Eng). The high resoln. *KLL* Auger electron spectrum of C_2O_2 gas was recorded. Assignments, assisted by intensity and energy calcs., are proposed for the peaks in the spectrum. A comparison is made with the O Auger spectrum of CO. The ground state energy of $\text{C}_2\text{O}_2^{2+}$ is 29.7 eV.

3d. cleanupC.A. 1974.80.N20

C_3O_2

environ 3005 1974

McROBBIE J. B., HALL G. G.

"J. AMER. CHEM. SOC."

1974, 96, (26), 7875-7879.

paper prepared

40807.1357

Gph, TC, Ch, MGU

39062GR

1974

C₃O₂

02

* 4-5816

Sheahen Thomas P. - Observation of C₃O₂
during atmospheric reentry.

"Combust. and Flame", 1974, 22, N 2, 243-

251

(англ.)

01C2 453

148

149

154

ВИНИТИ

C₃O₂

summer 4011

1975

Cocke D.L;
Gingerich K.D.

(10i)

Chem. Phys.; 1975
294-302
Application of matrix
isolation spectroscopy..

C₃O₂

X 45-8384

1975

B9P-6319-XII

7Д409. Колебательно-вращательные спектры высокого разрешения зеакси углерода. Молекулярные постоянные основного состояния и состояния $2v_7^0$.
Mantz A. W., Connes P., Guelachvili G., Amiot C. High resolution vibration-rotation spectra of carbon suboxide. Molecular constants for the ground state and $2v_7^0$. «J. Mol. Spectrosc.», 1975, 54, № 7, 43—53 (англ.)

С помощью фурье-спектрометра получены спектры ИК-поглощения газообразной C₃O₂ в области 3000—

Ф 1975 N7.

5000 см⁻¹ с разрешением 0,005 см⁻¹. Приведены частоты наблюденных колебательно-вращательных линий, определенные с точностью $\sim 2 \cdot 10^{-3}$ см⁻¹, и выполнено их отнесение к различным составным переходам с основного уровня и с возбужденного колебательного уровня $2 v_7^0$. Определены постоянные молекулы в основном состоянии и при возбуждении в ней нескольких колебаний. Энергия уровня $2 v_7^0$ составляет 60,7022 см⁻¹. Отмечен случай кориолисова резонанса.

Библ. 18.

М. В. Тонков

*45-8384

1975

C₃O₂

13 Б261

13 Б261. Колебательно-вращательные спектры высокого разрешения недокиси углерода. Молекулярные постоянные для основного состояния и $2\gamma_7^0$. Mantz A. W., Connes P., Guelachvili G., Amiot C. High resolution vibration-rotation spectra of carbon suboxide. Molecular constants for the ground state and $2\gamma_7^0$. «J. Mol. Spectrosc.», 1975, 54, № 1, 43—53 (англ.)

На вакуумном Фурье-спектрометре получен колебательно-вращательный спектр недокиси углерода C₃O₂ при т-ре 25° в области частот от 3000 до 5000 см⁻¹ с разрешением 0,005 см⁻¹. Выполнен вращательный анализ для семи $\Sigma_u^+ - \Sigma_g^+$ переходов, шесть из к-рых имеют в кач-ве нижнего основное колебательное состояние и седьмой $2\gamma_7^0$ состояние. Определены молек. постоянные C₂O₃ для основного состояния в см⁻¹: $B = 0,07556255 \pm 118$, $D = (3,817 \pm 40) \times 10^{-8}$, $H = (6,019 \pm 415) \times 10^{-13}$ и для верхних состояний. Установлено, что состояние $2\gamma_7^0$ расположено выше основного колебательного состояния на $60,7022 \pm 0,0005$ см⁻¹.

В.Р.

Х. 1975. N 13

С. Н. Мурзин

C₃O₂

*43-8384

1975

91806z High resolution vibration-rotation spectra of carbon suboxide. Molecular constants for the ground state and $2\nu_7^0$. Mantz, A. W.; Connes, P.; Guelachvili, G.; Amiot, C. (Lab. Aimé Cotton, CNRS II, Orsay, Fr.). *J. Mol. Spectrosc.* 1975, 54(1), 43-53 (Eng). The ir spectrum of C₃O₂ was recorded with the vacuum Fourier transform interferometer at a resoln. of 0.005 cm⁻¹. The ground state mol. consts. were calcd. from lower state

(ν_1 ; u.n.)

combination relations in a simultaneous anal. of 6 ground state transitions situated in the region 3000 to 5000 cm⁻¹. Through the anal. of a difference band it was established that $2\nu_7^0$ is 60.7022 ± 0.0005 cm⁻¹ above the ground vibrational state. Accurate mol. constants were also detd. for this vibrational level.

C.A. 1975. 82. N14

Phi Mu 288



C₃O₂

(7 Д480) Двумерный ангармонический осциллятор.
Деформационное колебание CCC в C₃O₂. Duckett J. A.
Mills I. M., Robiette A. G. The two-dimensional
anharmonic oscillator. The CCC bending mode of C₃O₂.
«J. Mol. Spectrosc.», 1976, 63, № 2, 249—264 (англ.)

1976

№ 5-17261

Предложена модель деформационных колебаний v₇ группы CCC молекулы C₃O₂, в которой отклонения от линейности описываются двумерной координатой $\theta = (\theta_x^2 + \theta_y^2)^{1/2}$, а состояния энергии — квантовыми числами v, l . В работе принят потенциал $V = A\theta^2 + B\theta^4$. По литературным данным о частотах полос в спектрах ИК-поглощения и комб. рас. определены параметры этого потенциала для основного состояния молекулы и возбужденных состояний $v_4=1$ и $v_2=1$. Для основного состояния минимум потенциала соответствует изгибу 24° и барьеру перехода через плоскую конфигурацию в 23 см⁻¹, для состояния $v_2=1$ барьер почти исчезает, а для $v_4=1$ барьер и угол увеличиваются. Вычислены эффективные вращательные постоянные молекулы при возбуждении колебания v₇ и уточнена прежняя интерпретация спектров ИК-поглощения и комб. рас. Приведены силовые матрицы гармонич. и ангармонич. приближений молекулы C₃O₂.

М. Тонков

Д. С. И. ИХ.

Ио

☒

+1

Ешоу

φ. 1977. № 7

C₃O₂

KU-17261

1976

13 Б232. Двухмерный ангармонический осциллятор.
Деформационное колебание групп CCC в молекуле
 C_3O_2 . Duckett J. A., Mills I. M., Robiette A. G.
The two-dimensional anharmonic oscillator. The CCC
bending mode of C_3O_2 . «J. Mol. Spectrosc.», 1976, 63,
№ 2, 249—264 (англ.)

Выполнен теор. анализ лит. данных по колебательно-
му и вращательному спектру молекулы C_3O_2 . Потен-
циальная функция для колебания v_7 группы CCC
выбрана в виде $v = A\Theta^2 + B\Theta^4$. По эксперим. данным для
частот колебательных переходов и для зависимости вра-
щательной постоянной B_v и постоянной I -удвоения q_v
от колебательного состояния вычислены значения коэф.
потенциала: $A = -261,4$, $B = 730,1 \text{ см}^{-1}$ (основное состо-
яние); $A = -381,1$, $B = 726,7 \text{ см}^{-1}$ (первое возбужденное
состояние колебания v_4); $A = -36,1$, $B = 727,8 \text{ см}^{-1}$
(первое возбужденное состояние колебания v_2); барьер
при $\Theta = 0$ для этих состояний составляет $23, 50$ и 1 см^{-1} ,
соответственно.

А. М. Пындык

li, 17

X. 1977. № 13

C₃O₂

#CS-17261

1976

85: 169264c The two-dimensional anharmonic oscillator.
The CCC bending mode of carbon suboxide. Duckett, J. A.;
Mills, I. M.; Robiette, A. G. (Dep. Chem., Univ. Reading,
Reading, Engl.). *J. Mol. Spectrosc.* 1976, 63(2), 249-61 (Eng).
Newly obstd. data on the rotational consts. of C₃O₂ in excited
vibrational states of the low-waveno. bending vibration ν_7 were
successfully interpreted in terms of the 2-dimensional anharmonic
oscillator wave functions assocd. with this vibration. By
combining these results with published ir and Raman spectra,
the vibrational assignment was extended and a refined bending
potential for ν_7 was derived: this has a min. at a bending angle of
about 24° at the central C atom, with an energy max. at the
linear configuration some 23 cm⁻¹ above the min. From similar
data on the combination and hot bands of ν_7 with ν_1 (1587 cm⁻¹)
and ν_2 (786 cm⁻¹), the effective ν_7 bending potential was also
detd. in the 1-quantum excited states of ν_1 and ν_2 . The effective
 ν_7 potential shows significant changes from the ground vibrational
state; the central hump in the ν_7 potential surface is increased to
~50 cm⁻¹ in the $\nu_1 = 1$ state, and decreased to about 1 cm⁻¹ in
the $\nu_2 = 1$ state. Vibrational assignments are suggested for most
obstd. bands in the ir and Raman spectra of C₃O₂.

M/N

C.J., 1976.

§ 52. n 22

C₃O₂

86: 23959j Carbon suboxide as a quasilinear molecule with
a large amplitude bending mode. Determination of the
molecular constants and the ν_7 potential function. Weber,
W. H.; Ford, G. W. (Phys. Dep., Ford Mot. Co., Dearborn,
Mich.). *J. Mol. Spectrosc.* 1976, 63(3), 445-58 (Eng).
The model of a quasilinear mol. with a large amplitude bending
mode is used to treat C₃O₂. The Hamiltonian operator, including
the rotation-vibration interaction, is derived allowing only a
single vibrational degree of freedom, i.e., the ν_7 mode corresponding
to the bending at the central C atom. The C = C = O angle is
constrained to be 180°. With this model the rotational energy
levels and, thus, the mol. consts. can be computed for any ν_7
level once the ν_7 potential is specified. The *l*-doubling is
included only for π states. The model contains 3 adjustable
parameters: the rotational const. in the linear configuration and
2 terms in the potential function, and these are detd. by fitting 3
exptl. quantities: the rotational consts. in and the sepn. between
the ground and $2\nu_7^0$ states. The resulting ν_7 potential has a 30.56
 cm^{-1} barrier at $\alpha = 0$ with a min. at $\alpha = 11.04^\circ$, where 2α is the
angular deviation from linearity. The model gives a good fit to
the $2\nu_7$ Raman data and to the rotational and centrifugal
distortion consts. in all of the $n\nu_7^1$ states which were analyzed. A
similar anal. is applied with equal success to the states with ν_4 ,
the asymmetric C = C stretch mode at 1587 cm^{-1} , simultaneously
excited with a ν_7 mode. The potential in this case has a 56.58
 cm^{-1} barrier at $\alpha = 0$ with a min. at $\alpha = 13.02^\circ$.

File - 197088

1976

See, e.g.,

C.A. 1977 26: 44

$C_3 O_2$

*4-17088

1976

7Д220. Недоокись углерода как квазилинейная молекула с большой амплитудой деформационного колебания. Определение молекулярных постоянных и потенциальной функции для колебания v_7 . Weber W. H., Ford G. W. Carbon suboxide as a quasilinear molecule with a large amplitude bending mode. Determination of the molecular constants and the potential function. «J. Mol. Spectrosc.», 1976, 63, № 3, 445—458 (англ.)

Модель с одним колебанием большой амплитуды применена для расчета энергии колебательно-вращательных уровней молекулы C_3O_2 . Потенц. ф-ция для колебания v_7 (деформационное колебание группы $C=C=C$) выбрана в виде $V=V_2\sin^2\alpha+V_4\sin^4\alpha$. Модель содержит всего 3 параметра (вращательная постоянная B и параметры V_2 и V_4 , см^{-1}), значения которых вычислены из эксперим. данных по ИК- и КР-спектрам: $B_0=0,0735$, $V_2=-1666$, $V_4=2270$; барьер при $\alpha=0$ составляет $30,5 \text{ см}^{-1}$ для основного состояния и $56,6 \text{ см}^{-1}$ для состояния v_4+v_7 .

М. Р. Алиев

Лев

Q. 1977 N 7

* IS - 12429

1976

C₃O₂

16 Б247. Анализ спектра ν_4 полосы $^{12}\text{C}_3^{16}\text{O}_2$ при помощи перестраиваемого диодного лазера. Weberg W. H., Maker P. D., Peters C. W. Analysis of tunable diode laser spectra of the ν_4 band of $^{12}\text{C}_3^{16}\text{O}_2$. «J. Chem. Phys.», 1976, 64, № 5, 2149—2158 (англ.)

Измерен спектр ν_4 основной полосы C₃O₂ в области частот от 1565 до 1610 см⁻¹ при помощи непрерывно перестраиваемого диодного лазера. Использовавшийся лазер на основе PbTe диода позволял производить непрерывную перестройку в пределах одной моды ~ 2 см⁻¹ с теор. разрешающей способностью $\sim 10^{-4}$ см⁻¹. Спектр записан с разрешением $\sim 0,0024$ см⁻¹, к-рое ограничивалось допплеровским уширением линий. Идентифицировано свыше 300 линий и определены вращательные постоянные для основной и пяти различных горячих полос ν_4 $^{12}\text{C}_3^{16}\text{O}_2$. Для основной полосы молек. постоянные в см⁻¹: $\nu_0 = 1587,390 \pm 0,002$, $B'' = 0,075573 \pm 0,00002$, $B' - B'' = (6,450 \pm 0,04) \cdot 10^{-4}$, $D'' = (4,183 \pm 0,4) \cdot 10^{-8}$, $D' - D'' = (1,928 \pm 0,3) \cdot 10^{-8}$, $H'' = (0,616 \pm 0,1) \cdot 10^{-12}$, $H' - H'' = (0,192 \pm 0,1) \cdot 10^{-12}$. Полученные результаты согласуются с лит. данными.

С. Н. Мурзин

1. 11. 1976

1976
N 16

Б90-40320-08
ЛНК-М11

X 48 - 12429

1976

C₃O₂

8 Д481. Анализ полосы ν_4 $^{12}\text{C}_3^{16}\text{O}_2$, зарегистрированной с помощью диодного лазера. Weberg W. H., Mackett P. D., Peters C. W. Analysis of tunable diode laser spectra of the ν_4 band of $^{12}\text{C}_3^{16}\text{O}_2$. «J. Chem. Phys.», 1976, 64, № 5, 2149—2158 (англ.)

С помощью фурье-спектрометра и перестраиваемого диодного лазера получены спектры ИК-поглощения $^{12}\text{C}_3^{16}\text{O}_2$ в газовой фазе в области 1610—1530 см⁻¹. Увеличение интенсивности НЧ-части спектра, полученного на фурье-спектрометре, при понижении т-ры до 193° К связано с уменьшением вклада горячих переходов с возбужденных уровней ν_7 . Лазерные спектры получены в трех интервалах и перекрывают 70% области 1565—1600 см⁻¹. Абс. калибровка частот в этих спектрах выполнена по линиям H_2O и NH_3 , относитель-

1976-0408-XV

φ. 1976. № 8

ная — с помощью эталона Фабри—Перо. Разрешение $\sim 0,0024$ ограничивалось доплеровской шириной линий. Приведены полученные спектры, частоты наблюденных линий, определенные с точностью 10^{-3} см $^{-1}$, и их отнесение к основной полосе v_4 , двум компонентам полосы $v_4 + v_7 - v_7$ и трем компонентам полосы $v_4 + 2v_7 - 2v_7$. По наблюденным частотам вычислены колебательная частота основного перехода, вращательные постоянные B , D и H и их изменения при колебательном возбуждении. Отмечена незначительная величина изменения B при переходах между Δ -состояниями.

Библ. 30.

C₃O₂

15-12429

1976

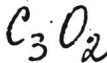
AP - 7070-XIV

84: 128347v Analysis of tunable diode laser spectra of the ν_4 band of carbon oxide (¹²C₃¹⁶O₂). Weber, W. H.; Maker, P. D.; Peters, C. W. (Eng. Res. Staff, Ford Mot. Co., Dearborn, Mich.). *J. Chem. Phys.* 1976, 64(5), 2149-58 (Eng). Current-tunable thin-film PbTe diode lasers were used to obtain Doppler-limited resoln. of the ν_4 asymmetric stretch band of C₃O₂ in the region 1565-1600 cm⁻¹. Roughly 70% of the interval was covered using different modes of 3 lasers, each mode giving a tuning range of 1-3 cm⁻¹. Abs. spectral calibration was obtained from NH₃ and H₂O, together with the channel spectrum of a 4-cm Ge etalon recorded simultaneously using a double beam technique. Rotational consts. were detd. for the ν_4 fundamental band and 5 different hot bands assocd. with the thermally excited low frequency bending mode ν_7 . The band origin for the ground state transition is 1587.390 \pm 0.002 cm⁻¹ and the ν_7 hot bands are shifted progressively to lower frequency. The systematic shift of the hot bands was verified independently with temp. difference spectra from a Fourier transform spectrometer.

C.A. 1976 84 N 18

15 Б71. Параметр для количественной оценки молекулярной квазилинейности. Yamada Koichi, Winnewisser Manfred. A parameter to quantify molecular quasilinearity. «Z. Naturforsch.», 1976, 31a, № 2, 139—144 (англ.)

1976



Параметр для количественной оценки
квазилинейности молекул.

X1976
N15

Введен параметр γ_0 , количественно характеризующий квазилинейность молекул. Для произвольной трехатомной молекулы $\gamma_0 = 1 - 4\gamma$, где γ — отношение энергии низшего состояния с K (или l), равным 1 к энергии низшего возбужденного состояния с K (или l), равным 0, причем обе энергии отсчитываются от энергии основного состояния. Параметр γ_0 возникает естественным образом при рассмотрении корреляц. диаграммы «линейная молекула — нелинейная молекула». Он принимает значение +1 для нелинейных молекул и —1 для линейных. Изменение γ_0 от +1 до —1 соответствует переходу от вращательной степени свободы для нелинейной молекулы к колебательной для линейной. Для более чем 40 молекул вычислены значения γ . Показано, что наиболее типичными квазилинейными молекулами являются C_3O_2 , HNCS, HCNO. Проведен ряд модельных расчетов с целью связать значения параметра γ_0 с формой потенциала. В кач-ве модельного использован гармонич. потенциал, возмущенный барьёром гауссовой формы.

Б. И. Жилинский



+2

C₃O₂

[* 18-12939]

1977

Mills T. M.

(now. nob)

Faraday discuss. 1977
N62, 1-19. (discuss 47-58)

C_3O_2

BP-XIV-9453

1977

C_3S_2

87: 206768m Kinetic constants method for the vibrational analysis of carbon suboxide and carbon subsulfide molecules. Mohan, S. (Dep. Phys., Pres. Coll., Madras, India). *Proc. Indian Acad. Sci., Sect. A* 1977, 86A(3), 299-308 (Eng). The kinetic consts. method was applied to C_3O_2 and C_3S_2 to evaluate the mol. consts., the generalized mean square amplitudes of variation, the shrinkage consts., the Coriolis coupling consts., and the centrifugal distortion consts. by using recent vibrational frequencies. The mol. consts. evaluated by this procedure generally agree with obsd. and calcd. values. The Coriolis coupling consts. and the centrifugal distortion consts. for these mols. are reported for the 1st time.

M.N.

(+) □



C.A., 1977, 87, 126

ВФ-ХIV-9453

1974

C_3O_2

C_3S_2

дин;
стаб. пост.



2. 1978, NY

14 Б206. Анализ колебаний молекул субокиси углерода и субсульфида углерода методом кинетических постоянных. Mohan S. Kinetic constants method for the vibrational analysis of carbon suboxide and carbon subsulphide molecules. «Proc. Indian Acad. Sci.», 1977, A86, № 3, 299—308 (англ.)

Метод кинетич. постоянных применен к расчету молек. постоянных молекул C_3O_2 и C_3S_2 . Получен новый набор силовых постоянных (в 10^6 дин/см): для C_3O_2 $f_d = 13,0218$, $f_r = 18,8971$, $f_{dd} = -1,7144$, $f_{rr} = 4,1934$, $f_{rd} = 7,4400$, $f'_{rd} = -1,9595$, $f_\alpha = 0,4109$, $f_\beta = 0,0260$, $f_{\alpha\alpha} = -0,0748$, $f_{\alpha\beta} = 0,0153$; для C_3S_2 $f_d = 9,8303$, $f_r = 15,2022$, $f_{dd} = -3,7367$, $f_{rr} = 2,5783$, $f_{rd} = -7,77$, $f'_{rd} = -2,7170$, $f_\alpha = 0,3429$, $f_\beta = 0,0827$, $f_{\alpha\alpha} = -0,0144$, $f_{\alpha\beta} = 0,0514$. Рассчитаны также квадратичные амплитуды колебаний, величины эффекта сокращения, постоянные кориолиса взаимодействия и постоянные центробежного растяжения. Во всех случаях получено хорошее согласие с имеющимися эксперим. величинами.

Л. В. Серебренников

C_3O_2

регистр 5441

1974

2 Д365. ИК-спектр C_3O_2 . Взаимодействие между колебанием v_7 и колебаниями v_2 и v_4 . Peters C. W., Weber W. H., Maker P. D. The infrared spectrum of C_3O_2 . The interaction between v_7 and the v_2 and v_4 vibrations. «J. Mol. Spectrosc.», 1977, 66, № 1, 133—149 (англ.)

4.11.

С помощью фурье-спектрометра в области 800—2000 см^{-1} с разрешением 0,04 см^{-1} получены спектры ИК-поглощения C_3O_2 при давлении 0,2 мм рт. ст. в присутствии аргона, уширяющее действие которого использовано для подавления вторичных максимумов интерферограммы. Выполнен анализ спектров в области 6 мк с привлечением данных, полученных на лазерном спектрометре, а также для области 12 мк. В первом случае наблюденные колебательно-вращательные ли-

ф. 1978 № 2

нии отнесены к полосе v_4 , соответствующим ей горячим переходом с возбужденных уровней колебания v_7 до сдвоенного и суммарной полосе v_4+2v_7 , с соответствующими горячими переходами. Приведены частоты линий. Спектры в области 8 мк связаны с комбинационными полосами $v_2 \pm v_7$. В суммарных полосах, включая горячие переходы, наблюдена серия Q-ветвей, отсутствующая в разностных полосах. Определены вращательные постоянные молекулы в возбужденных состояниях v_7 , определены энергии уровней этих колебаний и восстановлена потенц. ф-ция соответствующей деформационной координаты. В возбужденном состоянии $v_2=1$ минимум потенциала соответствует изгибу $4,9^\circ$ с барьером 12 см^{-1} . Библ. 15.

C₃O₂

07/1977 5441

1977

$\nu_7 : \nu_2, \nu_4$

87: 60246r The infrared spectrum of carbon suboxide. The interaction between ν_7 and the ν_2 and ν_4 vibrations. Peters, C. W.; Weber, W. H.; Maker, P. D. (Phys. Dep., Univ. Michigan, Ann Arbor, Mich.). *J. Mol. Spectrosc.* 1977, 66(1), 133-49 (Eng). The $3\nu_7$, $3\nu_7$, and $4\nu_7$ hot bands of the ν_4 fundamental of C₃O₂ in the 1580 cm⁻¹ region were analyzed from tunable diode laser spectra and the ground state to $\nu_4 + 2\nu_7$ band at 1644 cm⁻¹ from Fourier transform spectra (FTS). The mol. consts. for all of the ν_4 1 \leftarrow 0 bands as well as the intensity of the $\nu_4 + 2\nu_7$ sum band relative to the ν_4 fundamental were in agreement with the predictions of the model of W. H. Weber and G. W. Ford (1976). FTS spectra at 0.05 cm⁻¹ resoln. were obtained of the sum and difference bands of ν_2 with ν_7 in the 750, 900 cm⁻¹ region. Sharp Q branches occur for each ν_7 state in the sum bands, but only a no. of R branch bandheads and no recognizable Q branches in the difference bands. Assignments of the sum band Q branches through $\nu_7 = 6$ were made and mol. consts. were detd. for the $\nu_2 + \nu_7 \leftarrow 0$ transition at 819.7 cm⁻¹. The ν_7 potential function in the $\nu_2 = 1$ state has a 1.2 cm⁻¹ barrier with a min. at $\alpha = 4.9^\circ$, where 2α is the angular deviation from linearity. The Q-branch positions predicted from the calcd. energy level fit those obsd. within several cm⁻¹.

C. A. 1977

87 v8

C_3O_2

Опись 5441

1977

1 Б207. Инфракрасный спектр C_3O_2 . Взаимодействие колебания v_7 с v_2 и v_4 . Peters C. W., Weber W. H., Maker P. D. The infrared spectrum of C_3O_2 . The interaction between v_7 and the v_2 and v_4 vibrations. «J. Mol. Spectrosc.», 1977, 66, № 1, 133—149 (англ.)

С использованием перестраиваемого диодного лазера изучены полосы горячих переходов в области полосы основного колебания v_4 C_3O_2 в области 1580 см^{-1} с участием частот $3v_7^1$, $3v_7^3$ и $4v_7^0$. В области 1644 см^{-1} получены основные состояния до $v_4+2v_7^0$ с использованием техники фурье-спектроскопии. Молек. постоянные для всех полос v_4 типа $1\leftarrow 0$ и интенсивность полосы $v_4+2v_7^0$ по отношению к основной полосе v_4 хорошо согласуются с предсказанными на основе модели Вебера и Форда. В области $750—900 \text{ см}^{-1}$ методом спектроскопии Фурье с разрешением $0,05 \text{ см}^{-1}$ получены полосы суммарных и разностных переходов v_2 с v_7 .

24.1978 N 1

Для полос суммарных частот каждого состояния v_7 наблюдались острые Q -ветви и только несколько R -ветвей. Для разностных полос не обнаружено отчетливых Q -ветвей. Проведено отнесение Q -ветвей полос суммарных переходов вплоть до $v_7=6$. Определены молек. постоянные для перехода $v_2+v_7 \leftarrow 0$ при $819,7 \text{ см}^{-1}$. Для потенциальной ф-ции v_7 в состоянии $v_2=1$ определен барьер, равный $1,2 \text{ см}^{-1}$ с минимумом при угле $\alpha=4,9^\circ$, где 2α — угол, характеризующий отклонение молекулы от линейной структуры. Эксперим. значения измеренных частот сопоставлены с теоретически вычисленными.

С. Б.

C_3O_2

nomine 5792

1977

matrice
I.

Shimanouchi T.

J.Phys. Chem. and Ref. Data,
1977, 6, 993-II02.

отмечено 5429

1977

C₃O₂

12 Д441. Спектры Q-ветвей полосы $\nu_2 + \nu_7$ молекулы C₃O₂ в области 12 мк с высоким разрешением. Webet W. H., Aldridge J. P., Flicker H., Negerson N. G., Filip H., Reisfeld M. J. High-resolution Q-branch spectra of the $\nu_2 + \nu_7$ bands of C₃O₂ in the 12 μm region. «J. Mol. Spectrosc.», 1977, 65, № 3, 474—481 (англ.)

С использованием перестраиваемого диодного лазера на Pb_{0,96}Sn_{0,04}Se (ширина линии генерации 10^{-4} см⁻¹) исследована структура Q-ветвей полосы $\nu_2 + \nu_7$ и соответствующих «горячих» полос молекулы C₃O₂ в области 820—850 см⁻¹ при давлениях 1—3 мм рт. ст. Идентифицированы линии Q-ветвей различных *l*-компонент полос $\nu_2 + \nu_7$ и $\nu_2 + 2\nu_7 - \nu_7$. Определены значения разностей вращательной и квартичной и секстичной центробежных постоянных основного и возбужденных состояний. Для константы *l*-удвоения получены значения $4,16 \cdot 10^{-4}$ ($\nu_7 = 1$) и $2,96 \cdot 10^{-4}$ см⁻¹ ($\nu_2 = \nu_7 = 1$).

М. Р. Алиев

9. 1977, N12

C₃O₂

Одесса 5429

1977

24.02.88. Спектры высокого разрешения Q-ветвей полос $\nu_2 + \nu_7$ C₃O₂ в области 12 мкм. Weber W. H., Aldridge J. P., Flicker H., Nergeson N. G., Filip H., Reisfeld M. J. High-resolution Q-branch spectra of the $\nu_2 + \nu_7$ bands of C₃O₂ in the 12 μm region. «J. Mol. Spectrosc.», 1977, 65, № 3, 474—481 (англ.)

Исследована область 820—850 см⁻¹ спектра ИК-поглощения C₃O₂, где поглощение определяется Q-ветвями составных полос $\nu_2 + \nu_7$. Спектры измеряли при помощи перестраиваемых лазерных диодов на основе Pb_{0,96}Sm_{0,04}Se, ширина линии генерации ~10⁻⁴ см⁻¹, область непрерывной перестройки 1—2 см⁻¹, разрешение на спектре 2,4·10⁻³ см⁻¹. Рассчитаны значения молек. постоянных для основного состояния (819,69 см⁻¹) и первых двух «горячих» полос. Определены константы l-удвоения состояний ν_7^1 и $\nu_2 + \nu_7^1$. Сдвиг «горячих» полос в коротковолновую область указывает на то, что потенциал, определяющий частоту колебания ν_7 , в возбужденном состоянии ближе к гармоническому, чем в основном состоянии. А. В. Бобров

X. 1977

N 24

C₃O₂

ommited 5429

1977

87: 13787h High-resolution Q-branch spectra of the $\nu_2 + \nu_7$ bands of carbon suboxide in the 12 μm region. Weber, W. H.; Aldridge, J. P.; Flicker, H.; Nereson, N. G.; Filip, H.; Reisfeld, M. J. (Phys. Dep., Ford Mot. Co., Dearborn, Mich.). *J. Mol. Spectrosc.* 1977, 65(3), 474-81 (Eng). Tunable diode laser spectra are obtained of several Q branches in the $\nu_2 + \nu_7$ sum bands at $^{12}\text{C}^{16}\text{O}_2$ at 820-850 cm^{-1} . Mol. consts. are detd. for the ground-state transition at 819.69 cm^{-1} and for the 1st 2 hot bands, which are shifted to higher frequency. The *l*-doubling const. in the ν_7^1 state was $4.16 \pm 0.06 \times 10^4 \text{ cm}^{-1}$, and in the $\nu_2 + \nu_7^1$ state $2.96 \pm 0.04 \times 10^4 \text{ cm}^{-1}$.

M.N.

L.A. 1977 87 v2

C_3O_2 (u.n.)

1978

Brodersen S.

✓

Proc. Int. Conf. Raman Spectrosc.,
6th 1978, 1, 215-18.

High-resolution rovibrational
Raman spectroscopy.

CA (1980, 93, W2, 16025+)



1978
C₃O₂
22 Б221. Определение молекулярной симметрии квазилинейных молекул. Durg J. R., Kalasinsky V. F. Determination of the molecular symmetry of quasi-linear molecules. «J. Mol. Struct.», 1978, 46, 1—28 (англ.)

Измерены низкочастотные спектры КР и спектры поглощения в длинноволновой ИК-области ряда «квазилинейных» молекул: C₃O₂ (I), (SiH₃)₂O (II) и Д₃—II, SiH₃NCS (III) и Д₃—~~III~~, SiH₃NCO (IV) и др. в газ. фазе и идентифицированы полосы скелетных деф. кол. На основании исследования обусловленной горячими переходами тонкой структуры Q-ветви низкочастотного деф. кол. для каждой молекулы определена потенциальная функция деф. кол. типа $V = Aq^4 + Bq^2$, построена профиль потенциальной поверхности, найдена высота барьера и рассчитана равновесная величина соотв-щего валентного угла. Показано, что молекула I линейна в основном колебательном состоянии, II и IV нелинейны, а скелетное деф. кол. III является почти гармоническим. Сделан вывод, что предложенный метод исследования может быть успешно применен для определения строения молекул подобного типа и объяснения разногласий между данными электронно-дифракц. и спектроскопич. анализа.

М. Комарова

Синтез
исследование
структурный

Б

Х-1978, № 22

X-1978-9020

$\text{C}_3^2 \text{O}_2$ 4371 Durig J.R., et al.

1978

$(\text{SiH}_3)_2 \text{O}$

J. Mol. Struct., 1978, 46, 1-28
XIV-9030

SiH_3NCS

Determination of the molecular symmetry of quasi-linear molecules. «J. Mol. Struct.», 1978, 46, 1-28 (англ.)

SiH_3NCO

В области $0-150 \text{ cm}^{-1}$ получены спектры комб. рас. недоокси углерода, дисилоксана, дисилоксана- d_6 и силилизоцианата. Наблюденные полосы отнесены к $2v_7=120 \text{ cm}^{-1}$; $2v_{11}=76$ и 67 cm^{-1} и $2v_{10}=63 \text{ cm}^{-1}$. В результате анализа вращательной структуры определены и интерпретированы 26, 16, 16 и 49 вращательных уровней энергии. Теоретич. исследование деф. кол. квазилинейных молекул выполнено в предположении, что их можно рассматривать отдельно от других колебаний. Потенц. ф-ция зависит от двух вырожденческих безразмерных координат $q_1=q\cos\varphi$ и $q_2=q\sin\varphi$, может иметь один или два минимума и записывается в виде $V=Aq^4+Bq^2$. Постоянные A и B равны (cm^{-1})

15

Ф.1949.1

0,728; 1,07; 0,973 и 0,858 и —6,40; —21,9; —19,2 и —12,5. Углы, характеризующие отклонение от линейности, равны $10,2^\circ$; 149° и $>152^\circ$. Получены спектр комб. рас. и далекий ИК-спектр силилизотиоцианата, не имеющий вращательной структуры. Частота деф. кол. равна 66 см^{-1} , а частота обертона — 131 см^{-1} . Ангармоничность отсутствует, и скелет Si—Ni—C является линейным.

М. А. Ковнер

МН₂
пр

C_3O_2

omega 6347

1978.

script,
configur.,
gross.,
script

Ginsberg A. P., et al.

J. Chem. Phys., 1978,
68 (11), 5231-43

1978

C₃O₂

374

89: 823. i.c Diode laser analyses of the $3\nu_7^{1\prime\prime} + \nu_2 \leftarrow 2\nu_7^0$ and $4\nu_7^0 + \nu_2 \leftarrow 3\nu_7^{1\prime\prime}$ Q branches of carbon suboxide. Jennings, D. E.; Hillman, J. J.; Weber, W. H. (Goddard Space Flight Cent., NASA, Greenbelt, Md.). *Opt. Lett.* 1978, 2(6), 157-9 (Eng). Doppler-resoln.-limited diode-laser spectra were obtained of 2 Q branches in the $\nu_2 + \nu_7$ hot-band series of C₃O₂: the $3\nu_7^{1\prime\prime} + \nu_2 \leftarrow 2\nu_7^0$ transition at 849.81 cm⁻¹ and the $4\nu_7^0 + \nu_2 \leftarrow 3\nu_7^{1\prime\prime}$ transition at 865.85 cm⁻¹. Anal. of the latter indicates an anomalous neg. centrifugal distortion term for the $4\nu_7^0 + \nu_2$ state, that leads to a band head in the Q branch. Obsd. and calcd. mol. consts. are compared for 8 transitions in the ν_2 region of C₃O₂.

M. N.

C.A.1978.29 N10

C_3O_2

SW-3292

Mr. N.

89: 171422f The ν_2 , $\nu_2 + 2\nu_7^0$, and $2\nu_7^0$ Raman band-accumulations of carbon suboxide. Lolck, Jens Erik; Brodersen, Svend (Dep. Chem., Aarhus Univ., Aarhus, Den.). *J. Mol. Spectrosc.* 1978, 72(3), 445-62 (Eng). The $\nu_2, \nu_2 + 2\nu_7^0$ Raman band-accumulations of CaO_2 were photographed with a resoln. of 0.25 cm^{-1} , using 50 torr sample pressure without serious polynm. Each of the 3 bands is accompanied by series of hot bands, as $\nu_7^0 + \nu_2 + \nu_2 + \nu_7^0$, due to the extremely low, highly anharmonic ν_7^0 fundamental vibration, forming a complex band-accumulation. The unresolved Q-branches in the ν_2 and $\nu_2 + 2\nu_7^0$ band-accumulations were assigned and utilized, in conjunction with IR and microwave data, to det. the ν_7 energy levels in the ground state and in the ν_2

state. The Q-branch of the ν_2 fundamental band was resolved and analyzed, yielding $\nu_2 = 787.72 \pm 0.05 \text{ cm}^{-1}$. The results obtained are in excellent agreement with theor. predictions by W. H. Weber (1977).

C. A.: 1948, 29, N20

C₃O₂ 1978

9 Б213. Скопления полос ν_2 , $\nu_2+2\nu_7^0$ и $2\nu_7^0$ комбинационного рассеяния света C_3O_2 . L o l c k J e n s - E r i k, Brodersen S v e n d. The ν_2 , $\nu_2+2\nu_7^0$, and $2\nu_7^0$ Raman band-accumulations of C_3O_2 . «J. Mol. Spectrosc.», 1978, 72, № 3, 445—462 (англ.)

Декабрь 1978 г.

Измерен в области частот от 50 до 1010 см⁻¹ с разрешением 0,25 см⁻¹ спектр КР C_3O_2 вблизи колебательных полос ν_2 , $\nu_2+2\nu_7^0$ и $2\nu_7^0$. В дополнение к этим полосам найдены также колебательные полосы КР ν_1 , $\nu_2-2\nu_7^0$, ν_5^1 , $2\nu_5^0$ и $2\nu_6^0$. На полосы ν_2 , $\nu_2+2\nu_7^0$ и $2\nu_7^0$ наложены серии горячих полос, связанных с низким по частоте высокоангармоничным основным колебанием ν_7 . Из анализа хорошо разрешенной структуры полосы ν_2 определена частота $\nu_2=787,72(3)$ см⁻¹ и разности вращательных постоянных $\Delta B=-8,40(15) \cdot 10^{-4}$ см⁻¹ и постоянных центробежного искажения $\Delta D=-1,75(20) \cdot 10^{-8}$ см⁻¹. Полученные данные находятся в хорошем согласии с величинами, недавно вычисленными на основе теор. представлений.

С. Н. Мурzin

ХС.1649, № 9

1978

6 Д456. Сложные полосы комбинационного рас-
сеяния v_2 , v_2+2v_7 , и $2v_7C_3O_2$. Lolck Jens-Erik,
Brodersen Svend. The v_2 , v_2+2v_7 , and $2v_7$ Ra-
man band-accumulations of C_3O_2 . «J. Mol. Spectrosc.»,
1978, 72, № 3, 445—462 (англ.)

С использованием фотографич. регистрации получе-
ны спектры комб. рас. газообразной C_2O_3 в области
колебаний v_2 и $2v_7$ с разрешением $0,25 \text{ см}^{-1}$. Иссле-
дования проведены при оптимальном с точки зрения
величины сигнала и отсутствия полимеризации давл.
50 мм рт. ст. Приведены спектры и частоты наблю-
денных компонент сложной структуры. В области v_2
спектры связаны с комбинацией этого колебания с пе-
реходами между уровнями колебания v_7 при v_7 , l_7 от
0 до 11 и изменением $\Delta v_7=0,2$. В области $50-180 \text{ см}^{-1}$
структура полосы связана с горячими переходами, ко-

M. N; Dc

ХХХ-Р220

Ф.1979, № 6

лебания $2\nu_7$, такого же происхождения. Для интерпретации спектра использован гамильтониан, включающий вращательное движение и колебания ν_7 , одновременно. Из анализа колебательной и вращательной структур с использованием данных по микроволни. и ИК-спектрам найдены колебательные частоты переходов и изменения вращательных постоянных B и D при колебательном возбуждении. Величины ΔB и ΔD хорошо согласуются с теоретич. предсказаниями. Рассчитаны энергетич. уровни колебания ν_7 в основном состоянии и при возбуждении ν_2 . Библ. 20.

М. Тонков

отмече 6730

1978

362

21 Б55. Изоцианат циана и дициановый эфир: неэмпирическое изучение геометрий и электронных структур. Rosenberg Heidi, Olsen John F., Howell James M. Cyanogen isocyanate and di-cyanoether: ab initio studies of geometries and electronic structures. «J. Mol. Struct.», 1978, 48, № 2, 249—258 (англ.)

20.01.1978.

ДЕ

Б

Х. 1978, № 2

Выполнены неэмпирич. расчеты в миним. гауссовом базисе ОСТ-ЗГФ молекулы изоцианата циана NCNCO (I) и ее изомера — дицианового эфира NCOCN (II), а также изоэлектронной молекулы недокси углерода C_3O_2 (III). Проведена полная оптимизация геометрий I—III в предположении планарности этих молекул. Согласно расчету, равновесная конфигурация III линейна, а I — W-образна с длинами связей $R(N-C) = 1,16 \text{ \AA}$, $R(C-N') = 1,384 \text{ \AA}$, $R(N'-C') = 1,256 \text{ \AA}$, $R(C-O) = 1,176 \text{ \AA}$ и углами $NCN' = 176^\circ, 1$, $CN'C' = 123^\circ$, $N'C'O = 168^\circ, 7$. Барьер инверсии центрального азота составляет ~ 5 ккал/моль, причем инверсия сильно связана с изгибом фрагментов OCN и NCN. Расчетная равновесная конфигурация II аналогична таковой I и

характеризуется параметрами $R(N-C) = 1,159 \text{ \AA}$, $R(C-O) = 1,366 \text{ \AA}$, $\angle OCN = 175^\circ 7$, $\angle COC = 111^\circ 8$. Однако в отличие от довольно гибкой молекулы I II — весьма жесткая частица: барьер инверсии кислорода найден равным ≈ 50 ккал/моль, хотя, по всей вероятности, эта цифра преувеличена главным образом из-за дефектов, присущих миним. базису. Энергия изомеризации $\Delta E = E_{II} - E_I$ найдена равной ~ 7 ккал/моль. Приводятся орбитальные энергии (ОЭ) и результаты анализа заполненности по Малликену для равновесной и линейной конфигураций I и II. Высшей занятой MO как I, так и II является MO π-типа с ОЭ 9,4 эв (I) и 11,0 эв (II). Расчетные дипольные моменты молекул I и II в их равновесных конфигурациях равны соотв. 2,38 и 1,42 D.

В. Я. Беспалов

ия
ленно

$C_3O_2(n)$ отмеч 4446 1978

сифуат. ракет.,
длина св.в.
метод неархес.
дифракции

Walford F., et al.

Mol. Phys., 1978,
36 (6), 1581-1600.

$C_3 O_2$

1979

Hebink L, et al.

Jnt. J. Mass. Spectrom. and
Ion Phys. 1979, 32, v2, 93-6.

A.P.

acc. N2-111

отпись 8712

1979

$C_3 O_2$

6 Б204. Микроволновое наблюдение колебательно-вращательного спектра неполярной молекулы C_3O_2 . Вигенин А. В., Кагуакин Е. Н., Кирпов А. Ф., Шапин С. М. Microwave observation of the vibration-rotation spectrum of the nonpolar C_3O_2 molecule. «J. Mol. Spectrosc.», 1979, 78, № 1, 181—184 (англ.)

На МВ-спектрометре с акустич. детектором измерен в области частот 545—595 ГГц спектр колебательно-вращательной полосы $00000^00^01^1 - 00000^00^00^0$ молекулы C_3O_2 в газовой фазе. Выполнено отнесение для линий Q- и R-ветвей перехода ν_7 . Относит. точность измерения частот равна приблизительно 10^{-7} . Анализ вращательной структуры спектра выполнен с учетом и центробежного искажения. Получены след. значения молекулярных постоянных $\nu_0 - B' - D' - H = 545007,524$ (32) МГц, $B' - B'' + 2D' + 3H' = 28,55016$ (26) МГц, $D' - D'' + 3H' = -27,54$ (58) Гц, $H - H'' = -0,00649$ (37) Гц. С. Н. Мурзин

XIV — 9709

МНР
регистрируется

2.1980.№6

Omniscia

8712

1979

C₃O₂

67.17

- 91: 114892b Microwave observation of the vibration-rotation spectrum of the nonpolar carbon suboxide (C₃O₂) molecule.
Burenin, A. V.; Karyakin, E. N.; Krupnov, A. F.; Shapin, S. M. (Inst. Appl. Phys., Gorky, USSR). *J. Mol. Spectrosc.* 1979, 78(1), 181-4 (Eng). The vibration-rotation band 0000000011--0000000000 of C₃O₂ was directly obsd. for the 1st time in the microwave spectrum (545-595 GHz) studied by using a submm microwave spectrometer with a backward-wave oscillator and an acoustic detector. The spectrum was recorded at room temp. and at a pressure in the absorbing cell of \approx 1 torr. Assignments are given for the Q- and R-branch lines of the transition ν₇. Rotation and centrifuged consts. are given.

X 11/19/79

CA, 1979, 9, N14

1979

СЗ ВЛ

М. Р.

З Д426. Наблюдение колебательно-вращательного спектра неполярной молекулы C_3O_2 в микроволновой области. Microwave observation of the vibration-rotation spectrum of the nonpolar C_3O_2 molecule. Вигенин А. В., Кагуакин Е. Н., Кирпов А. Ф., Шапин С. М. «J. Mol. Spectrosc.», 1979, 78, № 1, 181—184 (англ.)

С помощью радиоспектрометра с лампой обратной волны и акустич. детектором исследован спектр молекулы C_3O_2 в диапазоне 545—595 ГГц. Идентифицированы линии Q-ветви с $J \leq 32$ колебательной полосы деформационного колебания v_7 ($\approx 18 \text{ см}^{-1}$). Определены значения вращательной и центробежных постоянных.

М. Р. Алиев

отмеч 8712

XIV-9209

Ф.1980.13

отмечен 8265

1979

 $C_3 O_2$

1 Д374. Высокоразрешенный ИК-спектр недокиси углерода. $v_4 + 2v_7^0$ и $v_4 + 3v_7^1 - v_7^1$ полосы. High-resolution infrared spectrum of carbon suboxide. The $v_4 + 2v_7^0$ and $v_4 + 3v_7^1 - v_7^1$ bands. Cabana Aldeco, La plante P. Y. «J. Mol. Spectrosc.», 1979, 75, № 3, 440—446 (англ.)

Изучен ИК-спектр полос $v_4 + 2v_7^0 \leftarrow 0$ и $v_4 + 3v_7^1 \leftarrow v_7^1$ газа C_3O_2 , полученный с разрешением $0,018 \text{ см}^{-1}$. Приведена таблица частот зарегистрированных линий. На основании анализа полученных данных определены положения центров указанных полос, найдены врача-
тельные постоянные и постоянные центробежного рас-
тяжения для колебательных уровней $v_4 + 2v_7^0$, $v_4 +$
 $+ 3v_7^{1e}$ и $v_4 + 3v_7^{1g}$. С привлечением литер. данных вы-
числена частота перехода $3v_7^1 \leftarrow 0$, равная $97,22 \text{ см}^{-1}$.
Библ. 11.

Н. Филиппов

 $(\mu, \nu; J)$

ХХХ-10802

9.1980.112

Физика 8265

1979

$C_3 O_2$

24 Б253. Иинфракрасные спектры высокого разрешения субоксида углерода. Полосы $v_4 + 2v_7^0$ и $v_4 + 3v_7^1 - v_7^1$. Cabana Aldee, Lapiante P. Y. High-resolution infrared spectrum of carbon suboxide. The $v_4 + 2v_7^0$ and $v_4 + 3v_7^1 - v_7^1$ bands. «J. Mol. spectrosc.», 1979, 75, № 3, 440—446 (англ.)

Измерены ИК-спектры поглощения молекулы $C_3 O_2$ в области 1691—1630 см^{-1} с высоким разрешением ($0,018 \text{ см}^{-1}$). В области 1644 см^{-1} идентифицирована полоса $v_4 + 2v_7^0$ и проведен ее анализ. Центры полос 1647,64 и 1648,80 см^{-1} отнесены к e - и f -компонентам перехода $v_4 + 3v_7^1 - v_7^1$. Рассчитаны молек. постоянные для каждого состояния. Соответствующие центры полос равны: 1644, 1491(32) см^{-1} для $v_4 + 2v_7^0$, 1654, 9594(68) см^{-1} для $v_4 + 3v_7^1 - v_7^1$ (e) и 1654, 9608(10) для $v_4 + 3v_7^1 - v_7^1$ (f). Из полученного значения для центра полосы $v_4 + 3v_7^1 - v_7^1$ и лит. данных найдено значение v_0 для перехода $3v_7^1 \ll 0$, равное $97,220 \text{ см}^{-1}$. Аналогичный расчет проведен для полосы $2v_7^0$ ($v_0 = 60,716 \text{ см}^{-1}$). Результаты обсуждены в сравнении с лит. данными.

С. Б. Осин

XIII — 9600

ХХХ
24

C₃O₂

8265

1979

91: 11576x High-resolution infrared spectrum of carbon suboxide: the $\nu_4 + 2\nu_7^0$ and $\nu_4 + 3\nu_7^1 - \nu_7^1$ bands. Cabana, Aldee; Laplante, P. Y. (Dep. Chim., Univ. Sherbrooke, Sherbrooke, PQ Can. J1K 2R1). *J. Mol. Spectrosc.* 1979, 75(3), 440-6 (Eng). The IR spectrum of the $\nu_4 + 2\nu_7$ progression of C₃O₂ was recorded with a resoln. of $\sim 0.018\text{ cm}^{-1}$. Two bands of the progression were completely analyzed. The band centers obtained establish, when combined with previously published exptl. results, than $3\nu_7^1$ is 97.22 cm^{-1} above the ground.

XIV - 90800J

c.a. 1979, 91, N2

C_3O_2

smmuc 8324

1979

Kb. next
places

Castro E.A.

E

Int. J. Quant. Chem.,
1979, 15, 355-358.

C₃O₂

(v_i)

XIV-9229

10-16

12 Д355. Некоторые полосы комбинационного рас-
сияния C₃O₂. Some raman bands of C₃O₂. Lolck Jens-
Erik, Brodersen Svend. «J. Mol. Spectrosc.»,
1979, 75, № 2, 234—244 (англ.).

Получены спектры комб. рас. засис углерода C₃O₂
при давл. 50 мм рт. ст. в области колебательных полос
ν₁, ν₅, 2ν₅, 2ν₆ с разрешением 0,2—0,3 см⁻¹. Использо-
вание фотографич. регистрации с экспозициями до
100 ч и периодич. обновлением образца дало возмож-
ность отождествить структуру полос, связанную с при-
сутствием горячих переходов и в ряде случаев выпол-
нить отнесение вращательных переходов, частоты соот-
ветствующих колебательно-вращательных линий приве-
дены. Определены колебательные частоты и некоторые
вращательные постоянные.

М. Тонков

Ф. 1049 Н 12

1970

XIV-9229

C₃O₂

22 Б211. Некоторые полосы комбинационного рас-
сеяния C₃O₂. Lolck J.-E., Brodersen S. Some Ra-
man bands of C₃O₂. «J. Mol. Spectrosc.», 1979, 75, № 2,
234—244 (англ.)

В спектре КР газ. недокиси углерода C₃O₂ с высоким
разрешением (0,2—0,3 см⁻¹) изучены полосы ν₁ (2196,9 ±
±0,1 см⁻¹, ν₅ (580,2 ± 0,5 см⁻¹), 2·ν₅ и 2·ν₆. В области
каждой полосы обнаружено много «горячих» полос,
объясненных высокой ангармоничностью нормального
колебания ν₇. Более детально измерена изученная ранее
полоса ν₂+2ν₆. О. Г. Гаркуша

С. С. 17

Х 1979 № 22

C_3O_2

ommunity 4917.

1979

(I_i)

Nicolaisen F. M.
et al.

J. Mol. Struct., 1979,
52, 154 - 162.

(corr. C_3OS ; ii)

1944

C₃O₂

12 Д375. Температурная зависимость ИК-спектров поглощения с преимущественным акцентом на дальнюю ИК-область. Примеры для C₃O₂ (20—100 см⁻¹) и анилина (20—60 см⁻¹). ~~Nicolaisen Flemming M., Hansen E. Lykke.~~ The temperature dependence of infrared absorption spectra, with special attention to the far-infrared region. Examples for carbon suboxide (20—100 см⁻¹) and aniline (20—60 см⁻¹). «Infrared Phys.», 1979, 19, № 2, 231—241 (англ.)

и. к. ссср

Изложена теория интенсивностей линий ИК-поглощения. Рассмотрена температурная зависимость суммарных интенсивностей полос и интенсивностей линий, соответствующих отдельным переходам. Особое внимание уделено дальней ИК-области, в которой выполняется условие $\hbar\nu \approx kT$, где ν — текущая частота. Общие положения теории применены для анализа температурной зависимости колебательно-вращательных спектров, в частности, для анализа интенсивностей Q-ветвей колебательно-вращательных полос. Библ. 14. Н. Филиппов

Ф.15.49.172

C₃O₂

1979

91: 46821a The temperature dependence of infrared absorption spectra, with special attention to the far-infrared region. Examples for carbon suboxide ($20\text{-}100\text{ cm}^{-1}$) and aniline ($20\text{-}60\text{ cm}^{-1}$). Nicolaisen, Flemming M.; Hansen, E. Lykke (H. C. Orsted Inst., Univ. Copenhagen, Copenhagen, DK-2100 Den.). *Infrared Phys.* 1979, 19(2), 231-41 (Eng). The theory of the intensity of IR absorption lines is summarized. The temp. dependence of individual transitions and integrated band intensities are discussed, with special attention to the far-IR region, and a new integral theorem for pure rotational transitions is presented. Formulas for integrated Q-branch intensities are given, and the influence of temp. and anharmonicity is discussed. Finally the influence of temp. on authentic far-IR spectra of C_3O_2 ($20\text{-}100\text{ cm}^{-1}$) and PhNH_2 ($20\text{-}60\text{ cm}^{-1}$) is presented and discussed.

H.K. Clegg

2.4.1979 G, NG

отмечено 8594

1979

СЗ О₂

2 Д184. Теоретическое изучение фотодиссоциации C₃O₂. A theoretical study on the photodissociation of C₃O₂. Osamura Yoshihiro, Nishimoto Kichisuke, Yamabe Shinichi, Minato Tsutomu. «Theor. chim. acta», 1979, 52, № 4, 257—265 (англ.)

Обобщенным ограниченным методом Хартри-Фока в неэмпирич. приближении рассчитаны основное и ряд нижних возбужденных состояний молекулы C₃O₂. Применялся миним. базис типа СТО-3ГФ. Возбужденные состояния описывались в рамках однократно возбужденных конфигураций. Фотодиссоциация происходит из второго возбужденного состояния Δ_u. Рассчитано сечение потенц. поверхности по пути распада на фрагменты C₂O(³Σ⁻) и CO. Установлено, что фрагментация осуществляется путем изгиба линейной в основном состоянии молекулы.

Е. П. Смирнов

Ф. 1980, № 2

XIV-92410

Данное 8594

1973

$C_3 O_2$

2 Б30. Теоретическое изучение фотодиссоциации
 C_3O_2 . Osamiga Yoshihiro, Nishimoto Kichi-
suKe, Yamabe Shinichi, Minato Tsutomu.
A theoretical study on the photodissociation of C_3O_2 .
«Theor. chim. acta», 1979, 52, № 4, 257—265 (англ.)

Неэмпирическим методом ССП МО ЛКАО в базисе
ОСТ-ЗГФ с частичным учетом взаимодействия одновоз-
бужденных конфигураций рассчитаны сечения потен-

фото -
диссоциации

(P)

Р.1980.№2

XIV-9240

циальной поверхности фотодиссоциации C_3O_2 с образованием C_2O и CO в трех нижних возбужденных состояниях $^3\Sigma_u^+$, $^3\Delta_u$ и $^1\Sigma_u^-$. Показано, что р-ция идет из 2-го возбужденного триплетного состояния $^3\Delta_u$. В ходе р-ции молекула C_3O_2 становится нелинейной, первоначально изменяется угол между связью $C=O$ и связью $C=C$, к-рая разрывается в результате реакции (ϕ), а потом и угол между валентными связями $C=C$ (θ). В равновесной геометрии для состояния $^3\Delta_u$ длина R связи $C=C$, к-рая разрывается в результате реакции, увеличивается до 1,5 Å (в основном состоянии 1,365 Å), $\theta=164^\circ$, $\phi=130^\circ$, в переходном состоянии $R=1,75$ Å, $\theta=128^\circ$, $\phi=125^\circ$. Энергия переходного состояния превышает энергию равновесной конформации для состояния $^3\Delta_u$ на 12 ккал/моль. В результате реакции C_2O образуется в триплетном $^3\Sigma^-$ состоянии и является весьма активным интермедиатом, в частности, $C_2O(^3\Sigma^-)$ может реагировать с олефинами, в результате этой р-ции образуются аллены.

К. Я. Бурштейн

C_3O_2

Lemneca 87801

1979

Szentpály L.

(γ)

Theor. Chim. Acta, 1979

52, 274 - 301.

Molecular Model Potentials.
Combination of Atomistic Boxes

C₃O₂

Omnick 844-1

1979

96
91: 46813z Analysis of the P branch of the ν_6 fundamental of carbon suboxide. Weber, W. H.; Maker, P. D.; Peters, C. W. (Phys. Dep., Ford Motor Co., Dearborn, MI 48121 USA). *J. Mol. Spectrosc.* 1979, 77(1), 139-42 (Eng). An anal. is presented of the ν_6 (π_u) band of C₃O₂. In the Fourier transform spectrum of the ν_6 region at a resoln. of 0.04 cm⁻¹ the peak absorption occurs near 550 cm⁻¹, which was the value reported for ν_6 in previous studies of this region. The high resoln. spectrum shows a series of Q branches beginning at 540 cm⁻¹ and extending to higher frequency. The peak near 540 cm⁻¹ is the ground state transition and the structure at higher frequency is due to hot bands. In an expanded plot of the region below the 1st Q branch, the series of nearly uniformly spaced lines is undoubtedly the P branch from the ground state transition. The J values can be unambiguously assigned by constraining the ground state consts. and requiring the band origin to be consistent with the position and shape of the unresolved Q branch.

c.A.1949G,N6

C₃O₂

(61.11)

отмечен в 1979 г.

3 Б185. Анализ P -ветви фундаментальной полосы ν_6 1979
недоокиси углерода. Weber W. H., Makor P. D.,
Peters C. W. Analysis of the P branch of the ν_6
fundamental of carbon suboxide. «J. Mol. Spectrosc.»,
1979, 77, № 1, 139—142 (англ.)

На фурье-спектрометре с разрешением $0,04 \text{ см}^{-1}$ в
области $530—570 \text{ см}^{-1}$ получены спектр C_3O_2 , приготов-
ленной разложением малоновой к-ты. Начиная с
 540 см^{-1} в сторону высоких частот идет серия четких Q
полос, самая низкочастотная из к-рых отнесена к основ-
ному переходу. Ряд линий с большей длиной волны от-
несен к P -ветви ν_6 . Их обработка велась с учетом
кубич. члена разложения и позволила выполнить от-
несение по J . Отклонения расчетных волновых чисел от
эксперимента в пределах $0,008 \text{ см}^{-1}$. Соответствующие молек.
постоянные $\nu_0 = 540,2365 \pm 0,0086$, $B' - B'' = (-1,739 \pm$
 $\pm 0,123) \times 10^{-4}$, $D' - D'' = (-0,987 \pm 0,448) \times 10^{-8}$ и $H' -$
 $H'' = (-4,2 \pm 4,6) \times 10^{-1} \text{ см}^{-1}$. Отмечается, что получено
отриц. значение $B' - B''$, указывающее на увеличение
момента инерции в верхнем состоянии, аномально для
полосы перпендикулярного типа. Это объясняется изме-
нением вида потенциальной функции при возбуждении
колебаний ν_6 .

Л. В. Серебренников

2.10.1980.113

C₃O₂

On 10 060

1980

1 Д386. Нежесткие деформации в субокиси углерода. Carbon suboxide as a semirigid bender. Випкер Р. Р. «J. Mol. Spectrosc.», 1980, 80, № 2, 422—437 (англ.)

Si; No

Развита модель деформационных колебаний молекулы C_3O_2 , в которой в отличие от предыдущих при изменении угла $C=C=C$ допускается возможность изменения длины связей $C=C$ и углов $C=C=O$. Описан гамильтониан, использованный для расчетов уровней колебательно-вращательной энергии молекулы при одновременном возбуждении НЧ-колебания деформаций группы $C=C=C$ ν_7 и других колебаний молекулы. Сравнением с эксперим. данными, полученными из ИК-спектров поглощения, определены параметры модели и барьер перехода через линейную конфигурацию. Показано, что возбуждение колебаний ν_1 и ν_5 не влияет на величину барьера, в то время как возбуждение ν_6 понижает его на $10-15 \text{ см}^{-1}$. Равновесная конфигурация молекулы оказывается нелинейной с углом $C=C=C$ 157° и соответствующим барьером 33 см^{-1} . Библ. 17.

Ф. 1984 № 1

М. Т.

C_3O_2

On 10060

1980

23 Б190. Субокись углерода как молекула с полужесткой деформацией. Bunker P. R. Carbon suboxide as a semirigid bender. «J. Mol. Spectrosc.», 1980, 80, № 2, 422—437 (англ.)

С использованием гамильтониана для модели с полужесткой деформацией (Bunker P. R., Lansberg B. M. «J. Mol. Spectrosc.», 1977, 67, 374) в предположении о том, что вместе с деформацией угла ССС меняется длина связи С—С и угол ССО, уточнены значения колебательно-вращательных уровней молекулы субокиси углерода C_3O_2 . Расчет дал хорошее согласие с экспериментом, в частности, для значений вращательной постоянной B в зависимости от возбуждения деф. кол. ССС (v_7), лучшее, чем при использовании модели с жесткой деформацией. Определена зависимость эффективной потенциальной ф-ции колебания v_7 от возбужде-

молекул.
Субокись
углерода
беспер
межатности
 v_7

X. 1980 N 23

ния колебаний v_2 , v_3 и v_4 и показано, что возбуждение v_3 и v_4 увеличивает барьер перехода через линейную конфигурацию, тогда как возбуждение v_2 уменьшает его. При возбуждении только колебания v_7 барьер линейности равен 28 см^{-1} . Для истолкования этих фактов рассмотрена зависимость деформации угла CCC от элементов матрицы кинематич. коэф. G . Согласно сделанной оценке барьер линейности в истинной потенциальной ф-ции равен $33 \pm 5 \text{ см}^{-1}$. При этом равновесная конфигурация является изогнутой на центральном атоме углерода и равновесный угол CCC 157° .

А. Н. Курский

C₃O₂

*decreasest
energy*

93: 15862b Carbon suboxide as a semirigid bender. Bunker, P. R. (Herzberg Inst. Astrophys., Natl. Res. Counc. Canada, Ottawa, ON Can. K1A OR6). *J. Mol. Spectrosc.* 1980, 80(2), 422-37 (Eng). The semirigid bender Hamiltonian developed by B. and B. M. Landsberg (1977) is used to fit the rotation-vibration energy level sepn. in C₃O₂. The CC bond lengths and CCO bond angles are allowed to change with the CCC bending angle ρ . A very good fit to the energy levels is obtained and, in particular, the *B* values are systematically fitted better than when the rigid bender is used. The dependence of the effective CCC bending potential function on the vibration, ν_2 , ν_3 , and ν_4 is detd., and excitation of ν_3 or ν_4 raises the barrier to linearity whereas excitation of ν_2 lowers it. These results can be understood by considering the ρ dependence of the *G*-matrix elements. The barrier to CCC linearity in the zero-point vibrational state is 28 cm⁻¹ but until more data are available for the ν_1 , ν_5 , and ν_6 vibrations the true barrier cannot be precisely detd. However, it has been previously shown that the barrier is little affected by excitation of ν_1 or ν_5 , and that it is reduced by 10-15 cm⁻¹ by excitation of ν_6 . From these results the barrier to CCC linearity in the true bending potential function is 33 cm⁻¹ with an uncertainty of ~5 cm⁻¹. Thus the equil. structure is bent at the central C atom; the equil. CCC angle is 157°.

CA 1980 93 n2

Landsberg 10060/1980

C₃O₂

1980

4 Д86. Модификация энергий возбуждения для $\pi\pi^*$ -переходов в линейных молекулах, рассчитанных методом НАМ/3. Modification of HAM/3 excitation energies for $\pi\pi^*$ transitions of linear molecules. Chong Dela-
ло P. «Can. J. Chem.», 1980, 58, № 16, 1687—1690
(англ.; рез. франц.)

Энергии возбуждения, рассчитанные на основе процедуры НАМ/3 для $\pi\pi^*$ -переходов в линейных молекулах, могут в принципе не согласовываться в пределах $\pm 0,6$ эв. В работе Асбринке и др. (Asbrink I. et al. «Chem. Phys.», 1978, 27, 169) эта погрешность исправлялась с помощью соотношений Рекнагеля (Recknagel A. «Z. Phys.», 1934, 87, 375) и требования соответствующего усреднения энергии $\pi\pi^*$ -возбуждения. В данной работе, основываясь на теории НАМ/3, получены аналитич. выражения для поправок к энергии, а также найдены поправки к ф-лам Рекнагеля. В качестве примера численно рассчитаны все семь линейных молекул, исследованных Асбринком и др. Точные выражения для поправок позволяют провести расчет возбужденных состояний с учетом конфигурац. взаимодействий, что продемонстрировано на примере молекулы C₃O₂.

*М. Н.
расчет.*

φ. 1981 N 4

Ю. Л. Малинкевич

C₃O₂

1980

Б84. Модификация энергий возбуждения для $\pi\pi^*$ -переходов в линейных молекулах, рассчитанных методом ВАМ/3. Chong Delano P. Modification of HAM/3 excitation energies for $\pi\pi^*$ transitions of linear molecules. «Can. J. Chem.», 1980, 58, № 16, 1687—1690 (англ.; рез. франц.)

Проанализированы основы метода ВАМ/3 (см. «Chem. Phys. Lett.», 1977, 52, 63 и 1977, 52, 69), и получено выражение для расчета энергий $\pi-\pi^*$ электронных переходов в линейных многоатомных молекулах. Показано, что предложенная методика приводит к однозначным результатам, в то время как в стандартном методе ВАМ/3 энергии электронных переходов определяются неоднозначно. Рассчитаны электронные спектры поглощения ряда молекул, а также с учетом конфигурац. взаимодействия рассчитаны энергии электронных переходов и вертикальные потенциалы ионизации для C_3O_2 . Получено хорошее колич. согласие с экспериментом.

К. Я. Бурштейн

Х. 1981 N 5

C₃O₂

Omnick 9070

1980

92; 101610d Carbon suboxide: the vibrational dependence of the ν_7 bending potential function. Fusina, L.; Mills, I. M. (Dep. Chem., Univ. Reading, Reading, Engl. RG6 2AD). *J. Mol. Spectrosc.* 1989, 79(1), 123-31 (Eng). Data on the vibrational energy levels and rotational consts. of C₃O₂ for the low-wavenumber bending mode ν_7 are reviewed, in the ground-state manifold, and in the ν_2^+ , ν_3^+ , ν_4^+ , and $\nu_2 + \nu_4$ -state manifolds. Following the procedure developed by J. A. Duckett (1976), the data were inverted to give the effective bending potential in ν_7 for each of these 5 states. Values were obtained for various other parameters in the effective vibration-rotation Hamiltonian. The potential and rotational consts. in $\nu_2 + \nu_4$ are given to a close approxn. by linear extrapolation from the ground state through the ν_2 and ν_4 states.

✓

0.4.1980. 22.VII

отмечен 9070 1980

C_3O_2

12 Б229. Субокись углерода. Зависимость потенциальной функции от деформационного колебания ν_7 . Fusina L., Mills I. M. Carbon suboxide: the vibrational dependence of the ν_7 bending potential function. «J. Mol. Spectrosc.», 1980, 79, № 1, 123—131 (англ.)

На основе новых данных по спектрам сверхвысокого разрешения для полос ν_3 и $\nu_2 + \nu_4$ субокиси углерода, C_3O_2 (Fusina L. и др., «J. Mol. Spectrosc.», 1980, 79, 101) и известных спектроскопич. данных для др. состояний определена зависимость энергий колебательных уровней, вращательных постоянных и постоянных

Х-1980.112

l -удвоения низкочастотного деф. кол. v_7 от квантовых чисел v_7 и l_7 , при $v_i=0$ в $v_3=1$ и в состояниях $v_2=v_4=1$. Из анализа полученных результатов определена потенциальная ф-ция колебания v_7 в основном состоянии и в состояниях v_2 , v_4 и v_3 . Установленные зависимости значительно отличаются для различных колебательных состояний и для колебаний с большой амплитудой имеют необычный вид. Для всех состояний вычислены параметры потенциальной ф-ции и вращательные постоянные. Полученные данные согласуются с данными, полученными на основе модели жестких изгибных колебаний.

С. Н. Мурзин

C₃O₂ 1980

7 Д408. Субокись углерода: зависимость потенциальной функции колебания v_7 от колебательного возбуждения. Carbon suboxide. The vibrational dependence of the v_7 bending potential function. Fusina L., Mills I. M. «J. Mol. Spectrosc.», 1980, 79, № 1, 123—131 (англ.)

и. н. д. 9040

Выполнен обзор данных по энергии колебательных уровней $v_7 = n$ и значениям вращательных постоянных молекулы C_3O_2 в этих состояниях при одновременном возбуждении колебаний v_2 , v_3 , v_4 и $v_2 + v_4$, найденных из исследований ИК-спектров высокого разрешения и микроволни. измерений. Приведены таблицы этих величин. Предложенным ранее методом (Duckett J. A. et al «J. Mol. Spectr.», 1976, 63, 249) с потенциалом четвертой степени проведено численное решение ур-ния Шредингера для деформационных колебаний v_7 при возбуждении других колебаний. Сравнением с опытными данными определены параметр. потенциала. Для всех колебательных состояний потенц. ф-ция имеет барьер для перехода через линейную конфигурацию, высота которого существенно зависит от типа возбужденного колебания и меняется от 0,1 до 65,3 см^{-1} . Расхождение рассчитанных частот колебания v_7 с эксперим. данными связано с несовершенством модели. Библ. 15. М. Т.

Ф. 1980. №

Omnibus 9069

1980

C₃O₂

92: 101824b Carbon suboxide: the infrared spectrum from 1800 to 2600 cm⁻¹. Fusina, L.; Mills, I. M.; Guelachvili, G. (Dep. Chem., Univ. Reading, Reading, Engl. RG6 2AD). *J. Mol. Spectrosc.* 1980, 79(1), 101-22 (Eng). The IR spectrum of C₃O₂ was recorded from 1800 to 2600 cm⁻¹ at a resoln. of 0.003 cm⁻¹. About 7% of the ~40,000 lines obsd. were assigned and analyzed and belonged to 36 different bands. Most of these are assoed. with the fundamental ν_3 , at 2289.80 cm⁻¹, and the combination band $\nu_2 + \nu_4$, at 2386.61 cm⁻¹, each of which give rise to a system of sum bands, difference bands, and hot bands involving the low-wave no. fundamental ν_1 at 18 cm⁻¹. A few other tentative assignments were made. The bands were analyzed for vibrational and rotational consts.

ν_1, ν_2, ν_3

© A. 1980. 22/12

1980

C_3O_2

12 Б230. Субокись углерода. Инфракрасный спектр от 1800 до 2600 см⁻¹. Fusina L., Mills I. M., Guelachvili G. Carbon suboxide. The infrared spectrum from 1800 to 2600 cm⁻¹. «J. Mol. Spectrosc.», 1980, 79, № 1, 101—122 (англ.).

(Oij)

На фурье-интерферометре в области частот от 1800 до 2600 см⁻¹ с разрешением около 0,003 см⁻¹ измерен ИК-спектр субокиси углерода, C_3O_2 . Анализ спектра выполнен с учетом квартичных и секстичных эффектов центробежного искажения и *l*-удвоения. Из 40 000 зарегистрированных линий идентифицировано около 3000, они отнесены к 36 различным колебательным полосам. Большая часть линий приписана основному колебанию ν_3 около 2289,80 см⁻¹ и составной полосе $\nu_2 + \nu_4$ около 2386,61 см⁻¹. Спектр содержит суммарные, разностные и горячие полосы с участием низкочастотного диформационного колебания ν_7 (18,256 см⁻¹). На основе полученных данных для всех полос определены вращательные постоянные, квартичные и секстичные постоянные центробежного искажения при различных значениях квантового числа колебания ν_7 . Определены эффективные постоянные *l*-удвоения для различных колебательных состояний.

С. Н. Мурзин

2.1980.11.12

Омск 9069

1980

C₃O₂

7 Д407. Субокись углерода: ИК-спектр от 1800 до 2600 см⁻¹. Carbon suboxide. The infrared spectrum from 1800 to 2600 cm⁻¹. Fusina L., Mills I. M., Guelachvili G. «J. Mol. Spectrosc.», 1980, 79, № 1, 101—122 (англ.)

С помощью фурье-спектрометра получены спектры ИК-поглощения газообразной C₃O₂ в области 1800—2600 см⁻¹ с разрешением 0,003 см⁻¹. Измерены частоты и выполнена интерпретация нескольких тысяч колебательно-вращательных линий полос ν_3 , $\nu_2 + \nu_4$ и сопутствующих им комбинаций с НЧ-колебанием ν_7 с частотой 18 см⁻¹. Приведены частоты линий. Из анализа частот линий найдены колебательные частоты и вращательные константы молекулы в основном и возбужденных колебательных состояниях. Определены константы *l*-удвоения, отмечены случаи локальных резонансов, обусловленных высшими членами гамильтониана. Ряд линий отнесен предположительно к полосам $\nu_1 + \nu_7$, $\nu_2 + \nu_5 + \nu_6$ и др. Библ. 17.

М. Т.

Ф. 1980. № 7

C_3O_2

1980

Harris F.E., et al

Rb. Mex.
paero
et. coor.

Chem. Phys., lett., 1980,
72, N2, 315-18.



(Cu C_2H_5N)III

1980

C_3O_2

Yug R.

Theor. chim. acta, 1980, 57,
N^o 107-30

recep.
M. Chazot
(Y)



corr. H₂-III

C₃O₂

XIV - 9041

1980

14 Б212. ν_7 колебательные состояния C₃O₂. Уточнение по методу наименьших квадратов энергий и вращательных постоянных $\nu_7\nu_7^{17}$ с использованием модели с жесткой деформацией. Weber W. H. The ν_7 vibrational states of C₃O₂. A least-squares fit of the rigid-bender model to the $\nu_7\nu_7^{17}$ energies and rotational constants. «J. Mol. Spectrosc.», 1980, 79, № 2, 396—415 (англ.)

Модель с жесткой деформацией использована для анализа низкочастотного деф. кол. большой амплитуды ν_7 молекулы C₃O₂ (I). Рассмотрены различные параметризации потенциальной функции колебания ν_7 . Найдено, что лучшую сходимость дает простой двухчленный степенной ряд. С этой параметризацией, используя уточненные по методу НК значения энергий и постоянных B вращательных переходов, определена потенциальная функция ν_7 для основного состояния, а также для состояний, в к-рых возбуждены колебания ν_2 , ν_3 , ν_4 , ν_6 , $2\nu_6$, $\nu_1+\nu_3$, $\nu_1+\nu_4$, $\nu_2+\nu_3$, $2\nu_2+\nu_4$. Показано, что воз-

Р 1980 N14

буждение этих колебаний оказывает в некоторых случаях сильное влияние на потенциал v_7 . В основном состоянии этот потенциал имеет барьер 29 см^{-1} при линейной конфигурации I, при возбуждении v_1+v_3 барьер возрастает до 79 см^{-1} , тогда как при возбуждении $2v_2+v_4$ барьер исчезает. Равновесный потенциал с барьером $35,6 \text{ см}^{-1}$ и минимумом при $\alpha = 11,4^\circ$, где 2α — угловое отклонение от линейности, определен корректировкой потенциала основного состояния на эффекты движения нулевой точки нормальных колебаний $v_1 \dots v_6$. Выбранная модель точно предсказывала термы центробежного искажения четвертого и шестого порядка для низколежащих состояний v_7v_7 . В расчеты терма четвертого порядка включено перекрывание l -типа второго порядка. Эффект этого перекрывания, наиболее существенный для состояний $v_7 \geq 2$, объясняет известное отрицательное значение терма D для состояния $v_2+4v_7^0$. А. Н. Курский

92: 101786r The v_7 vibrational states of carbon suboxide (C₃O₂). A least squares fit of the rigid-bender model to the $v_7 v_7^{17}$ energies and rotational constants. Weber, Willes H. (Phys. Dep., Ford Motor Co., Dearborn, MI 48121 USA). *J. Mol. Spectrosc.* 1980, 79(2), 396-415 (Eng). The rigid-binder model is used to treat the large-amplitude, low-frequency, bending vibration v_7 of C₃O₂. Different parameterizations of the bending potential function are considered, and a simple 2-term power series gives the best fit. With this parameterization, using a least-squares fit to energies and B values, the v_7 potential function is detd. for the ground state as well as for the states in which v_2 , v_3 , v_4 , v_6 , $v_1 + v_3$, $v_1 + v_4$, $v_2 + v_3$, and $2v_2 + v_4$ are excited. The excitation of other vibrations has in some cases a drastic effect on the v_7 potential. In the ground state the potential has a 29 cm⁻¹ barrier at the linear position, in $v_1 + v_3$ the barrier increases to 79 cm⁻¹, while in $2v_2 + v_4$ the barrier vanishes. An equil. potential is detd. by correcting the ground state potential for the effects of zero-point motion of the normal vibrations v_1, \dots, v_6 . This potential has a 35.6-cm⁻¹ barrier with a min. at $\alpha = 11.14^\circ$, where 2α is the angular deviation from linearity. Second-order *l*-type coupling is included in the calens. of the quartic terms. The effects of this coupling, which are most pronounced for the $v_7 \geq 2$ states, adequately explain the neg. *D* term recently reported for the $v_2 + 4v_7^0$ state.

C₃O₂

(V₇)

XIV-920411

C.A. 1980. 920412

C₃O₂

I₇
nominal,
no cm

*ca. 1980. Gi
N8*

92: 6695 (v) The v_7 vibrational states of carbon suboxide (C_3O_2). A least squares fit of the rigid bender model to the $v_{7,1}^{+}$ energies and rotational constants. Weber, Willes H. (Phys. Dep., Ford Motor Co., Dearborn, MI 48121 USA). *J. Mol. Spectrosc.* 1980, 79(2), 396-415. (Eng). The rigid-bender model was used to treat the large-amplitude, low-frequency, bending vibration v_7 of C_3O_2 . Different parameterizations of the bending potential function are considered, and a simple 2 term power series gives the best fit. With this parameterization, using a least-squares fit to energies and B values, the v_7 potential function is detd. for the ground state as well as for the states in which v_2 , v_3 , v_4 , v_6 , $2v_6$, $v_1 + v_3$, $v_1 + v_4$, $v_2 + v_3$, and $2v_2 + v_1$ are excited. The excitation of other vibrations has, in some cases, a drastic effect on the v_7 potential. In the ground state, the potential has a 29 cm^{-1} barrier at the linear position, in $v_1 + v_3$ the barrier increases to 79 cm^{-1} , while in $2v_2 + v_4$ the barrier vanishes. An equil. potential was detd. by correcting the ground state potential for the effects of zero-point motion of the normal vibrations v_1, \dots, v_6 . This potential has a 35.6-cm^{-1} barrier with a min. at $\alpha = 11.14^\circ$, where 2α is angular deviation from linearity. The model accurately predicts the quartic and sextic centrifugal distortion terms for the low-lying $v_7 v_7$ states. Second-order l -type coupling is included in the calens. of the quartic terms. The effects of this coupling, which are most pronounced for the $v_7 \geq 2$ states, adequately explain the neg. D term recently reported for the $v_2 + 4v_7^0$ state.

1980

XIV-9041

C₃O₂

XIV-904)

1980

8 Д351. Колебательные состояния v_7 C₃O₂. Определение параметров модели жесткой деформации из энергии уровней $v_7 v_7'$, и вращательных постоянных методом наименьших квадратов. The v_7 vibrational states of C₃O₂. A least-squares fit of the rigid-bender model to the $v_7 v_7'$, energies and rotational constants. Weber Willies H. «J. Mol. Spectrosc.», 1980, 79, № 2, 396—415 (англ.)

M. n; J. illo.

С использованием модели жесткой деформации рассмотрены НЧ-колебания v_7 молекулы C₃O₂. В адиабатич. приближении эти колебания рассмотрены также при условии возбуждения остальных колебаний молекулы. Потенц. ф-ция колебаний v_7 задана в виде двучленного ряда или лоренцевского и гауссовского барьера с членом отталкивания 4-й степени. Получены

Ф 1980 № 8

параметрич. выражения, связывающие молекулярные параметры со степенью возбуждения колебания v_7 . По литературным спектроскопич. данным рассчитаны параметры потенциальных кривых колебания v_7 в основном состоянии молекулы и при возбуждении других колебаний, отмечено сильное влияние последних на форму кривой. В основном состоянии барьер составляет 29 см^{-1} , в состоянии $v_1 + v_3$ 79 см^{-1} , в состоянии $2v_2 + v_4$ барьер равен нулю. Для равновесной конфигурации барьер составляет $35,6 \text{ см}^{-1}$, минимум потенц. энергии соответствует $5,57^\circ$ отклонения от линейности. Развитая модель хорошо описывает зависимость вращательной постоянной B от колебательного возбуждения и центробежные эффекты. Библ. 26.

М. Т.

C₃O₂

Оттиск 12334 1981

5 Б326. Колебательные эффекты Реннера — Теллера в инфракрасном спектре субоксида углерода. Halonen L., Mills I. M., Kaipainen J. Vibrational Renner-Teller effects in the infrared spectrum of carbon suboxide. «Mol. Phys.», 1981, 43, № 4, 913—931 (англ.)

Измерены ИК-спектры субоксида углерода C_3O_2 с разрешением $0,01 \text{ см}^{-1}$ в области $400—700 \text{ см}^{-1}$. В спектре наблюдена полоса параллельного типа в интервале $580—650 \text{ см}^{-1}$ с центром при $597,66 \text{ см}^{-1}$ и кантом P -ветви при $590,49 \text{ см}^{-1}$. Полоса отнесена к колебанию $\nu_5 + \nu_7$ ($\nu_7 = 18 \text{ см}^{-1}$) молекулы C_3O_2 полученное из анализа вращательной структуры значение B_u для основного состояния, равное $0,075551(15) \text{ см}^{-1}$ очень хорошо согласуется с лит. данными. В той же области спектра идентифицирован ряд горячих полос с центрами $607,82; 614,47; 615,73$ и $619,55 \text{ см}^{-1}$, проанализирована их вращательная структура и рассчитаны вращательные постоянные для верхних состояний. Из анализа полосы $\nu_5 + \nu_7$ рассчитан эффективный

D_i, M.N.

X. 1981, 19, N5.

деформац. Пт ν_7 в состоянии ν_5 . Обнаружено расщепление Пт, аналогичное эффекту Реннера — Теллера в электронной спектроскопии, связанное с движением большой амплитуды по координате g_7 и взаимодействием колебаний ν_5 и ν_7 . Отмечено, что вид усредненного Пт в состоянии ν_5 подобен потенциалу ν_7 в основном состоянии, а расщепление для классич. точек возврата достигает 4 см⁻¹. В области 530—570 см⁻¹ измерена система полос ν_6 , из к-рых проанализирована лишь основная полоса $\nu_6(\Pi_u)$ с центром при 540,221 см⁻¹.

С. Б. Осин

C₃O₂

Отмisch 12384

1981

ЗД412. Колебательные эффекты Реннера—Теллера в ИК-спектре субокиси углерода. Vibrational Renner—Teller effects in the infrared spectrum of carbon suboxide. Halonen L., Mills I. M., Kauppinen J. «Mol. Phys.», 1981, 43, № 4, 913—931 (англ.)

С помощью фурье-спектрометра получены спектры ИК-поглощения паров C_3O_2 при давл. 0,2—2,5 мм рт. ст. в области $400—700\text{ cm}^{-1}$ с разрешением $0,01\text{ cm}^{-1}$. Приведены определенные с точностью $\sim 10^{-3}\text{ cm}^{-1}$ частоты колебательно-вращательных линий полосы ν_6 и наблюданной в комбинации с нечетным числом квантов колебания полосы ν_5 . Описано взаимодействие колебаний ν_5 и ν_7 , приводящее к расщеплению ν_5 , аналогичному эффекту Реннера—Теллера в электронных спектрах, и влияние J -удвоения на вращательную структуру полос ν_5 и ν_6 . С использованием микроволн. данных для основного состояния и состояния с возбуждением ν_7 определены колебательные частоты и изменения вращатель-

оф 1982, 18, № 3.

ных постоянных при возбуждении в состояния v_6 и $v_5 + nv_7$ ($n = 1 \div 4$). Восстановлен эффективный потенциал деформационных колебаний v_7 при возбуждении колебания v_5 . Его форма близка к потенциалу в основном состоянии, если не учитывать колебательного эффекта Реннера—Теллера, приводящего к расщеплению состояний Σ_u^+ и Σ_u^- . Библ. 14.

М. В. Т.

о +
быт

C₃O₂

Омск 11857

1981

11 Д62. О потенциале деформационных колебаний (v_7) субокиси углерода. On the carbon suboxide bending potential (v_7). Lozes Richard L., Sabin John R., Oddershede Jens. «J. Mol. Spectrosc.», 1981, 86, № 2, 357—364 (англ.)

В приближении МО ЛКАО исследована возможность неэмпирич. получения достоверных расчетных данных о структуре молекулы C₃O₂ и ее энергии на основе предложенного авторами потенциала $V(\alpha)$, обладающего хорошей асимптотикой. Найдены два минимума потенциала с барьером 71,1 см⁻¹, что находится в хорошем согласии со спектроскопич. значениями. Полученные данные по геометрии сравниваются с результатами других авторов.

Б. В. Россихин

ф. 1981, 18, NII.

Омск 11/857 1981

C_3O_2

(деформац.
потенциал
(D₇))

22 Б96. Деформационный потенциал (v_7) для недокиси углерода. Lozes Richard L., Sabin John R., Oddershede Jens. On the carbon suboxide bending potential (v_7). «J. Mol. Spectrosc.», 1981, 86, № 2, 357—364 (англ.)

Ограничанным методом Хартри—Фока рассчитан Пт деф. кол. v_7 молекулы C_3O_2 . Использован базис из сгруппированных гауссовых ф-ций с включением поляризац. d -ф-ций на каждом атоме. Геометрич. параметры первоначально оптимизированы для линейной конфигурации; найденные параметры далее были фиксированы при варьировании валентного угла α . Показано, что деформац. Пт в зависимости от угла α обладает минимумом при $\alpha=149^\circ$. Величина потенциального барьера при $\alpha=180^\circ$ составляет 71 см^{-1} . Предложено аналитич. представление деформац. Пт с правильным асимптотич. поведением. Рассчитанные высота и ширина барьера слегка превышают величины, определенные по спектроскопич. данным. Обсуждены возможные причины этих отклонений. Проведено сравнение с результатами др. неэмпирич. расчетов.

Б. И. Жилинский

X.198/н22,19АБ

C₃O₂

On March 11 1957

1981

94: 147676z On the carbon suboxide bending potential (ν_7). Lozes, Richard L.; Sabin, John R.; Oddershede, Jens (Quantum Theory Project, Univ. Florida, Gainesville, FL 32611 USA). *J. Mol. Spectrosc.* 1981, 86(2), 357-64 (Eng). An ab initio LCAO-MO-SCF calcn. of the ν_7 bending potential of C_3O_2 is presented. The potential has a double min. with a barrier of 71.1 cm^{-1} , and min. energy at a bending angle of 15.5° , in reasonable agreement with results obtained from spectroscopic measurements.

*kb, dec.
paeres
J.7*

C.A.1981.94/118

C_3O_2

1981

Winniewisser et al.

erekwip

Faraday Discuss.

homogeneous Chem. Soc., 1981,

NH, 31-55.

(cav. KCN; ii)

C_3O_2

1981

Winnemisser M., et al.

Pi; u. n. Z. Naturforsch., 1981,
A 36, N8, 819-830.



(see. C_3OS ; II).

C_3O_2 Lommueck 16011 1982

Eng R.S., Ku R.T.,
LazepHau
Cherkmp Spetrosec. Lett., 1982,
15, N10-11, 803-929.

C₃O₂

Дн. 14818 1982

1 Д506. Исследование микроволнового колебательно-вращательного спектра недоокиси углерода (C_3O_2) в диапазоне 300—1000 ГГц. Microwave study of vibration-rotation spectrum of carbon suboxide C_3O_2 in the 300- to 1000-GHz frequency range. Кагуакин Е. Н., Кгирпов А. Ф., Шарпин С. М. «J. Mol. spectrosc.», 1982, № 2, 283—301 (англ.)

В диапазоне 300—1000 ГГц исследован микроволновый спектр молекулы C_3O_2 . Идентифицирована вращательная структура колебательных полос v_7 , $2v_7-v_7$, $3v_7-2v_7$ и $4v_7-3v_7$, с центрами при 547 295, 834 919, 1 034 639 и 1 191 642 ГГц. Из частот 256 линий для модели линейной молекулы определены значения 41 параметра, включая значения вращательных постоянных, постоянных квартичного, секстичного и октичного центробежного искажений, постоянной *l*-удвоения и ее зависимости от колебательно-вращательного состояния. Приведена матрица корреляции для постоянных. М. Р. Алиев

М.Н.

ср. 1483, 18, № 1

C_3O_2

Отмск 14818

1982

5 Б288. Микроволновое исследование колебательно-вращательного спектра недокиси углерода C_3O_2 в области частот от 300 до 1000 ГГц. *Microwave study of vibration-rotation spectrum of carbon suboxide C_3O_2 in the 300- to 1000-GHz frequency range.* Кагуакин Е. Н., Кирпов А. Ф., Шапин С. М. «J. Mol. spectrosc.», 1982, 94, № 2, 283—301 (англ.)

На МВ-спектрометре РАД измерен в области частот 300—1000 ГГц колебательно-вращательный спектр полос $\nu_7^1 \leftarrow 0$, $2\nu_7^2 \leftarrow \nu_7^1$, $3\nu_7^3 \leftarrow 2\nu_7^2$ и $4\nu_7^4 \leftarrow 3\nu_7^3$ недокиси углерода, C_3O_2 . На основе частотных данных для 256 переходов с учетом эффектов центробежного иска^{жения} и J -расщепления определены спектроскопич. по^{стоянныe} в основном и четырех возбужденных колебательных состояниях ν_7 . Для всех постоянных опреде^{лена} корреляционная матрица. Вращательные по^{стоянныe} в основном и возбужденных колебательных

$D_i, m-n$

X. 1983, 19, N5.

состояниях v_7^1 , $2v_7^2$, $3v_7^3$, $4v_7^4$ соотв., равны: $B =$
 $= 2265,358915(302)$, $2287,777323(303)$, $2306,596033(308)$,
 $2323,52361(33)$ и $2339,2146(15)$ МГц, а колебательные
частоты возбужденных состояний соотв. равны $v_0 =$
 $= 547295,3332(69)$, $834919,4061(81)$, $1034639,296(27)$ и
 $1191642,9(14)$ МГц.

С. Н. Мурзин

C3O2

Onnuck 14818.

1982

97: 153254p Microwave study of vibration-rotation spectrum of carbon suboxide C3O2 in the 300 to 1000 GHz frequency range. Karyakin, E. N.; Krupnov, A. F.; Shapin, S. M. (Inst. Appl. Phys., Gorkiy, USSR). *J. Mol. Spectrosc.* 1982, 94(2), 283-301 (Eng). The submillimeter wave spectrum of the C3O2 mol. was investigated within the 300- to 1000-GHz range. The measured frequencies include 256 lines belonging to the ground vibrational state and to 4 excited vibrational states of ν_7 . Rotational and centrifugal consts. and consts. of l splitting for the ground and excited states ν_7^1 , $2\nu_7^2$, $3\nu_7^3$, $4\nu_7^4$ as well as frequencies of purely vibrational transitions $\nu_7^1 \leftarrow 0$; $2\nu_7^2 \leftarrow \nu_7^1$; $3\nu_7^3 \leftarrow 2\nu_7^2$; $4\nu_7^4 \leftarrow 3\nu_7^3$ together with their correlation matrix were detd.

ML Crekmp

C. A. 1982, 97, N 18.

C₃O₂

1982

98: 24807t The force field of carbon suboxide. Murthy, A. S. N.; Ranganathan, Shoba (Dep. Chem., Indian Inst. Technol., New Delhi, 110016 India). *THEOCHEM* 1982, 7(3-4), 219-26 (Eng). The complete force field for C₃O₂ was evaluated. The optimum geometry, stretching and interaction force consts. were obtained from a combination of the CNDO/force MO method and the compliance const. formalism.

cm. no cm-

C.A. 1983, 98, N.Y.

C_3O_2

1982

4 Д44. Силовое поле недоокиси углерода. The force field of carbon suboxide. Murthy A. S. N., Ranganathan Shoba. «J. Mol. Struct.», 1982, 90, № 3—4, Suppl.: «Theochem.», 7, № 3—4, 219—226 (англ.)

Из эксперим. данных по частотам колебаний вычислены гармонические силовые постоянные и коэф. влияния для молекулы C_3O_2 . Расчет этих величин выполнен также полуэмпирическим квантовохимич. методом ППДП. Результаты двух расчетов согласуются между собой.

М. Р. Алиев

1983, 18, № 4.

C_3O_2

1982

7 Б101. Силовое поле молекулы C_3O_2 . The force field of carbon suboxide. M u r t h y A. S. N., R a n g a p a -
t h a n S h o b a. «J. Mol. Struct.», 1982, 90, № 3—4,
219—226 (англ.)

Для молекулы C_3O_2 выполнен полный расчет силового поля. Оптим. геометрия и силовые постоянные равновесной конфигурации рассчитаны станд. методом ППДП/2. Представлены оптим. геометрич. параметры ($C-C$ 1,287 Å, $C-O$ 1,234 Å, $\angle CCC$ 180°), внутреннего валентного силового поля, наблюдаемых и рассчитанных частот колебаний, а также распределения потенциальной энергии через вычисл. симметризованные коэф. влияния C_{ii} (матрица $C=F^{-1}$, где F — матрица силовых постоянных).

С. Долин

Анал. пост.,
геометр.,
структур.

X. 1983, 19, № 7

C₃O₂

1982

10 Б1310. Фотолиз C_3O_2 светом 193 нм УФ-лазера.
Испускание света электронновозбужденными фрагментами C, CO и C_2 . UV laser photolysis of C_3O_2 at 193 nm: emission from electronically excited C, CO and C_2 . Umemoto M., Shinohara H., Nishi N., Shimada R. «J. Photochem.», 1982, 20, № 4, 277—286 (англ.)

фотолиз

Исследованы спектры флуоресценции (Фл) электронно-возбужденных фрагментов CO и C, возникающих при фотодиссоциации (ФД) C_3O_2 при давл. 0,70 Торр в проточных условиях сфокусированным светом 193 нм импульсного лазера на Ag [спектральная ширина ~ 170 см⁻¹, длительность импульса 10 нс, энергия ~ 100 мДж, поток фотонов в фокусном пятне $\sim 10^{25}$ фотон/(см²·с)]. Масс-спектрометрич. анализ конечных продуктов фотолиза C_3O_2 в статич. условиях при давл. 1 Торр (облучение 3000 импульсов) обнару-



20.1983, 19, N10

живает полное разл. C_3O_2 до CO и углеродсодержащего осадка на стенках фотохим. реактора. В спектре Фл 4-я положит. система $\text{CO}(A^1\Pi \rightarrow X^1\Sigma^+)$ при 200—250 нм обусловлена образованием колебательно-возбужденного фрагмента $\text{CO}(X^1\Sigma^+)$, к-рый далее резонансно возбуждается светом 193 нм в состояние $A^1\Pi$ ($v' = 1, 4, 7$). Эмиссионная линия C($3^1P^0 \rightarrow 2^1S$) при 248 нм приписана двухступенчатому процессу. Сначала происходит двухфотонное образование C(2^1D), к-рый затем резонансно возбуждается в состояние C(3^1P^0). Наблюдалась также полоса Свана C₂($d^3\Pi_g \rightarrow a^3\Pi_u$), приписанная индуцированной столкновениями р-ции между фрагментами C и C₂O.

В. Е. Скурат

C_3O_2

Dmuck 15494 1982

Winnewisser M., Peau W.

1)

Chem. Phys., 1982,
71, N3, 377-387.

C_3O_2

1983

Bunker P. R.

паций
коэффициент
вращения
Угловый
(однор)

Annu. Rev. Phys.
Chem. 1983, 34, 59-78.

$I_{C=O}, CH_2$; $\tilde{\nu}_{III}$)

C_3O_2

[Om. 17428]

1983

Декмпо-
Норсаоп.
голубые

Luytsarev V.S., Spiridonov
V.P., et al.,
g. Mol. Struct., 1983,
101, N1-2, 173-182.

C_3O_2

[Om. 19659]

1983

Miller F. A.,

Ангарск.
колл.,
роману.
φ-ис,
моргном.
Колбак.

Proc. Indian Acad.
Sci. (Chem. Sci.), 1983,
92, N6, 563 - 587.

C_3O_2

OMM. 17272

1983

Колебат.
бронзат.
галич-
моксит
с виаг-
реактор
бронзателес

Wierzbicki A., Koput J.,
et al.,

J. Mol. Spectrosc., 1983,
99, 102-115.

C_3O_2

1984

22 Б1095. Структура и гармонические частоты колебаний молекулы недокиси углерода, найденные методами аналитического дифференцирования. Structure and harmonic vibrational frequencies of the carbon suboxide molecule using analytic derivative methods. Amos R. D. «Chem. Phys. Lett.», 1984, 108, № 4, 347—352 (англ.)

Дано краткое описание эффективного метода организации аналитич. расчета первых и вторых производных интегралов по координатам ядер. Метод применен к расчету молекулы C_3O_2 в приближении ССП в базисах гауссовых орбиталей типов $6-31^*.$ -ГФ и $5s3p1d$. Найдено, что равновесная конфигурация ядер линейной системы $O-C-C-O$ устойчива по отношению к малым смещениям из положения равновесия всех типов. Оценки геометрич. характеристик равновесной конфигурации и частот норм. кол. близки к экспериментально найденным в пределах точности приближения ССП.

В. И. Пупышев

расчет
конфигр.

X. 1984, 19, № 22

$C_3 O_2$

1984

11 Д84. Расчет структуры и гармонических колебательных частот молекулы недоокиси углерода аналитическими методами производных. Structure and harmonic vibrational frequencies of the carbon suboxide molecule using analytic derivative methods. Amos R. D. «Chem. Phys. Lett.», 1984, 108, № 4, 347—352 (англ.)

Изложен аналитич. вариант метода ССП МО ЛКАО, основанный на вычислении первых и вторых производных энергии по параметрам. Метод применен для расчета структурных параметров и гармонич. частот коле-

ди, де-п., 200 мер,
смр., расчет

обр. 1984, 18, NII

баний молекулы OCCCO с использованием двух базисов (6–31 ГФ* и $5s3p1d$). Полученные значения для связей $\text{CC}=1,2691$ и $\text{CO}=1,1353 \text{ \AA}$ согласуются с эксперим. данными $\text{CC}=1,279$ и $\text{CO}=1,16 \text{ \AA}$. Однако вычисленные значения частот колебаний значительно ниже измеренных (расхождение достигает 280 см^{-1} для частоты 2197 см^{-1}), хотя расчеты подтверждают наличие очень низкой частоты изгибного колебания ($18,18 \text{ см}^{-1}$: изм.): расчет в базисе $5s3p1d$ для этой частоты дает величину $14,4 \text{ см}^{-1}$. Расчеты в обоих базисах дают наименьшую энергию для линейной конфигурации молекулы OCCCO , хотя из спектроскопич. данных известно, что равновесная конфигурация OCCCO является нелинейной ($\text{CCC}=160^\circ$).

М. Р. Алиев

CzD₂

[Om. 1831]

1984

Bauer W., Neuser R.,
Becker K.H.,

закрытый
формату

J. Photochem., 1984,
24, N1, 99-102.

C_3O_2

Ок. 19186 1984

11 Д85. Полужесткая деформационная модель для C_3O_2 . Вырожденное состояние v_5 . C_3O_2 as a semirigid bender. The degenerate v_5 state. Jensen Рег. «J. Mol. Spectrosc.», 1984, 104, № 1, 59—71 (англ.)

Проведено обобщение полужесткого деформационного гамильтониана, предложенного для молекулы C_3O_2 Банкером (J. Mol. Spectrosc.», 1980, 80, 422), с целью описания НЧ-колебаний v_7 (деформационные колебания фрагмента ССС) при одновременном возбуждении ВЧ-колебаний v_5 и v_6 , описывающих деформацию фрагмента ССО. Модельный гамильтониан применен к описанию вращения и деформационных v_7 колебаний в колебательно-возбужденном состоянии v_5 молекулы $^{12}C_3^{16}O_2$. Получены оценки для параметров деформационного потенциала ССС в колебательном состоянии v_5 . Е. А. Ж.

Дж. дж. п.

окт. 1984, 18, N 11

C_3O_2

Ок. 19186

1984

21 Б1190. C_3O_2 в полужесткой модели деформаций.
Вырожденное состояние v_5 . C_3O_2 as a semirigid bender:
the degenerate v_5 state. Jensen Рег. «J. Mol. Spectrosc.», 1984, 104, № 1, 59—71 (англ.)

Полужесткая модель деф. кол. применена для построения гамильтониана, описывающего колебания молекулы C_3O_2 . Учтено влияние на колебат. движение большой амплитуды фрагмента ССС (v_7) возбужденных состояний, связанных с колебаниями фрагментов ССО (вырожденные колебания v_5). Анализ проведен в рамках группы молек. симметрии C_{2v} (M). На основе построенной модели по эксперим. данным подобраны параметры потенциальной ф-ции, описывающей деформац. колебания ССС. Из-за недостаточного объема эксперим. результатов полностью восстановить Пт не удается, поэтому рассмотрены два предельных частных случая связи колебаний v_5 и v_7 .

А. В. Немухин

Х. 1984, 19, № 21

C_3O_2

Om. 1986 / 1984

100: 128933g Carbon suboxide (C_3O_2) as a semirigid bender; the degenerate ν_5 state. Jensen, Per (Herzberg Inst. Astrophys., Natl. Res. Counc. Canada, Ottawa, ON Can. K1A 0R6). *J. Mol. Spectrosc.* 1984, 104(1), 59-71 (Eng). The semirigid bender Hamiltonian for C_3O_2 was extended in a manner similar to the extension previously described for HCNO [P. Jensen, (1983)]. The extended Hamiltonian describes the manifold of large-amplitude vibrational states (due to the ν_7 CCC bending mode) superimposed on a high-frequency vibrational state involving excited quanta of the CCO bending modes ν_5 and ν_6 . The extended model was used to fit CCC bending and rotation energy level sepns. for $^{12}C_3^{16}O_2$ superimposed on the ν_5 fundamental level. Due to the severely limited exptl. data it is not possible to unambiguously det. the effective CCC bending potential energy function in the ν_5 state, but ests. of the potential energy parameters are obtained by detg. them in 2 limiting cases.

(15)

C.A. 1984, 100, N 16

C₃O₂ [Om. 21586]

1985

Sipacher V.A.,

meopem- g. Mol. Street, 1985,
pacem 121, NY, 143-151.

C_3Q_2

Lommel 20828

1985

Winnewisser M.

урбные
термы

Z. Mol. Struct., 1985,
126, 41-66.

C_3O_2

(Om. 26288)

1986

Jensen P., Johns G.W.C.,

UUCREKING J. Mol. Spectrosc.,
1986, 118, N1, 248 -
266.

C₃O₂

1986

2 Б1282. Инфракрасный спектр недокиси углерода в области частот основного колебания ν_6 : измерения спектра и его анализ по полужесткой изгибно-вращательной модели. The infrared spectrum of carbon suboxide in the ν_6 fundamental region: experimental observation and semi-rigid bender analysis. Jensen P. G., Johns J. W. C. «J. Mol. Spectrosc.», 1986, 118, № 1, 248—266. (англ.). Место хранения. ГПНТБ СССР

На фурье-спектрометре с разрешением 0,002 см⁻¹ после деконволюции в обл. 500—600 см⁻¹ исследован ИК-спектр поглощения квазилинейной молекулы C₃O₂. Идентифицирована вращат. структура полосы ν_6 и «горячих» полос $\nu_6 + nv_7 - nv_7$, ($n = 1, 2, 3$). Анализ спектра выполнен по полужесткой изгибно-вращат. модели, в к-рой изгиб группы CCC рассматривается как колебание с большой амплитудой, а потенц. ф-ция изгиба описывается квадратично-квартичной ф-цией. Определение

М.Н.

X. 1987, 19, N 2

ны значения колебательно-вращат. постоянных и параметров потенциальной ф-ции изгибного колебания. Равновесный угол ССС составляет 156° , а барьер, препятствующий линейной конфигурации молекулы, равен 28 см^{-1} .

Е. В. Алиева

C₃O₂

1986

2 Л152. ИК-спектр недокиси углерода в области основной полосы ν_6 . Экспериментальное наблюдение и полужесткий деформационный анализ. The infrared spectrum of carbon suboxide in the ν_6 fundamental region: experimental observation and semirigid bender analysis. Jensen Рег, Johns J. W. C. «J. Mol. Spectrosc.», 1986, 118, № 1, 248—266 (англ.) Место хранения. ГПНТБ СССР

(М.Л.)

Методом фурье-спектроскопии в области 500—600 см^{-1} исследован ИК-спектр поглощения C_3O_2 . Для колебательно-вращательной полосы ν_6 и 6 горячих полос $\nu_6 + n\nu_7 - n\nu_7$ приведены значения частот колебательно-вращательных переходов, измеренных с точностью $\sim 3 \cdot 10^{-4} \text{ см}^{-1}$. С привлечением литер. данных по отношению линий в полосе ν_6 предложена интерпретация наблюдаемых вращательных структур и на основании первичного анализа подобраны эффективные значения разностей молекулярных постоянных вида ($B' - B''$)

оф. 1987, 18, № 2

и т. п. В приближении модели нежесткой деформации рассчитаны параметры ф-ции потенц. энергии деформационного C—C—C колебания. Показано, что равновесная конфигурация C_3O_2 является изогнутой с $\angle CCC = 156^\circ$ и барьером между изогнутой и линейной конфигурациями 28 см^{-1} . Библ. 27.

В. К.



$C_3 O_2$

Lommel N9

1984

Jensen P.,

J. Mol. Spectrosc., 1984,
104, 59-71.

ν_5

(ав. короб  ку с оммеками
Herzberg G.)

$C_3 O_2$

1986

ν_1 , cm $^{-1}$

ν_0

105: 32129b The infrared spectrum of carbon suboxide in the fundamental region: experimental observation and semirigid bender analysis. Jensen, Per; Johns, J. W. C. (Phys. Chem. Inst., Justus Liebig Univ., D-6300 Giessen, Fed. Rep. Ger.). *J. Mol. Spectrosc.* 1986, 118(1), 248-66. (Eng). The IR spectrum of $C_3 O_2$ was measured at high resoln. at 500-600 cm^{-1} . The spectrum was recorded with a Bomem interferometer at a resoln. of ~ 0.004 cm^{-1} ; after deconvolution a resoln. of ~ 0.002 cm^{-1} was attained. Seven bands were identified and assigned to rovibrational transitions of $^{12}C_3^{16}O_2$. These consist of the ν_6 fundamental band and some of the hot bands assocd. with the ν_7 , $2\nu_7$, and $3\nu_7$ states. The data obtained on the $\nu_6 + n\nu_7$ states were used as input for a semirigid bender fit yielding the effective CCC bending potential energy function in the ν_6 state together with a no. of related parameters. From the results of the present work together with the results of previous semirigid bender fits; $C_3 O_2$ is bent at equil. with an equil. CCC bond angle of 156° and a barrier to linearity of 28 cm^{-1} .

C.A. 1986, 105, N.Y

C₃O₂

1986

✓ 1 Б4418. Динамика фотодиссоциации субоксида углерода. Photofragmentation dynamics of carbon suboxide.

Weinberg Brad R., Rosenfeld Robert N. «J. Phys. Chem.», 1986, 90, № 17, 4037—4043 (англ.)

Методом разрешенной во времени абсорбц. спектроскопии с использованием перестраиваемого лазера на CO непрерывного действия измерены начальные колебат. распределения фотопротягивания CO, получающегося при фотодиссоциации (ФД) C₃O₂ при давл. 2—100 мТорр в среде буферных газов (He, Ar, SF₆) под действием импульсного света 193 нм и 249 нм лазеров на ArF и KrF соотв. (длительность импульсов 15 нс, интегральные потоки 1—10 и 5—20 мДж/см² соотв.). Получены след. результаты. 1. Хотя поглощение света 193 или 249 нм сопровождается возбуждением различных электронных состояний C₃O₂, диссоциация с образованием CO происходит из одного и того же электронного состояния, скорее всего основного, заселяемого в

спецпр, 81

X. 1987, 19, N 1.

результате внутр. конверсии. 2. Фрагментация C_3O_2 на C_2O и CO является главным перв. процессом. Продуктами является $CO(X^1\Sigma^+)$ и, по всей вероятности, $C_2O(a^1\Delta)$. Образование $C(^3P) + 2 CO$, энергетически возможное при 193 нм, не обнаруживается. 3. Начальные колебат. распределения по уровням $v'=0-5$ и $v'=0-3$ при 193 и 249 нм соотв. являются больцмановскими. Обнаружено вращат. возбуждение CO. 4. Изучены две модели распределения энергии при ФД C_3O_2 . С эксперим. данными согласуется статистич. модель, согласно которой избыточная энергия (46 и 22 ккал/моль при 193 и 249 нм соотв.) может распределяться по всем степеням свободы расходящихся фрагментов. Модель Франка — Кондона для ФД не способна объяснить наблюдавшиеся колебат. распределения. 5. C_2O быстро реагирует с C_3O_2 , давая CO (константа скорости $(2,24 \pm 0,56) \cdot 10^5 \text{ Torr}^{-1} \cdot \text{с}^{-1}$).

В. Е. Скурат

$C_3 O_2^+$ Lom. 30490 1988

of
Jacox et. al.,

Ti, Di; J. Phys. and Chem. Ref.
Data, 1988, 17, N^o 2, 446.

$C_2O^- (CCO^-)$ [Om. 30490] 1988

Jacob W.E.,

Ti, Pi; J. Phys. and Chem. Ref.

Data, 1988, 17, N2,

316.

C3O₂

OM. 30552

1988

109: 216445r Molecular structure and large-amplitude bending vibration of carbon suboxide as studied by electron-diffraction and spectroscopic data. Ohshima, Yasuhiro; Yamamoto, Satoru; Kuchitsu, Kozo (Fac. Sci., Univ. Tokyo, Tokyo, Japan 113). *Acta Chem. Scand., Ser. A* 1988, A42(6-7), 307-17 (Eng). The geometrical structure of C₃O₂ was reinvestigated by electron diffraction. The r_g distances for the C:O and C:C bonds were detd. to be 1.164(2) Å and 1.286(4) Å, resp., where the uncertainties represent estd. limits of error. Available spectroscopic data such as the energy-level intervals and the rotational consts. were also taken into the anal. of the large-amplitude CCC bending vibration using a model which allows the C:C bond lengths and the CCO bond angle to vary with the bending displacement, ρ ($= 180^\circ - \angle \text{CCC}$). The effective bending potential function detd. for the vibrational ground state has a barrier of 27(16) cm⁻¹ and a min. at $\rho = 20(2)^\circ$. The bond lengths corresponding to the linear configuration, averaged over the small-amplitude vibrations, are detd. to be $r_{\text{CO}}^{\text{lin}} = 1.1602(1)$ Å and $r_{\text{CC}}^{\text{lin}} = 1.2761(12)$ Å. The present anal. shows that the C:C bonds are slightly stretched by the CCC bending, and the CCO angles are slightly bent in the direction of the CCC bending. The model resolved the reported discrepancy between the obsd. rotat. const. and that calcd. using the structure derived from electron diffraction.

M.H.

MCKENZIE
GLOSPAK. II
CHEMWORK.

C. A. 1988, 109, N24

C₃O₂

Om 30552

1988

3 Б1138. Молекулярная структура и деформационное колебание большой амплитуды недокиси углерода, изученные по данным электронографии и спектроскопии. Molecular structure and large-amplitude bending vibration of carbon suboxide as studied by electron-diffraction and spectroscopic data / Ohshima Y., Yamamoto S., Kuchitsu K. // Acta chem. scand. A.— 1988.— 42, № 6—7. С. 307—317.— Англ.

Методом газовой электронографии повторно изучена структура молекулы C_3O_2 . Найдены след. значения межъядерных расстояний r_g (А): $\text{C}=\text{O}$ 1,164(2), $\text{C}=\text{C}$ 1,286(4). Для анализа деформац. колебания ССС большой амплитуды была принята модель, в к-рой длины связей $\text{C}=\text{C}$ и углы ССО зависят от деформац. смещения ρ ($=180^\circ-\angle \text{CCC}$) и использованы спектральные данные для энергетич. интервалов и вращат. постоянных. Для эффективной потенциальной ф-ции де-

X. 1989, № 3

формац. колебания найдены значение барьера $27(16) \text{ см}^{-1}$ и минимум при значении $\rho = 20(2)^\circ$. Определены также след. значения длин связей, соотв. линейной конфигурации и усредненных по колебаниям малой амплитуды: $r_{\text{СО лин}} = 1,1602(5) \text{ \AA}$, и $r_{\text{СС лин}} = 1,2761(12) \text{ \AA}$. Из результатов анализа следует, что связи С=С растягиваются при деформации угла ССС, а углы ССО уменьшаются. Эта модель колебаний объясняет несоответствие между спектральным значением вращат. постоянной и рассчитанным с помощью структурных параметров, определенных электронографич. методом. Библ. 35.

В. П. Спиридовов



C_3O_2

1991

115: 145319p The far infrared spectrum of carbon suboxide (C_3O_2). Vander Auwera, J.; Johns, J. W. C.; Polyanskii, O. L. (Herzberg Inst. Astrophys., Natl. Res. Coun. Canada, Ottawa, ON Can. K1A 0R6). *J. Chem. Phys.* 1991, 95(4), 2299-316 (Eng). The far IR spectrum of carbon suboxide, $^{12}C_3^{16}O_2$, was recorded at a resoln. of 0.003 cm^{-1} in the region from 15 to 130 cm^{-1} with a Brügel interferometer. Altogether 18 bands involving the excitation of up to 8 quanta in the low frequency quasilinear bending mode ν_1 were analyzed rotationally. A total of 1320 far IR lines together with 231 microwave lines taken from E.N. Karyakin et al. (1982) were fitted to an effective model. Improved effective consts. were obtained for all the I sublevels of $v = 0$ to 4 and for $I = 1$ of $v = 5$. Consts. were obtained for the first time for the levels 5^S and 5^S and some of the I sublevels of $v = 6, 7$, and 8 . Data for the lower lying levels were fitted to a realistic linear model and some data were also fitted to a bend model.

UK-CREZNP,

M.A.

C.A. 1991, 115, N/4

C_3O_2

1994

120: 176707w The ν_6 band system of C_3O_2 near 540 cm^{-1} .
Vander Auwera, J.; Holland, J. K.; Jensen, P.; Johns, J. W. C.
(Lab. Chim. Phys. Mol., Univ. Libre Bruxelles, 1050 Brussels, Belg.).
J. Mol. Spectrosc. 1994, 163(2), 529-40 (Eng). The IR spectrum of
the ν_6 band system of carbon suboxide, C_3O_2 , has been recorded
between 500 and 600 cm^{-1} at a resoln. of 0.002 cm^{-1} . Altogether 23
bands have been assigned.

(D₆)

C.A. 1994, 120, N14

1999

F: C3O2

P: 3

131:9835 An ab initio study on the structure of
the ground state of the C₃O₂ molecule. Miyoshi,
Eisaku; Shida, Norihiro (Institute for Molecular
Science, Okazaki 444-8585, Japan). Chem. Phys. Lett.,
303(1,2), 50-56 (English) 1999

C-A7.2000

~~... -~~ RHF and
single-ref. coupled-pair approxn. (SRCPA) calcns. were performed for the ground state of the C₃O₂ mol. The SRCPA calcns. revealed that C₃O₂ is quasi-linear with a global min. in a W-shaped structure (C_{2v} symmetry) with .angle.C-C-C=153.6.degree. and .angle.C-C-O=176.4.degree.. The obsd. very low frequency of 18.2 cm⁻¹ is not a fundamental vibrational frequency along the .nu.7 mode, but should rather be assigned to the transition between two vibrational states which are split by the interaction of two ground vibrational states in the double min. ~~... -~~

C_3O_2

[Om 402 49]

2000

Jacek Koput,

Chem. Phys. Lett., 2000,
320, N3-4, 237-244.

An ab initio study on the
equilibrium structure and CEC
binding energy levels

of carbon suboxide.

C₃O₂

2001

meopem
racem
cmykm
M.N.

135: 142479t A density functional theory study of structure and molecular spectroscopy of carbon suboxide. Chen, Wen-Kai; Yang, Ying-Chun; Lu, Chun-Hai; Xu, Jiao (Department of Chemistry, Ningbo University, Ningbo, Zhejiang, Peop. Rep. China 315211). *Jiegou Huaxue* 2001, 20(4), 294–298 (Ch), *Jiegou Huaxue Bianji Weiyuanhui*. The optimized geometries of mol. carbon suboxide (C_3O_2) were obtained by using B3LYP calcn. of d. functional theory (DFT) with the 6-31G(d) and 6-311G(2d) basis sets. The normal vibrational frequencies of the two typical configurations were calcd. at the B3LYP/6-31G(d) level and the scaled vibrational frequencies were compared with expts. Good agreement is obtained between the computed and exptl. obsd. properties. The results show that the mol. C_3O_2 has a W-shape bent form (C_{2v} symmetry). The calcd. bond angles of C-C-C and C-C-O with B3LYP/6-31G(d) are 162.3° and 178.8°, resp.

C.A. 2001, 135, 110